

OPTIMALE STEUERPROZESSE

KAP. I EINFÜHRUNG

S 1 Beispiele

S 2 Formulierung optimaler Steuerprozesse

KAP. II LINEARE STEUERPROZESSE

S 3 Rückblick auf lineare Differentialgleichungen

S 4 Steuerbarkeit bei linearen autonomen Steuerprozessen

S 5 Zeitoptimale lineare Steuerprozesse

KAP. III NICHTLINEARE STEUERPROZESSE

S 6 Das PONTRYAGIN'sche Minimumprinzip

**S 7 Probleme mit linear auftretender Steuerung:
bang-bang und singuläre Steuerungen**

**S 8 Probleme mit regulärer HAMILTON-Funktion und
nichtlinear auftretender Steuerung**

S 9 Steuerprozesse mit Steuerbeschränkungen

S 10 Steuerprozesse mit Zustandsbeschränkungen

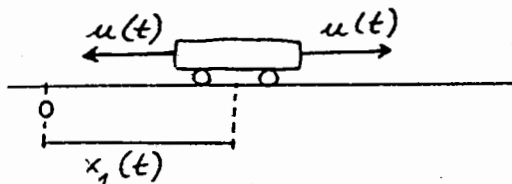
ANHANG NUMERISCHE LÖSUNG VON RANDWERTPROBLEMEN

Kap. I : Einführung

§1 Beispiele

1.1. Zeitoptimale lineare Steuerprozesse

(1) Zeitoptimale Steuerung eines Wagens



Problem: Der Wagen soll möglichst schnell zum Nullpunkt gesteuert werden und dort stehenbleiben.

$x_1(t)$: Entfernung des Wagens (Masse=1) vom Nullpunkt zur Zeit t .

$x_2(t)$: Geschwindigkeit des Wagens.

$u(t)$: Beschleunigung des Wagens,
Steuerfunktion.

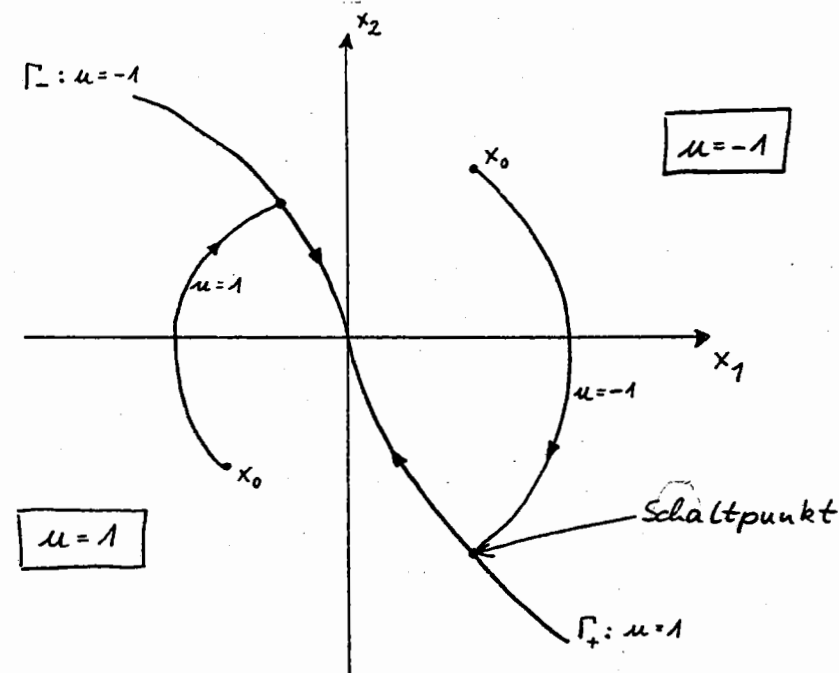
$\mathbf{x}(t) := \begin{pmatrix} x_1(t) \\ x_2(t) \end{pmatrix} \in \mathbb{R}^2$: Zustand des Systems

Dynamik des Systems:

$$(1.1) \quad \begin{cases} \dot{x}_1 = x_2, & 0 \leq t \leq T, \\ \dot{x}_2 = u(t), \\ x(0) = x_0 \in \mathbb{R}^2, \quad x(T) = \begin{pmatrix} 0 \\ 0 \end{pmatrix}, \\ -1 \leq u(t) \leq 1. \end{cases}$$

Problem: Bestimme eine stückweise stetige Steuerung $u: [0, T] \rightarrow \mathbb{R}$, so dass die Endzeit T minimal wird unter (1.1).

Lösung im Phasenraum:



Γ_+, Γ_- : Schaltkurven, auf denen die Schaltpunkte liegen

Die optimale Steuerung $u(t) \in \{-1, 1\}$ ist bang-bang und i.a. unstetig, vgl. § 5.

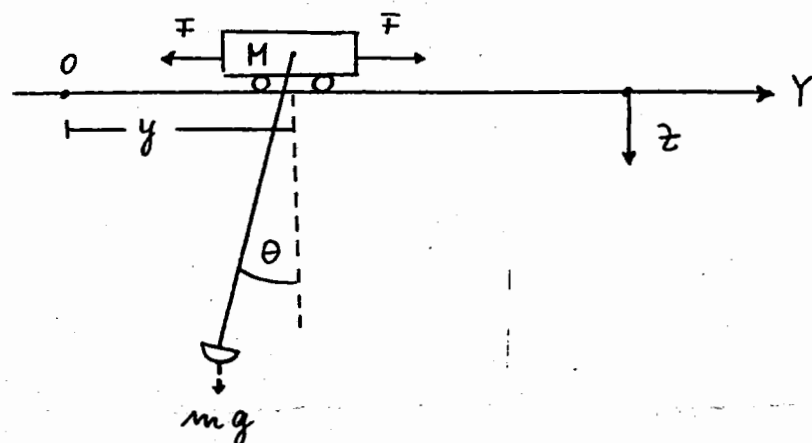
Die Dynamik (1.1) lautet in vektorieller Schreibweise

$$\dot{x} = \begin{pmatrix} 0 & 1 \\ 0 & 0 \end{pmatrix} x + \begin{pmatrix} 0 \\ 1 \end{pmatrix} u =: Ax + Bu$$

$$x(0) = x_0, \quad x(T) = \begin{pmatrix} 0 \\ 0 \end{pmatrix}$$

$$u(t) \in \mathcal{U} := [-1, 1]$$

(2) Zeitoptimale Steuerung eines Erzentladers



Es bedeuten:

t : Zeit

y : Abstand vom Ursprung

θ : Winkel des Greifers mit der Vertikalen

F : Beschleunigungskraft

M : Masse des Wagens

m : Masse des Greifers und seines Inhaltes

G : Seilspannung, ($=1$)

l : Seillänge

Die Bewegungs-Gleichungen des Wagens in y -Richtung lauten

$$M \frac{d^2 y}{dt^2} = F - G \sin \theta, \quad |F| \leq F_1.$$

Die Bewegungs-Gleichungen des Greifers in z -Richtung sind

$$m \frac{d^2}{dt^2} (y - l \sin \theta) = G \sin \theta.$$

Problem: Bringe den Wagen von der Position 0 (zur Zeit $t=0$) in die Position E in minimaler Zeit T_1 , so daß

$$\theta(0) = \dot{\theta}(0) = 0, \quad \theta(T_1) = \dot{\theta}(T_1) = 0.$$

Man kann sich auf kleine Winkel θ beschränken, d. h. sin $\theta \approx \theta$. Unter Verwendung der neuen Zeit- und Zustandsvariablen

$$t := \left(\frac{(m+M)g}{Ml} \right)^{1/2} \tau,$$

$$x_1 := -\frac{(m+M)mg\theta}{MF_1} + \frac{(m+M)^2gy}{MF_1L},$$

$$x_3 := \frac{(m+M)g\theta}{F_1},$$

$$u := \frac{F}{F_1} \quad \text{Steuerung}$$

zehn die Bewegungs-Gleichungen über in:

$$\begin{aligned} \dot{x}_1 &= y \\ \dot{x}_2 &= u \\ \dot{x}_3 &= x_4 \\ \dot{x}_4 &= -x_3 + u \\ -1 &\leq u \leq 1 \end{aligned} \quad (1.2)$$

Die Dynamik und Randbedingungen für den Zustand $x = (x_1, x_2, x_3, x_4)^T$ lauten in vektorieller Schreibweise

$$\dot{x} = \begin{pmatrix} 0 & 1 & 0 & 0 \\ 0 & 0 & 0 & 0 \\ 0 & 0 & 0 & 1 \\ 0 & 0 & -1 & 0 \end{pmatrix} x + \begin{pmatrix} 0 \\ 1 \\ 0 \\ 1 \end{pmatrix} u$$

$$=: Ax + Bu,$$

$$x(0) = 0, \quad x(T) = (E, 0, 0, 0)^T, \quad E > 0.$$

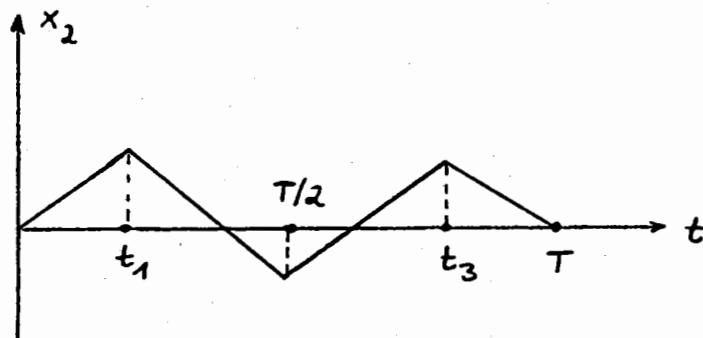
(T: Endzeit).

Die optimale Steuerung ist

$$u(t) = \begin{cases} 1, & 0 \leq t \leq t_1 \\ -1, & t_1 < t \leq t_2 \\ 1, & t_2 < t \leq t_3 \\ -1, & t_3 < t \leq T \end{cases}$$

Aus Symmetriegründen gilt

$$t_2 = T/2, \quad t_3 = T - t_1.$$



Für $E=1$ erhält man numerisch

$$t_1 = 0.8023, \quad T = 4.281,$$

vgl. § 5.

1.2. Nichtlineare optimale Steuerprozesse

(3) Optimales Fischen

$x(t)$: Größe bzw. "Biomasse" einer Population (renewable resource) zur Zeit t

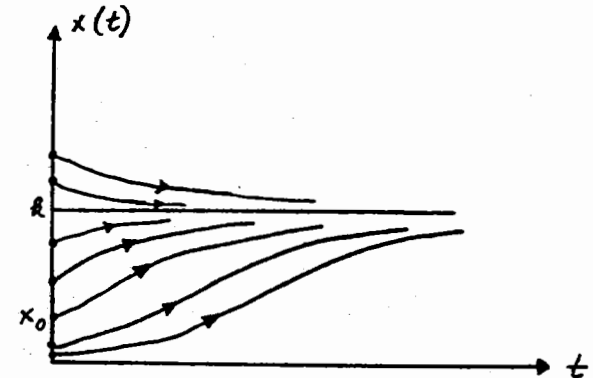
Logistisches Wachstum:

$$\dot{x} = \frac{dx}{dt} = \tau x \left(1 - \frac{x}{k}\right), \quad x(0) = x_0 > 0,$$

Konstanten:

τ : maximale biologische Wachstumsrate

k : natürliches Gleichgewicht



$$x(t) = \frac{k}{1 + a e^{-\tau t}}, \quad a = 1 - \frac{k}{x_0}$$

Fang-Dynamik:

$u(t)$: Fang-Intensität bzw. Fang-Rate

$$(1.3) \quad \begin{aligned} \dot{x} &= r x \left(1 - \frac{x}{k}\right) - u(t), \quad 0 \leq t \leq T \quad (\text{T: Endzeit}) \\ x(0) &= x_0, \quad x(T) \text{ frei} \\ 0 &\leq u(t) \leq u_{\max} \end{aligned}$$

$c(x)$: Fangosten pro Einheit bei einer Population x ; z.B. $c(x) = c/x$

p : Preis pro Einheit (konstant)

$\delta > 0$: Discount-Faktor

Nettogewinn im Zeitraum $[0, T]$

$$F(x, u) = \int_0^T e^{-\delta t} (p - c(x(t))) u(t) dt$$

Problem: Bestimme eine stückweise stetige Fangrate $u: [0, T] \rightarrow \mathbb{R}$, sodass der Gesamtgewinn $F(x, u)$ unter (1.3) maximal wird.

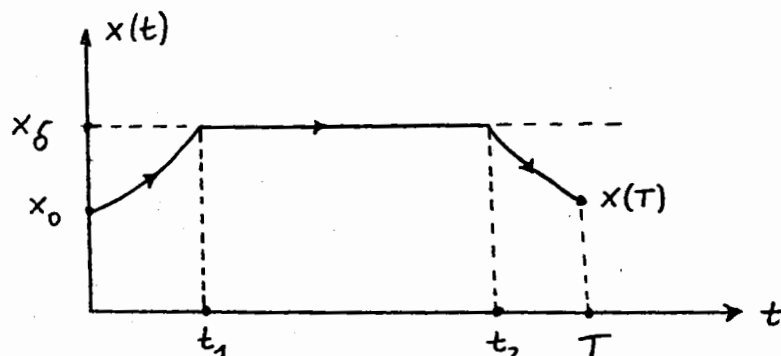
Numerische Lösung:

Der "Gleichgewichtspunkt" x_δ ist Lösung von

$$p - c(x_\delta) = \frac{1}{\delta} [(p - c)w]'(x_\delta),$$

$$w(x) = r x \left(1 - \frac{x}{k}\right).$$

Für $x_0 < x_\delta$ und T genügend groß gilt



$$u = 0 \quad | \quad u = w(x_\delta) \quad | \quad u = u_{\max}$$

bang - singular - bang

Bem.: Die Steuerung u tritt linear in der Dynamik und im Zielfunktional auf; $u(t)$ ist unstetig, spr. s.I.

(4) Das GODDARD - Problem (Höhenrakete)

Berechnungen:

$h(t)$: Höhe

$v(t)$: Geschwindigkeit

$m(t)$: Masse

$u(t)$: Schub

$0 \leq t \leq T$, die Endzeit T
ist fest oder frei

$\mathcal{D}(h, v)$: Luftwiderstand

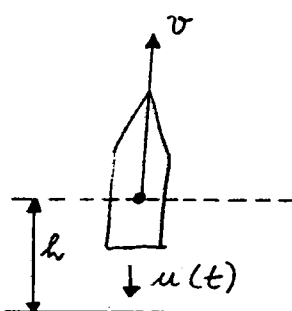
$g(h)$: Gravitationskraft
spezifischer Impuls
pro Einheit Treibstoff.

Weiter: $\mathcal{D}(h, v) = \alpha v^2 \exp(-\beta, h)$,

$$g(h) = g_0 \frac{\tau_0^2}{(\tau_0 + h)^2},$$

g_0 : Gravitationskonstante

τ_0 : Erdradius.



Dynamik

$$(1.4) \quad \begin{cases} \dot{h} = v, \\ \dot{v} = \frac{1}{m} [u(t) \cdot c - \mathcal{D}(h, v)] - g(h), \\ \dot{m} = -u(t), \\ 0 \leq u(t) \leq u_{\max}. \end{cases}$$

Randbedingungen:

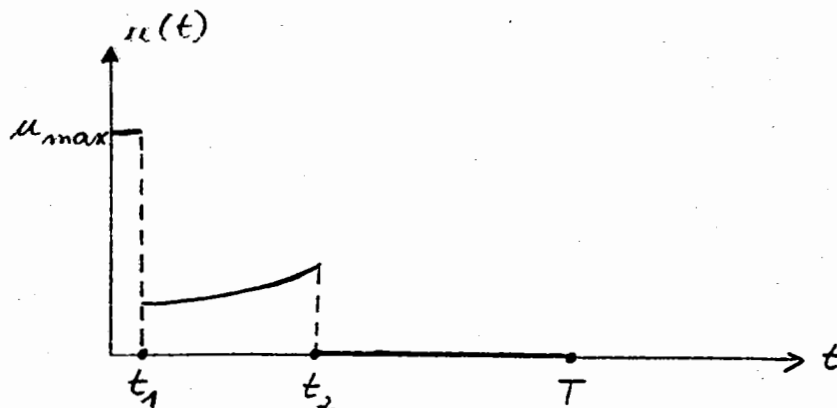
$$(1.5) \quad h(0) = 0, \quad v(0) = 0, \quad m(0) = m_0,$$

$$m(T) = m_T,$$

Treibstoffvorrat: $m_0 - m_T$

Problem: Gesucht ist ein stückweise stetiger Schub $u: [0, T] \rightarrow \mathbb{R}$, welcher die Höhe $h(T)$ maximiert unter (1.4), (1.5).

Numerische Lösung: (ca 1950)



bang-singulär-bang

Die Lösung ergibt eine ca. 40%ige Verbesserung gegenüber der "Ingenieur-Lösung"

$$u(t) = \begin{cases} u_{\max}, & 0 \leq t \leq t_1, m(t_1) = m_T \\ 0, & t_1 < t \leq T \end{cases}$$

Dies ist die optimale Lösung ohne Luftwiderstand ($\alpha = 0$).

Bem.: Die Steuerung u tritt linear auf; die optimale Steuerung $u(t)$ ist unstetig, vgl. § 7.

(5) Optimale Lagerhaltung

zu Beschreibung des Modells seien

$x(t)$: Lagerbestand zu Zeit t

$u(t)$: Produktionsmenge pro Zeiteinheit,
(Lagerzugang: Steuerung)

$d(t)$: Nachfragermenge pro Zeiteinheit
(Lagerabgang: gegebene Funktion)

Konstanten:

\bar{x} : Sicherheitsreserve für Spätentnahmen

\bar{u} : maschinenabhängige günstigste
Produktionsmenge

$c_1, c_2 > 0$: konstante Kostenraten

Problem: Finde eine stückweise stetige
Steuerung $u: [0, T] \rightarrow \mathbb{R}$, welche die Kosten

$$\int_0^T [c_1(x(t) - \bar{x})^2 + c_2(u(t) - \bar{u})^2] dt$$

minimiert unter

$$\dot{x}(t) = u(t) - d(t), \quad 0 \leq t \leq T,$$

$$x(0) = x_0 > 0, \quad x(T) \text{ frei}.$$

Zur numerischen Lösung müssen geeignete Riccati'sche DGL gelöst werden.

Bem.: Die Steuerung u tritt nichtlinear
im Kostenfunktional auf; die optimale
Steuerung $u(t)$ ist stetig, vgl. § 8.

(6) Ein Spline - Problem

Sei $k \geq 2$. Gesucht ist eine Funktion $s: [0, T] \rightarrow \mathbb{R}$, $T > 0$ fest, mit folgenden Eigenschaften:

- (1) $s^{(j)}(t)$ ist stetig für $j=0, \dots, k-1$,
- (2) $s^{(k)}(t)$ ist stückweise stetig,
- (3) s minimiert das Integral.

$$\int_0^T s^{(k)}(t)^2 dt$$

$$\text{mit } s^{(j)}(0) = c_j, \quad s^{(j)}(T) = d_j, \quad j=0, \dots, k-1.$$

Bekanntes Ergebnis: $s(t)$ ist ein Polynom vom Grade $\leq 2k-1$.

Umwandlung in einen optimalen Steuerprozess:

$$u(t) := s^{(k)}(t) \quad \text{Steuerfunktion, stückweise stetig}$$

$$x(t) = \begin{pmatrix} x_1(t) \\ x_2(t) \\ \vdots \\ x_k(t) \end{pmatrix} := \begin{pmatrix} s(t) \\ s'(t) \\ \vdots \\ s^{(k-1)}(t) \end{pmatrix} \in \mathbb{R}^k$$

zustandsfunktion, stetig bzgl. t

$$x_0 := \begin{pmatrix} c_0 \\ \vdots \\ c_{k-1} \end{pmatrix}, \quad x_T := \begin{pmatrix} d_0 \\ \vdots \\ d_{k-1} \end{pmatrix}$$

Problem: Bestimme eine stückweise stetige Funktion $u: [0, T] \rightarrow \mathbb{R}$, welche

$$\int_0^T u(t)^2 dt \quad (\text{Zielfunktional})$$

minimiert unter den Nebenbedingungen

$$(1.6) \quad \begin{cases} \dot{x}_1 = x_2, & 0 \leq t \leq T \\ \vdots \\ \dot{x}_{k-1} = x_k, \\ \dot{x}_k = u(t), \\ x(0) = x_0, \quad x(T) = x_T. \end{cases}$$

Die Dynamik (1.6) lautet in vektorieller Schreibweise

$$\dot{x} = Ax + Bu, \quad A = \begin{pmatrix} 0 & 1 & 0 & \cdots & 0 \\ 0 & 0 & 1 & \ddots & \vdots \\ \vdots & \vdots & \vdots & \ddots & 0 \\ 0 & 0 & 0 & \cdots & 1 \end{pmatrix}, \quad B = \begin{pmatrix} 0 \\ 0 \\ \vdots \\ 0 \\ 1 \end{pmatrix}.$$

Bem.: Die Steuerung u tritt nichtlinear im Zielfunktional auf; die optimale Steuerung $u(t)$ ist stetig (sogar C^∞), vgl. § 8.

§2 Formulierung optimaler Steuerprozesse

Im folgenden bezeichne:

$x(t) \in \mathbb{R}^n$: Zustandsvektor eines Systems zur Zeit t ,

$u(t) \in \mathbb{R}^m$: Steuervektor zur Zeit t ,

t_0 : Anfangszeit, o.E. $t_0 = 0$,

T : Endzeit, fest vorgegeben oder frei, $T > t_0$.

Komponenten:

$$x(t) = \begin{pmatrix} x_1(t) \\ \vdots \\ x_n(t) \end{pmatrix}, \quad u(t) = \begin{pmatrix} u_1(t) \\ \vdots \\ u_m(t) \end{pmatrix}.$$

Ein optimaler Steuerprozess ist durch folgende Daten gegeben:

- (1) Dynamik des Prozesses,
- (2) Randbedingungen für den Zustand,
- (3) Steuerbereich,
- (4) Zielfunktion (Kostenfunktional).

Dynamik eines Prozesses:

Die Steuerung u beeinflusst den Zustand x gemäß der DGL

$$(2.1) \quad \dot{x} = f(t, x, u), \quad 0 \leq t \leq T.$$

Hierbei sei $f: [0, T] \times \mathbb{R}^n \times \mathbb{R}^m \rightarrow \mathbb{R}^n$ stetig und bzgl. x und u stetig partiell differenzierbar. Die partiellen Ableitungen f_x ($n \times n$ Matrix) und f_u ($n \times m$ Matrix) seien stetig. Ein Funktionenpaar (x, u) mit

$u: [0, T] \rightarrow \mathbb{R}^m$ stückweise stetig,

$x: [0, T] \rightarrow \mathbb{R}^n$ stetig und stückweise C^1

heißt Lösung der DGL (2.1) in $[0, T]$, wenn gilt

$$(2.1a) \quad \dot{x}(t) = \frac{dx}{dt} = f(t, x(t), u(t))$$

für alle Stetigkeitsstellen $t \in [0, T]$ von $u(\cdot)$.

Randbedingungen:

Seien $M_0, M_1 \subset \mathbb{R}^n$ abgeschlossene Mengen. Der Anfangszustand $x(0)$ und der Endzustand $x(T)$ genüge den Bedingungen

$$(2.2) \quad x(0) \in M_0, \quad x(T) \in M_1.$$

In den Anwendungen sind M_0, M_1 meistens gleichungsdefinierte Flächen

$$M_0 := \{x \in \mathbb{R}^n \mid \varphi(x) = 0\},$$

$$M_1 := \{x \in \mathbb{R}^n \mid \psi(x) = 0\}$$

mit C^1 -Funktionen $\varphi: \mathbb{R}^n \rightarrow \mathbb{R}^s$, $\psi: \mathbb{R}^n \rightarrow \mathbb{R}^r$, $0 \leq s, r \leq n$. Die Randbedingungen (2.2) lauten dann

$$(2.2a) \quad \varphi(x(0)) = 0, \quad \psi(x(T)) = 0.$$

Der Fall $s=0$ bzw. $r=0$ bedeutet formal, dass keine Bedingungen für $x(0)$ bzw. $x(T)$ gegeben sind,

d.h. $x(0)$ bzw. $x(T)$ ist frei.

Als Spezialfall von (2.2a) erhält man die Standard-Randbedingungen

$$(2.2b) \quad x(0) = x_0, \quad \psi(x(T)) = 0$$

mit festem $x_0 \in \mathbb{R}^n$.

Steuerbereich:

Sei $\mathcal{U} \subset \mathbb{R}^m$ eine nichtleere, konvexe und abgeschlossene Menge. Der Steuervektor $u(t)$ genüge der Einschränkung

$$(2.3) \quad u(t) \in \mathcal{U} \text{ für alle } t \in [0, T].$$

Ein Funktionenpaar (x, u) heißt zulässig zur Endzeit T , falls (2.1) - (2.3) erfüllt sind.

Zuflunktional:

$$(2.4) \quad F(x, u) := g(x(T)) + \\ + \int_0^T f_0(t, x(t), u(t)) dt,$$

wobei $g: \mathbb{R}^m \rightarrow \mathbb{R}$ stetig differenzierbar, und $f_0: [0, T] \times \mathbb{R}^m \times \mathbb{R}^m \rightarrow \mathbb{R}$ stetig und bzgl. x, u stetig partiell differenzierbar sind. Die partiellen Ableitungen $f_{0,x}, f_{0,u}$ seien stetig.

In kompakter Form erhalten wir damit den folgenden optimalen Steuerprozeß:

Minimiere

$$F(x, u) = g(x(T)) + \int_0^T f_0(t, x, u) dt$$

$$(2.5) \quad \text{unter } \dot{x} = f(t, x, u), \quad 0 \leq t \leq T \\ x(0) \in M_0, \quad x(T) \in M_1, \\ u(t) \in U$$

Zur Präzisierung einer optimalen Lösung (globale Minimalstelle) von (2.5) treffen wir die Fallunterscheidungen:

(1) Feste Endzeit: Ein zulässiges Paar (x^*, u^*) zur Endzeit T heißt optimale Lösung von (2.5), wenn

$$F(x^*, u^*) \leq F(x, u)$$

für alle zulässigen Paare (x, u) zur Endzeit T .

(2) Freie Endzeit: Ein zulässiges Paar (x^*, u^*) zur Endzeit T^* heißt optimale Lösung von (2.5), wenn

$$F(x^*, u^*) \leq F(x, u)$$

für alle zulässigen Paare (x, u) zu beliebigen Endzeiten T . In diesem Falle ist also T eine zusätzliche Optimierungsvariable.

Die Funktion $x^*(\cdot)$ wird als optimale Trajektorie und $u^*(\cdot)$ wird als optimale Steuerung bezeichnet.

Ein zeitoptimaler Steuerprozess ist ein optimaler Steuerprozess (2.5) mit Zielfunktion

$$(2.6) \quad F(x, u) = T = \int_0^T 1 dt,$$

d. h. man wähle in (2.5)

$$g \equiv 0, f_0 \equiv 1, T \text{ frei}.$$

Bei einem linearen Steuerprozess wird die Dynamik (2.1) spezialisiert zu

$$(2.7) \quad \dot{x} = A(t)x + B(t)u$$

mit stetigen Matrix-Funktionen

$$A: [0, \infty) \rightarrow \mathbb{R}^{n \times n},$$

$$B: [0, \infty) \rightarrow \mathbb{R}^{n \times m}$$

Ein zeitoptimaler linearer Steuerprozess ist dann ein Spezialfall von (2.5) der Form

Minimiere die Endzeit T unter

$$(2.8) \quad \begin{aligned} \dot{x} &= A(t)x + B(t)u, \quad 0 \leq t \leq T, \\ x(0) &= x_0, \quad x(T) \in M, \\ u(t) &\in U, \\ M &\subset \mathbb{R}^n \text{ abgeschlossen,} \\ U &\subset \mathbb{R}^m \text{ konvex, kompakt} \end{aligned}$$

In den Anwendungen ist häufig

$$M = \{x_1\}, \quad x_1 \in \mathbb{R}^n \text{ fest gewählt,}$$

$$U = \{u = (u_1, \dots, u_m) \mid a_i \leq u_i \leq b_i, \quad i=1, \dots, m\}$$

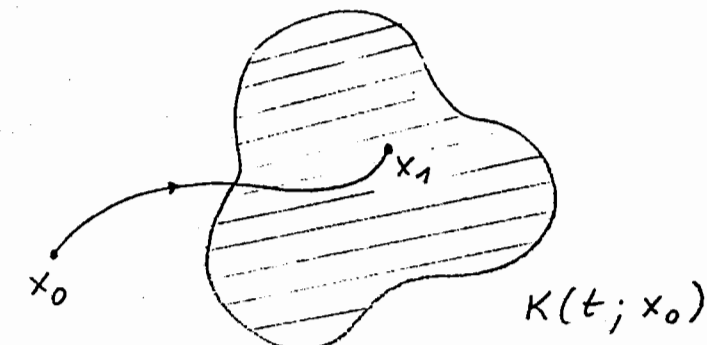
$$a_i, b_i \in \mathbb{R}, \quad i=1, \dots, m\}$$

Quader.

Ein Hauptanliegen der Theorie optimaler Steuerprozesse ist die Herleitung notwendiger Optimalitätsbedingungen erster Ordnung (PONTRYAGIN'sches Minimum-Prinzip bzw. Maximum-Prinzip) für eine optimale Lösung $x^*(\cdot)$, $u^*(\cdot)$ von (2.5). Hierbei spielt der Begriff der erreichbaren Menge bzgl. der Dynamik (2.1) eine zentrale Rolle. Für festes $x_0 \in \mathbb{R}^n$ heißt

$$(2.9) \quad K(t; x_0) := \{x_1 \in \mathbb{R}^n \mid \exists (x, u) \text{ zulässig} \\ \text{zu (2.1), (2.3) mit} \\ x(0) = x_0, x(t) = x_1\}.$$

die Menge der (von x_0 aus) erreichbaren Punkte. x_0 heißt steuerbar nach x_1 in der Zeit t , falls $x_1 \in K(t; x_0)$.



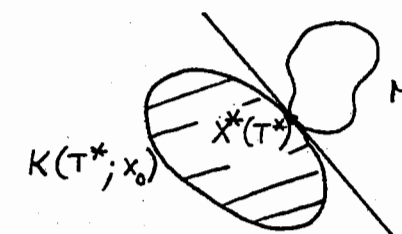
Die Idee zur Herleitung des PONTRYAGIN'schen Minimum-Prinzips besteht nun darin (sei $x_0 = x^*(0)$):

(1) zeitoptimale lineare Steuerprozesse (vgl. § 5): Sei T^* optimal.

Die erreichbare Menge $K(t; x_0)$ ist konvex und es gilt

$$x^*(t) \in \partial K(t; x_0), \quad 0 \leq t \leq T^*.$$

Wende den Trennungssatz für konvexe Mengen an:



Zudem ist T^* charakterisiert durch

$$T^* = \min \{ t \geq 0 \mid K(t; x_0) \cap M \neq \emptyset \}.$$

(2) Allgemeine Steuerprozesse:

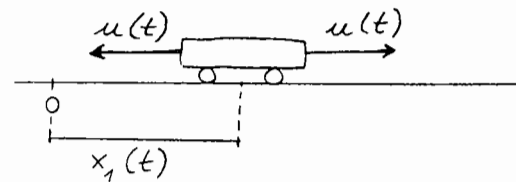
Man approximiere die erreichbare
Menge $K(T; x_0)$ um Punkt $x^*(T)$
durch den sogen. konvexen Erreich-
balkutskegel und wende den
Trennungssatz für konvexe
Mengen an; vgl. § 6.

Kap. I : Einführung

§ 1 Beispiele

1.1. Zeitoptimale lineare Steuerprozesse

(1) Zeitoptimale Steuerung eines Wagens



Problem: Der Wagen soll möglichst schnell zum Nullpunkt gesteuert werden und dort stehenbleiben.

$x_1(t)$: Entfernung des Wagens (Masse=1) vom Nullpunkt zur Zeit t .

$x_2(t)$: Geschwindigkeit des Wagens.

$u(t)$: Beschleunigung des Wagens,
Steuerfunktion.

$\mathbf{x}(t) := \begin{pmatrix} x_1(t) \\ x_2(t) \end{pmatrix} \in \mathbb{R}^2$: Zustand des Systems

1.1

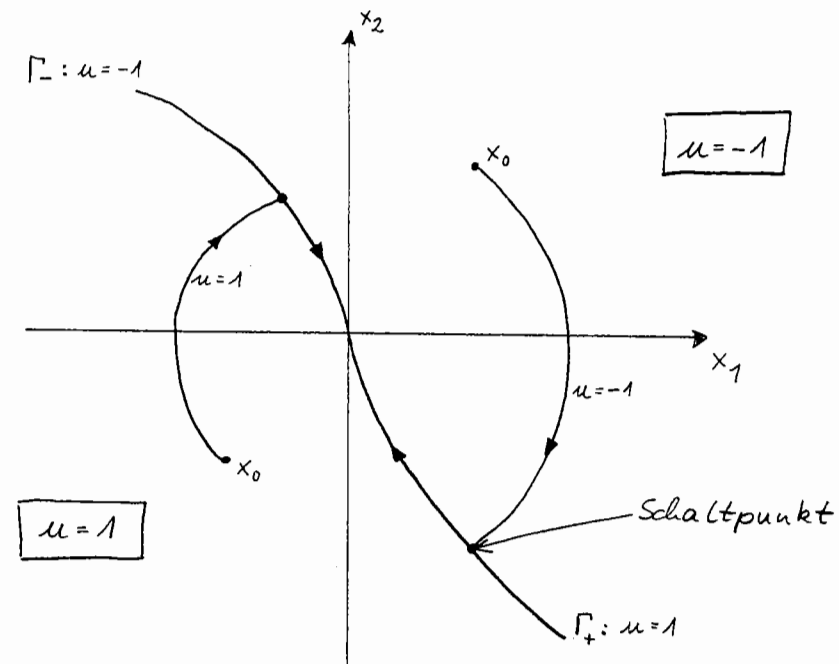
1.2

Dynamik des Systems:

$$(1.1) \quad \begin{cases} \dot{x}_1 = x_2, & 0 \leq t \leq T, \\ \dot{x}_2 = u(t), \\ x(0) = x_0 \in \mathbb{R}^2, \quad x(T) = \begin{pmatrix} 0 \\ 0 \end{pmatrix}, \\ -1 \leq u(t) \leq 1 \end{cases}$$

Problem: Bestimme eine stückweise stetige Steuerung $u: [0, T] \rightarrow \mathbb{R}$, so dass die Endzeit T minimal wird unter (1.1).

Lösung im Phasenraum:



Γ_+, Γ_- : Schaltkurven, auf denen die Schaltpunkte liegen

Die optimale Steuerung $u(t) \in \{-1, 1\}$ ist bang-bang und i.a. unstetig, vgl. § 5.

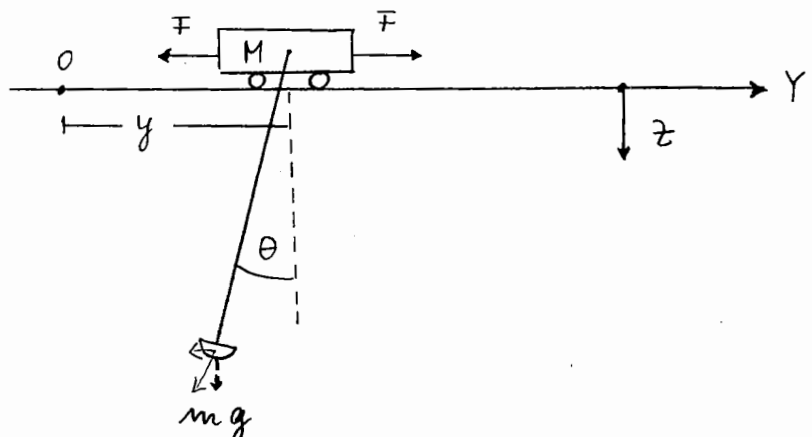
Die Dynamik (1.1) lautet in vektorieller Schreibweise

$$\dot{x} = \begin{pmatrix} 0 & 1 \\ 0 & 0 \end{pmatrix} x + \begin{pmatrix} 0 \\ 1 \end{pmatrix} u =: Ax + Bu$$

$$x(0) = x_0, \quad x(T) = \begin{pmatrix} 0 \\ 0 \end{pmatrix}$$

$$u(t) \in \mathcal{U} := [-1, 1]$$

(2) Zeitoptimale Steuerung eines
Erzentladers Verdeblerücke



Es bedeuten:

τ : Zeit

y : Abstand vom Ursprung

θ : Winkel des Greifers mit der Vertikalen

F : Beschleunigungskraft

M : Masse des Wagens

m : Masse des Greifers und seines Inhaltes

σ : Seilspannung, ($=1$)

l : Seillänge

Die Bewegungs-Gleichungen des Wagens in y -Richtung lauten

$$M \frac{d^2 y}{d \tau^2} = F - \sigma \sin \theta, \quad |F| \leq F_1.$$

Die Bewegungs-Gleichungen des Greifers in z -Richtung sind

$$m \frac{d^2}{d \tau^2} (y - l \sin \theta) = \sigma \sin \theta.$$

$$\sigma \sin \theta = \sigma - mg$$

$$\sigma \theta = \sigma - mg$$

$$\sigma = \frac{mg}{1-\theta}$$

Problem: Bringe den Wagen von der Position 0 (zur Zeit $t=0$) in die Position E in minimaler Zeit T_1 , (1.2) so daß

$$\theta(0) = \dot{\theta}(0) = 0, \quad \theta(T_1) = \dot{\theta}(T_1) = 0.$$

Man kann sich auf kleine Winkel θ beschränken, d. h. $\sin \theta \doteq \theta$. Unter Verwendung der neuen Zeit- und Zustandsvariablen

$$t := \left(\frac{(m+M)g}{M\ell} \right)^{1/2} \tau,$$

$$x_1 := -\frac{(m+M)mg\theta}{MF_1} + \frac{(m+M)^2gy}{MF_1L},$$

$$x_3 := \frac{(m+M)g\theta}{F_1},$$

$$u := \frac{F}{F_1} \quad \text{Steuerung}$$

gehen die Bewegungs-Gleichungen über in:

1.5

$$\dot{x}_1 = \ddot{x}_2$$

$$\dot{x}_2 = u$$

$$\dot{x}_3 = x_4$$

$$\dot{x}_4 = -x_3 + u$$

$$-1 \leq u \leq 1.$$

x_1 = Ort des Laufbretts
 x_2 = Geschw. des Laufbretts

Die Dynamik und Randbedingungen für den Zustand $x = (x_1, x_2, x_3, x_4)^T$ lauten in vektorieller Schreibweise

$$\dot{x} = \begin{pmatrix} 0 & 1 & 0 & 0 \\ 0 & 0 & 0 & 0 \\ 0 & 0 & 0 & 1 \\ 0 & 0 & -1 & 0 \end{pmatrix} x + \begin{pmatrix} 0 \\ 1 \\ 0 \\ 1 \end{pmatrix} u$$

$$=: Ax + Bu,$$

$$x(0) = 0, \quad x(T) = (E, 0, 0, 0)^T, \quad E > 0.$$

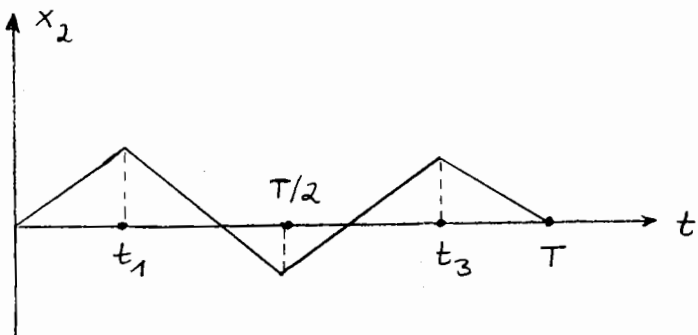
(T: Endzeit).

Die optimale Steuerung ist

$$u(t) = \begin{cases} 1, & 0 \leq t \leq t_1 \\ -1, & t_1 < t \leq t_2 \\ 1, & t_2 < t \leq t_3 \\ -1, & t_3 < t \leq T \end{cases}$$

Aus Symmetriegründen gilt

$$t_2 = T/2, \quad t_3 = T - t_1.$$



Für $E=1$ erhält man numerisch

$$t_1 = 0.8023, \quad T = 4.281,$$

vgl. § 5.

1.2. Nichtlineare optimale Steuerprozesse

(3) Optimales Fischen

$x(t)$: Größe bzw. "Biomasse" einer Population (renewable resource) zur Zeit t

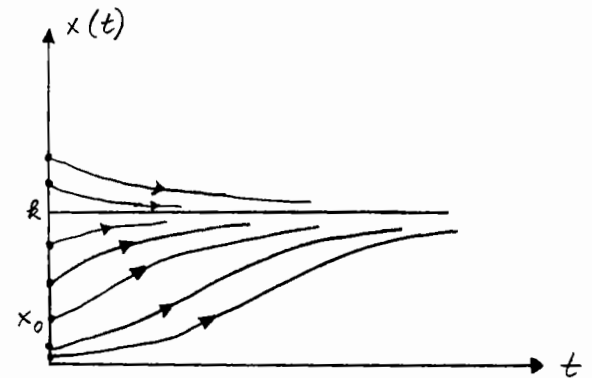
Logistisches Wachstum:

$$\dot{x} = \frac{dx}{dt} = r x (1 - \frac{x}{k}), \quad x(0) = x_0 > 0,$$

Konstanten:

r : maximale biologische Wachstumsrate

k : natürliches Gleichgewicht



$$x(t) = \frac{k}{1 + a e^{-rt}}, \quad a = 1 - \frac{k}{x_0}$$

Fang-Dynamik:

$u(t)$: Fang-Intensität bzw. Fang-Rate

$$\begin{aligned} \dot{x} &= \tau x \left(1 - \frac{x}{k}\right) - u(t), \quad 0 \leq t \leq T \quad (\text{T: Endzeit}) \\ (1.3) \quad x(0) &= x_0, \quad x(T) \text{ frei} \\ 0 &\leq u(t) \leq u_{\max} \end{aligned}$$

$c(x)$: Fangraten pro Einheit bei einer Population x ; z.B. $c(x) = 9/x$

p : Preis pro Einheit (konstant)

$\delta > 0$: Discount-Faktor

Nettozufluss im Zeitraum $[0, T]$

$$\mathcal{F}(x, u) = \int_0^T e^{-\delta t} (p - c(x(t))) u(t) dt$$

Problem: Bestimme eine stückweise stetige Fangrate $u: [0, T] \rightarrow \mathbb{R}$, sodass der Nettozufluss $\mathcal{F}(x, u)$ unter (1.3) maximal wird.

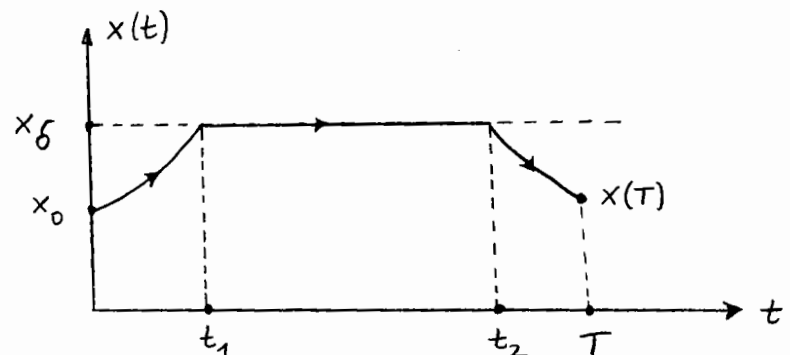
Numerische Lösung:

Der "Gleichgewichtspunkt" x_δ sei Lösung von

$$p - c(x_\delta) = \frac{1}{\delta} [(p - c)w]'(x_\delta),$$

$$w(x) = \tau x \left(1 - \frac{x}{k}\right).$$

Für $x_0 < x_\delta$ und T genügend groß gilt



$$u=0 \mid u=w(x_\delta) \mid u=u_{\max}$$

bang - singular - bang

Bem.: Die Steuerung u tritt linear in der Dynamik und im Zielfunktional auf; $u(t)$ ist unstetig, val. § 7.

(4) Das GODDARD - Problem
(Höhenrakete)

Parameter:

$h(t)$: Höhe

$v(t)$: Geschwindigkeit

$m(t)$: Masse

$u(t)$: Schub

$0 \leq t \leq T$, die Endzeit T
 ist fest oder frei

$D(h, v)$: Luftwiderstand

$g(h)$: Gravitationskraft

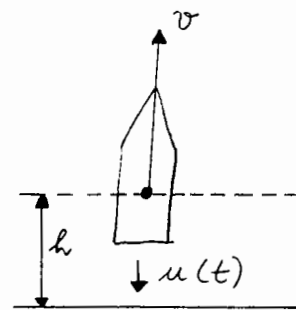
c : spezifischer Impuls
 pro Einheit Treibstoff.

Merke: $D(h, v) = \alpha v^2 \exp(-\beta, h)$,

$$g(h) = g_0 \frac{r_0^2}{(r_0 + h)^2}$$

g_0 : Gravitationskonstante

r_0 : Erdradius.



Dynamik:

$$(1.4) \quad \begin{cases} \dot{h} = v, \\ \dot{v} = \frac{1}{m} [u(t) \cdot c - D(h, v)] - g(h), \\ \dot{m} = -u(t), \\ 0 \leq u(t) \leq u_{\max}. \end{cases}$$

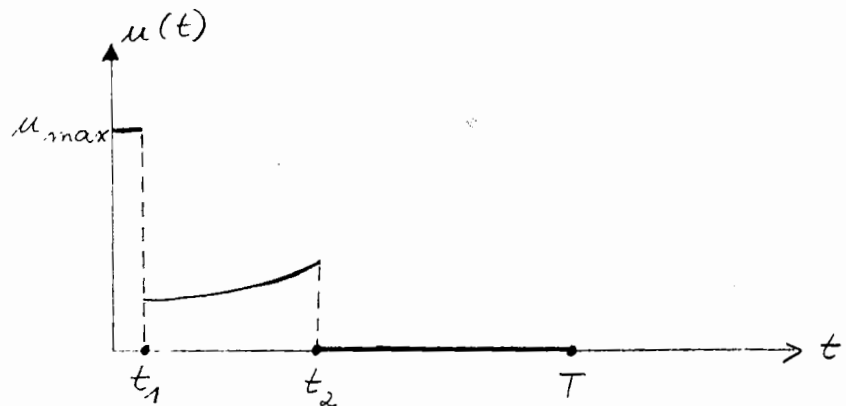
Randbedingungen:

$$(1.5) \quad h(0) = 0, \quad v(0) = 0, \quad m(0) = m_0,$$

$$m(T) = m_T,$$

Treibstoffvorrat: $m_0 - m_T$

Problem: Gesucht ist ein stückweise stetiger Schub $u: [0, T] \rightarrow \mathbb{R}$, welcher die Höhe $h(T)$ maximiert unter (1.4), (1.5).

Numerische Lösung: (ca 1950)

bang-singular-bang

Die Lösung ergibt eine ca. 40%ige Verbesserung gegenüber der "Ingenieur-Lösung"

$$u(t) = \begin{cases} u_{\max}, & 0 \leq t \leq t_1, m(t_1) = m_T \\ 0, & t_1 < t \leq T \end{cases}$$

Dies ist die optimale Lösung ohne Luftwiderstand ($\alpha = 0$).

Bem.: Die Steuerung u tritt linear auf; die optimale Steuerung $u(t)$ ist unstetig, vgl. § 7.

(5) Optimale Lagerhaltung

zu berücksichtigen des Modells seien

$x(t)$: Lagerbestand zu Zeit t

$u(t)$: Produktionsmenge pro Zeiteinheit,
(Lagerzugang: Steuerung)

$d(t)$: Nachfragermenge pro Zeiteinheit
(Lagerabgang: geplante Taktanf.)

Parameter:

\bar{x} : Sichtbarkeitsraum für Spätentnahmefälle

\bar{u} : maschinenabhängige maximale
Produktionsmenge

$c_1, c_2 > 0$: konstante Kostenräfte

Problem: Finde eine steuerungswise optimale

Steuerung $u: [0, T] \rightarrow \mathbb{R}$, welche die Kosten

$$\int_0^T [c_1(x(t) - \bar{x})^2 + c_2(u(t) - \bar{u})^2] dt$$

minimiert unter

$$\dot{x}(t) = u(t) - d(t), \quad 0 \leq t \leq T,$$

$$x(0) = x_0 > 0, \quad x(T) \text{ frei}.$$

zur numerischen Lösung müssen geeignete Riccati'sche DGL gelöst werden.

Bem.: Die Steuerung u ist nichtlinear
im Kostenfunktional auf; die optimale
Steuerung $u(t)$ ist stetig, vgl. § 8.

(6) Ein Spline - Problem

Sei $k \geq 2$. Gesucht ist eine Funktion
 $s: [0, T] \rightarrow \mathbb{R}$, $T > 0$ fest, mit folgenden
Eigenschaften:

- (1) $s^{(j)}(t)$ ist stetig für $j = 0, \dots, k-1$,
- (2) $s^{(k)}(t)$ ist stückweise stetig,
- 3) s minimiert das Integral

$$\int_0^T s^{(k)}(t)^2 dt$$

mit $s^{(j)}(0) = c_j$, $s^{(j)}(T) = d_j$, $j = 0, \dots, k-1$.

Bekanntes Ergebnis: $s(t)$ ist ein Polynom vom Grade $\leq 2k-1$.

Umwandlung in einen optimalen Steuerprozeß:

$$u(t) := s^{(k)}(t) \quad \text{Steuerfunktion, stückweise stetig}$$

$$x(t) = \begin{pmatrix} x_1(t) \\ x_2(t) \\ \vdots \\ x_k(t) \end{pmatrix} := \begin{pmatrix} s(1) \\ s'(t) \\ \vdots \\ s^{(k-1)}(t) \end{pmatrix} \in \mathbb{R}^k$$

Ausgangsfunktion, stetig bzgl. t

$$x_0 := \begin{pmatrix} c_0 \\ \vdots \\ c_{k-1} \end{pmatrix}, \quad x_T := \begin{pmatrix} d_0 \\ \vdots \\ d_{k-1} \end{pmatrix}$$

Problem: Bestimme eine stückweise stetige Funktion $u: [0, T] \rightarrow \mathbb{R}$, welche

$$\int_0^T u(t)^2 dt \quad (\text{Zielfunktional})$$

minimiert unter den Nebenbedingungen

$$(1.6) \quad \begin{cases} \dot{x}_1 = x_2, & 0 \leq t \leq T \\ \vdots \\ \dot{x}_{k-1} = x_k, \\ \dot{x}_k = u(t), \\ x(0) = x_0, \quad x(T) = x_T. \end{cases}$$

Die Dynamik (1.6) lautet in rechteckiger Form schreibweise

$$\dot{x} = Ax + Bu, \quad A = \begin{pmatrix} 0 & 1 & 0 & \cdots & 0 \\ 0 & 0 & 1 & \cdots & 0 \\ \vdots & \vdots & \vdots & \ddots & \vdots \\ 0 & 0 & 0 & \cdots & 1 \end{pmatrix}, \quad B = \begin{pmatrix} 0 \\ 0 \\ \vdots \\ 0 \\ 1 \end{pmatrix}.$$

Bem.: Die Steuerung u fürt nichtlinear im Zielfunktional auf; die optimale Steuerung $u(t)$ ist stetig (sogar C^∞), vgl. § 8.

§2. Formulierung optimaler Steuerprozesse

Im folgenden bezeichne:

$x(t) \in \mathbb{R}^n$: Zustandsvektor eines Systems zur Zeit t ,

$u(t) \in \mathbb{R}^m$: Steuervektor zur Zeit t ,

t_0 : Anfangszeit, o.E. $t_0 = 0$,

T : Endzeit, fest vorgegeben oder frei, $T > t_0$.

Komponenten:

$$x(t) = \begin{pmatrix} x_1(t) \\ \vdots \\ x_m(t) \end{pmatrix}, \quad u(t) = \begin{pmatrix} u_1(t) \\ \vdots \\ u_m(t) \end{pmatrix}.$$

Ein optimaler Steuerprozess ist durch folgende Daten gegeben:

- (1) Dynamik des Prozesses,
- (2) Randbedingungen für den Zustand,
- (3) Steuerbereich,
- (4) Zielfunktion (Kostenfunktional).

Dynamik eines Prozesses:

Die Steuerung u beeinflusst den Zustand x gemäß der DGL

$$(2.1) \quad \dot{x} = f(t, x, u), \quad 0 \leq t \leq T.$$

Hierbei sei $f: [0, T] \times \mathbb{R}^n \times \mathbb{R}^m \rightarrow \mathbb{R}^n$ stetig und bzgl. x und u stetig partiell differenzierbar. Die partiellen Ableitungen f_x ($n \times n$ Matrix) und f_u ($n \times m$ Matrix) seien stetig. Ein Funktionenpaar (x, u) mit

$u: [0, T] \rightarrow \mathbb{R}^m$ stückweise stetig,

$x: [0, T] \rightarrow \mathbb{R}^n$ stetig und stückweise C^1

heißt Lösung der DGL (2.1) in $[0, T]$, wenn gilt

$$(2.1a) \quad \dot{x}(t) = \frac{dx}{dt} = f(t, x(t), u(t))$$

für alle Stetigkeitsstellen $t \in [0, T]$ von $u(\cdot)$.

Randbedingungen:

Seien $M_0, M_1 \subset \mathbb{R}^n$ abgeschlossene Mengen.
 Bei Anfangszustand $x(0)$ und der
Endzustand $x(T)$ genüge den Be-
 dingungen

$$(2.2) \quad x(0) \in M_0, \quad x(T) \in M_1.$$

In den Anwendungen sind M_0, M_1
 meistens gleichungsdefinierte Flächen

$$M_0 := \{x \in \mathbb{R}^n \mid \psi(x) = 0\},$$

$$M_1 := \{x \in \mathbb{R}^n \mid \psi(x) = 0\}$$

mit C^1 -Funktionen $\varPhi: \mathbb{R}^n \rightarrow \mathbb{R}^s$,
 $\psi: \mathbb{R}^n \rightarrow \mathbb{R}^r$, $0 \leq s, r \leq n$. Die
 Randbedingungen (2.2) lauten dann

$$(2.2a) \quad \varPhi(x(0)) = 0, \quad \psi(x(T)) = 0.$$

Der Fall $s=0$ bzw. $r=0$ bedeutet
 formal, dass keine Bedingungen
 für $x(0)$ bzw. $x(T)$ gegeben sind,

d.h. $x(0)$ bzw. $x(T)$ ist frei.

Als Spezialfall von (2.2a) erhält
 man die Standard-Randbedingungen

$$(2.2b) \quad x(0) = x_0, \quad \psi(x(T)) = 0$$

mit festem $x_0 \in \mathbb{R}^n$.

Steuerbereich:

Sei $\mathcal{U} \subset \mathbb{R}^m$ eine nichtleere, konvexe
 und abgeschlossene Menge. Der
 Steuervektor $u(t)$ genüge der
 Einschränkung

$$(2.3) \quad u(t) \in \mathcal{U} \text{ für alle } t \in [0, T].$$

Ein Funktionenpaar (x, u)
 heißt zulässig zur Endzeit T ,
 falls (2.1) - (2.3) erfüllt sind.

Zielfunktional:

$$(2.4) \quad F(x, u) := g(x(T)) + \int_0^T f_0(t, x(t), u(t)) dt,$$

wobei $g: \mathbb{R}^m \rightarrow \mathbb{R}$ stetig differenzierbar, und $f_0: [0, T] \times \mathbb{R}^n \times \mathbb{R}^m \rightarrow \mathbb{R}$ stetig und bzgl. x, u stetig partiell differenzierbar sind. Die partiellen Ableitungen $f_{0,x}, f_{0,u}$ seien stetig.

In kompakter Form erhalten wir damit den folgenden optimalen Steuerprozeß:

Minimiere

$$F(x, u) = g(x(T)) + \int_0^T f_0(t, x, u) dt$$

$$(2.5) \quad \text{unter } \begin{aligned} \dot{x} &= f(t, x, u), \quad 0 \leq t \leq T \\ x(0) &\in M_0, \quad x(T) \in M_1, \\ u(t) &\in \mathcal{U} \end{aligned}$$

Zur Präzisierung einer optimalen Lösung (globale Minimalstelle) von (2.5) treffen wir die Fallunterscheidungen:

(1) Feste Endzeit: Ein zulässiges Paar (x^*, u^*) zur Endzeit T heißt optimale Lösung von (2.5), wenn

$$F(x^*, u^*) \leq F(x, u)$$

für alle zulässigen Paare (x, u) zur Endzeit T .

(2) Freie Endzeit: Ein zulässiges Paar (x^*, u^*) zur Endzeit T^* heißt optimale Lösung von (2.5), wenn

$$F(x^*, u^*) \leq F(x, u)$$

für alle zulässigen Paare (x, u) zu beliebigen Endzeiten T . In diesem Falle ist also T eine zusätzliche Optimierungsvariable.

2.7

Die Funktion $x^*(\cdot)$ wird als optimale Trajektorie und $u^*(\cdot)$ wird als optimale Steuerung bezeichnet.

Ein zeitoptimaler Steuerprozess ist ein optimaler Steuerprozess (2.5) mit Zielfunktion

$$(2.6) \quad F(x, u) = T = \int_0^T 1 dt,$$

d.h. man wähle in (2.5)

$$g \equiv 0, \quad f_0 \equiv 1, \quad T \text{ frei.}$$

Bei einem linearen Steuerprozess wird die Dynamik (2.1) spezialisiert zu

$$(2.7) \quad \dot{x} = A(t)x + B(t)u$$

mit stetigen Matrix-Funktionen

$$A : [0, \infty) \rightarrow \mathbb{R}^{n \times n},$$

$$B : [0, \infty) \rightarrow \mathbb{R}^{n \times m}$$

2.8

Ein zeitoptimaler linearer Steuerprozess ist dann ein Spezialfall von (2.5) der Form

Minimiere die Endzeit T unter

$$(2.8) \quad \begin{aligned} \dot{x} &= A(t)x + B(t)u, \quad 0 \leq t \leq T, \\ x(0) &= x_0, \quad x(T) \in M, \\ u(t) &\in U, \\ M &\subset \mathbb{R}^n \text{ abgeschlossen,} \\ U &\subset \mathbb{R}^m \text{ konvex, kompakt} \end{aligned}$$

In den Anwendungen ist häufig

$$M = \{x_1\}, \quad x_1 \in \mathbb{R}^n \text{ fest gewählt,}$$

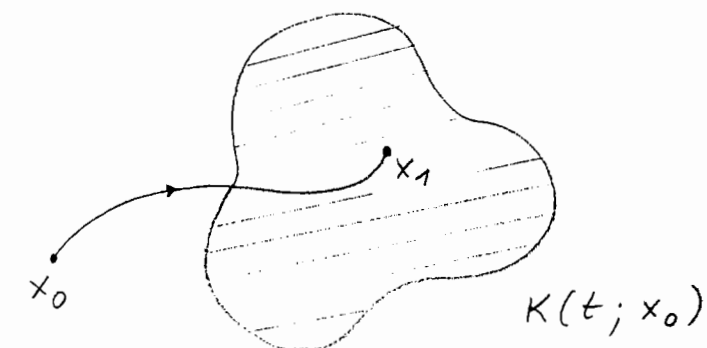
$$U = \{u = (u_1, \dots, u_m) \mid a_i \leq u_i \leq b_i, \\ a_i, b_i \in \mathbb{R}, \quad i=1, \dots, m\}$$

Quader.

Ein Hauptanliegen der Theorie optimaler Steuerprozesse ist die Herleitung notwendiger Optimierungsbedingungen erster Ordnung (PONTRYAGIN'sches Minimum-Prinzip bzw. Maximum-Prinzip) für eine optimale Lösung $x^*(\cdot)$, $u^*(\cdot)$ von (2.5). Hierbei spielt der Begriff der erreichbaren Menge bzgl. der Dynamik (2.1) eine zentrale Rolle. Für festes $x_0 \in \mathbb{R}^n$ heißt

$$(2.9) \quad K(t; x_0) := \{x_1 \in \mathbb{R}^n \mid \exists (x, u) \text{ zulässig} \\ \text{zu (2.1), (2.3) mit} \\ x(0) = x_0, x(t) = x_1\}.$$

die Menge der (von x_0 aus) erreichbaren Punkte. x_0 heißt steuerbar nach x_1 in der Zeit t , falls $x_1 \in K(t; x_0)$.



Die Idee zur Herleitung des PONTRYAGIN'schen Minimum-Prinzips besteht nun darin (sei $x_0 = x^*(0)$):

- (1) zeitoptimale lineare Steuerprozesse (vgl. § 5): Sei T^* optimal. Die erreichbare Menge $K(t; x_0)$ ist konvex und es gilt

$$x^*(t) \in \partial K(t; x_0), \quad 0 \leq t \leq T^*.$$

Wende den Trennungssatz für konvexe Mengen an:



Außerdem ist T^* charakterisiert durch

$$T^* = \min \{ t \geq 0 \mid K(t; x_0) \cap M \neq \emptyset \}.$$

(2) Allgemeine Steuerprozesse:

(Man approximiere die erreichbare Menge $K(T; x_0)$ um Punkt $x^*(T)$ durch den sogen. konvexen Erreichbarkeitskegel und wende den Trennungssatz für konvexe Mengen an; vgl. § 6.

Kap. II Lineare Steuerprozesse

§ 3 Rückblick auf lineare DGL

Sei $I \subset \mathbb{R}$ ein kompaktes Intervall und sei

$A: I \rightarrow \mathbb{R}^{n \times n}$ stückweise stetige Matrixfunktion,

$c: I \rightarrow \mathbb{R}^n$ stückweise stetig.

Zu $t_0 \in I$ und $x_0 \in \mathbb{R}^n$ gibt es genau eine stetige Lösung $x: I \rightarrow \mathbb{R}^n$ der AWA

$$(3.1) \quad \begin{aligned} \dot{x} &= A(t)x + c(t), \\ x(t_0) &= x_0. \end{aligned}$$

Die Ableitung $\dot{x}(t) = dx/dt$ existiert an allen Stetigkeitsstellen $t \in I$ von A und c . Die DGL

$$(3.2) \quad \dot{x} = A(t)x$$

heißt homogene DGL. Die DGL

3.1

$$(3.3) \quad \dot{x} = -A(t)^T x \quad (T: \text{Transponierung})$$

heißt adjungierte DGL.

Die Menge der Lösungen der homogenen DGL $\dot{x} = A(t)x$ ist ein n -dim. Vektorraum. Für je n linear unabhängige Lösungen $x_1(t), \dots, x_n(t)$ heißt die reguläre $n \times n$ Matrix

$$\phi(t) = (x_1(t), \dots, x_n(t))$$

eine Fundamentalmatrix. Die Fundamentalmatrix $\phi(t, t_0)$ mit $\phi(t_0, t_0) = E_n$, $t_0 \in I$, heißt Übergangsmatrix. $\phi(t, t_0) = \phi(t) \cdot \phi^{-1}(t_0)$

Eigenschaften:

$$(a) \quad \phi(t, t_1) \phi(t_1, t_0) = \phi(t, t_0)$$

$$(b) \quad \phi(t, s)^{-1} = \phi(s, t)$$

$$(c) \quad \psi(t, t_0) := (\phi(t, t_0)^{-1})^T = \phi(t_0, t)^T$$

3.2

Was ist
 $\phi(t, t_0)$?

ist Übergangsmatrix zur adjungierten DGL $\dot{x} = -A(t)^T x$.

Variation der Konstanten:

Die Lösung der AWA

$$\dot{x} = A(t)x + c(t), \quad x(t_0) = x_0$$

lautet explizit

$$(3.4) \quad x(t) = \phi(t, t_0)x_0 + \int_{t_0}^t \phi(t, s)c(s)ds. \quad \checkmark$$

Lineare DGL mit konstanten Koeffizienten.

Sei A eine $n \times n$ Matrix. Die DGL

$$\dot{x} = Ax$$

besitzt die Übergangsmatrix

$$(3.5) \quad \phi(t, t_0) = e^{A(t-t_0)}, \quad e^{At} = \sum_{k=0}^{\infty} \frac{1}{k!} A^k t^k.$$

(3.6) Lemma: Es existieren C^1 -Funktionen $\varphi_k : \mathbb{R} \rightarrow \mathbb{R}$ mit

$$e^{At} = \sum_{k=0}^{n-1} \varphi_k(t) A^k.$$

Beweis: Nach dem Satz von Cayley-Hamilton gibt es $\alpha_\ell \in \mathbb{R}$ mit

$$A^n = \sum_{\ell=0}^{n-1} \alpha_\ell A^\ell.$$

Die Funktionen φ_k lassen sich so wählen, dass

$$\phi(t) := \sum_{k=0}^{n-1} \varphi_k(t) A^k$$

die Matrix-AWA

$$\dot{\phi}(t) = A\phi(t), \quad \phi(0) = E$$

erfüllt. Dann gilt $\phi(t) = e^{At}$. Zur Konstruktion der φ_k setze man

$$\varphi_k(0) = \delta_{0k}, \quad k=0, \dots, n-1 \Rightarrow \phi(0) = E.$$

Die DGL $\dot{\phi} = A\phi$ und $A^n = \sum_{\ell=0}^{n-1} \alpha_\ell A^\ell$

gegeben $\dot{\phi} = A\phi$

$$\sum_{k=0}^{n-1} \varphi_k A^k = \sum_{k=0}^{n-1} \varphi_k A^{k+1}$$

$$A^n = \sum_{\ell=0}^{n-1} \alpha_\ell A^\ell$$

$$= \sum_{k=0}^{n-1} \left(\sum_{\ell=0}^{n-1} \varphi_\ell \alpha_{k\ell} \right) A^k, \quad \alpha_{k\ell} \in \mathbb{R}.$$

vorliegt

$$A = \begin{pmatrix} J_1 & 0 \\ 0 & J_T \end{pmatrix},$$

$$J_j = \begin{pmatrix} \lambda_j & & 0 \\ & \ddots & \\ & & 1 \\ 0 & & \lambda_j \end{pmatrix}$$

$k_j \times k_j$ Matrix,
 $j = 1, \dots, T,$
 $k_j \leq \nu_j$

Die AWA

$$\dot{\varphi}_k = \sum_{\ell=0}^{n-1} \varphi_\ell \alpha_{k\ell}, \quad \varphi_k(0) = \delta_{0k}$$

hat genau eine Lösung φ_k .

Die Eigenwerte von A seien λ_j mit
 der Vielfachheit ν_j , $j = 1, \dots, k$. Dann
 gibt es Polynome $p_j(t)$ vom Grade
 $\leq \nu_j - 1$ mit

$$(3.7) \quad e^{At} x_0 = \sum_{j=1}^k e^{\lambda_j t} p_j(t).$$

Falls A in JORDAN'scher Normalform

so gilt $e^{At} = \text{diag}(e^{\lambda_1 t}, \dots, e^{\lambda_T t})$ mit

$$(3.8) \quad e^{\lambda_j t} = e^{\lambda_j t} \begin{pmatrix} 1 & t & \frac{t^2}{2} & \dots & \frac{t^{\nu_j-1}}{(\nu_j-1)!} \\ 1 & t & \ddots & \ddots & \vdots \\ \ddots & \ddots & \ddots & \ddots & \vdots \\ & \ddots & \ddots & \ddots & t \\ & & \ddots & \ddots & 1 \end{pmatrix}.$$

§ 4 Steuerbarkeit bei linearen autonomen Steuerprozessen

Sei A eine $n \times n$ Matrix und B eine $n \times m$ Matrix. Wir betrachten lineare Steuerprozesse (2.7) der Form

$$(4.1) \quad \dot{x} = Ax + Bu, \quad 0 \leq t \leq T.$$

Der Steuerbereich $\mathcal{U} \subset \mathbb{R}^m$ sei konvex. Die Lösung von

$$\dot{x} = Ax + Bu(t) =: Ax + c(t), \quad x(0) = x_0$$

lautet nach (3.4), (3.5)

$$x(t) = e^{At}x_0 + \int_0^t e^{A(t-s)}Bu(s)ds$$

für jede stückweise stetige Steuerung $u: [0, T] \rightarrow \mathcal{U}$. Damit ist die in (2.9) definierte erreichbare Menge gegeben durch

$$\begin{aligned} K(t; x_0) &= \left\{ e^{At}x_0 + \int_0^t e^{A(t-s)}Bu(s)ds \right\} \\ (4.2) \quad &= e^{At}x_0 + K(t; 0), \\ \text{vgl. 3.29} \end{aligned}$$

Folgerung: x_0 ist nach x_1 steuerbar in $[0, t]$ genau dann, wenn 0 nach $x_1 - e^{At}x_0$ steuerbar ist in $[0, t]$.

Es genügt daher, die erreichbare Menge $K(t) := K(t; 0)$ zu untersuchen.

Das System (4.1) mit $\mathcal{U} = \mathbb{R}^m$ heißt vollständig steuerbar, wenn für alle $x_0, x_1 \in \mathbb{R}^n$ ein $t_1 > 0$ existiert mit $x_1 \in K(t_1; x_0)$. Wir werden zeigen, dass die vollständige Steuerbarkeit von (4.1) äquivalent ist zu

$$K(t) = \mathbb{R}^n \quad \text{für (alle) } t > 0.$$

(4.3) Lemma:

(i) $K(t)$ ist konvex

(ii) Ist $\mathcal{U} = \mathbb{R}^m$, so ist $K(t)$ ein linearer Raum des \mathbb{R}^n .

Beweis: Zu (i): Zu $x_1, x_2 \in K(t)$

gibt es Steuerungen $u_i: [0, t] \rightarrow \mathcal{U}$,
 $i=1, 2$, mit

$$x_i = \int_0^t e^{A(t-s)} u_i(s) ds, \quad i=1, 2.$$

Für $\alpha \in [0, 1]$ und die Steuerung
 $u := \alpha u_1 + (1-\alpha) u_2$ gilt dann
 $u(s) \in \mathcal{U}, \quad 0 \leq s \leq t$, wegen der Kon-
vexität von \mathcal{U} . Damit folgt

$$\alpha x_1 + (1-\alpha) x_2 = \int_0^t e^{A(t-s)} u(s) ds \in K(t).$$

Zu (ii): Analog zu (i). ■ ✓ O.K.

Für $\mathcal{U} = \mathbb{R}^m$ kann der Raum $K(t)$ aus den

Matrizen A und B in der DGL (4.1)
berechnet werden.

(4.4) Definition: Die $n \times nm$ Matrix
(KALMANN-Matrix)

$$G := [B, AB, A^2B, \dots, A^{n-1}B]$$

heißt Steuerbarkeitsmatrix von
 $\dot{x} = Ax + Bu$.

(4.5) Satz: Sei $\mathcal{U} = \mathbb{R}^m$.

Für alle $t > 0$ gilt

$$\begin{aligned} K(t) &= \text{Bild } [B, AB, \dots, A^{n-1}B] \\ &= \left\{ \sum_{k=0}^{n-1} A^k B c_k \mid c_k \in \mathbb{R}^m \right\} \subset \mathbb{R}^n. \end{aligned}$$

Beweis: Sei $G = [B, AB, \dots, A^{n-1}B]$.

(1) $K(t) \subset \text{Bild}(G)$:

Für $x \in K(t)$ gilt mit einer geeigneten
Steuerung $u: [0, t] \rightarrow \mathbb{R}^m$ nach
Lemma (3.6):

4.5

$$\int_0^t e^{A(t-s)} Bu(s) ds = \sum_{k=0}^{n-1} A^k B \underbrace{\int_0^t \varphi_k(t-s) u(s) ds}_{=: c_k \in \mathbb{R}^m}$$

$$\sum_{k=0}^{n-1} A^k B c_k \in \text{Bild}(G).$$

(*) Annahme: $K(t) \neq \text{Bild}(G)$

Nach (4.3) ist $K(t)$ ein linearer Teilraum.

Nach: gibt es $v \in \text{Bild}(G)$, $v \neq 0$, mit $v \perp K(t)$, d.h.

$$(*) v^T \int_0^t e^{A(t-s)} Bu(s) ds = 0$$

für alle Steuerungen $u: [0, t] \rightarrow \mathbb{R}^m$.

Definiere die G^∞ -Steuerung $u: [0, t] \rightarrow \mathbb{R}^m$ durch

$$u(s) := (v^T e^{A(t-s)} B)^T, \quad 0 \leq s \leq t.$$

Mit (*) ergibt sich

4.6

$$\int_0^t u(s)^T u(s) ds = 0 \Rightarrow u(s) = 0, \quad 0 \leq s \leq t, \quad \text{da } u \text{ stetig.}$$

Durch Differentiation erhält man

$$\frac{d}{ds} \left(u(s)^T \right) \Big|_{s=t} = v^T (-1)^k A^k B = 0, \quad k=0, \dots, n-1$$

und daher gilt $v \perp \text{Bild}(G)$. Wegen $v \in \text{Bild}(G)$ muss $v=0$ gelten:
Widerspruch. ■

Insbesondere gilt also

$$K(t) = \mathbb{R}^m \quad \text{für } \text{rang}(C)=n, \quad U=\mathbb{R}^m.$$

Für $U \neq \mathbb{R}^m$ erhält man eine Abschwächung dieses Ergebnisses.

(4.6) Satz: Sei $0 \in \text{int } U$.

Für alle $t > 0$ sind äquivalent:

(i) $0 \in \text{int } K(t)$

(ii) $\text{rang}[B, AB, \dots, A^{n-1}B] = n$

* für alle Bewegungen $u: [0, t] \rightarrow \mathcal{U}$.

4.7

Beweis: $(i) \Rightarrow (ii)$:

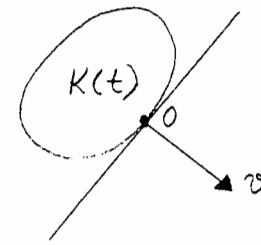
Der Beweis von Satz (4.5) ergab
 $K(t) \subset \text{Bild } [C]$. Wäre $\text{rang } [C] < n$,
daraus folgen $0 \notin \text{int } K(t)$.

$(ii) \Rightarrow (i)$:

Annahme: $0 \notin \text{int } K(t)$.

$K(t)$ ist konvex nach (4.3). Ferner gilt
 $0 \in K(t)$. Wegen $0 \notin \text{int } K(t)$ gibt es
nach dem Trennungssatz für konvexe
Mengen ein $v \in \mathbb{R}^n \setminus \{0\}$ mit

$$v^T x \leq 0 \quad \text{für alle } x \in K(t).$$



Damit folgt

$$(*) \quad v^T \int_0^t e^{A(t-s)} B u(s) ds \leq 0$$

*

Für $\alpha > 0$ genügend klein ist wegen
 $0 \in \text{int } \mathcal{U}$

$$u(s)^T := \pm \alpha v^T e^{A(t-s)} B \in \mathcal{U}, \quad 0 \leq s \leq t.$$

Die Ungleichung (*) liefert dann

$$v^T e^{A(t-s)} B = 0, \quad 0 \leq s \leq t.$$

Wie im Beweis von Satz (4.5) folgt
daraus $v^T [B, AB, \dots, A^{n-1} B] = 0$ im
Widerspruch zur Vor. $\text{rang } [C] = n$.

(4.7) Beispiele:

① vgl. Beispiel ① in §1.

$$\dot{x} = \begin{pmatrix} 0 & 1 \\ 0 & 0 \end{pmatrix} x + \begin{pmatrix} 0 \\ 1 \end{pmatrix} u, \quad A = \begin{pmatrix} 0 & 1 \\ 0 & 0 \end{pmatrix}, \quad B = \begin{pmatrix} 0 \\ 1 \end{pmatrix}.$$

$$[B, AB] = \begin{pmatrix} 0 & 1 \\ 1 & 0 \end{pmatrix}, \quad \text{rang } [B, AB] = 2.$$

\Rightarrow (a) $K(t) = \mathbb{R}^2$ für $t > 0$, $\mathcal{U} = \mathbb{R}$.

(b) $0 \in \text{int } K(t)$, $t > 0$, $\mathcal{U} = [-1, 1]$.

4.9

② DGL n -ter Ordnung

$$y^{(n)} + a_{n-1}y^{(n-1)} + \dots + a_0y = u(t).$$

Diese DGL ist äquivalent zu dem System von DGL 1. Ordnung

$$\dot{x} = Ax + Bu$$

$$x = \begin{pmatrix} y \\ \dot{y} \\ \vdots \\ y^{(n-1)} \end{pmatrix}, A = \begin{pmatrix} 0 & 1 & & 0 \\ & \ddots & & \\ & & \ddots & 1 \\ -a_0 & -a_1 & \cdots & -a_{n-1} \end{pmatrix},$$

$$B = \begin{pmatrix} 0 \\ \vdots \\ 0 \\ 1 \end{pmatrix},$$

$$\text{rang } [B, AB, \dots, A^{n-1}B] = n \quad (\text{Übung})$$

$$\Rightarrow K(t) = \mathbb{R}^n \quad \text{für } t > 0, \quad U = \mathbb{R}.$$

Spezialfall: Gedämpfter harmonischer Oszillator

$$\ddot{y} + 2\beta\dot{y} + k^2y = u(t) \quad \beta > 0.$$

4.10

③ Vgl. ② in §1: Erzentlader.

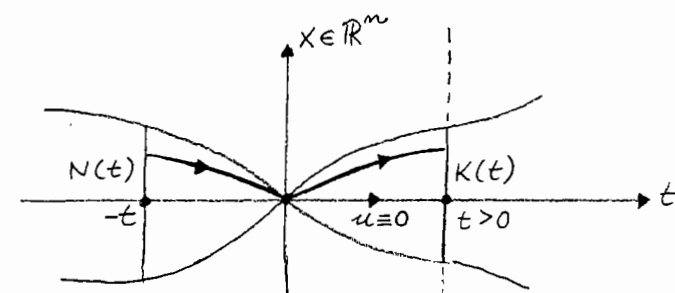
$$\dot{x} = Ax + Bu, \quad A = \begin{pmatrix} 0 & 1 & 0 & 0 \\ 0 & 0 & 0 & 0 \\ 0 & 0 & 0 & 1 \\ 0 & 0 & -1 & 0 \end{pmatrix}, \quad B = \begin{pmatrix} 0 \\ 1 \\ 0 \\ 1 \end{pmatrix}.$$

$$\text{rang } [B, AB, A^2B, A^3B] = \text{rang } \begin{pmatrix} 0 & 1 & 0 & 0 \\ 1 & 0 & 0 & 0 \\ 0 & 1 & 0 & -1 \\ 1 & 0 & -1 & 0 \end{pmatrix} = 4$$

- ⇒ (a) $K(t) = \mathbb{R}^4$ für $t > 0$, $U = \mathbb{R}$
- (b) $0 \in \text{int } K(t)$, $t > 0$, $U = [-1, 1]$.

Neben der erreichbaren Menge $K(t)$ betrachten wir nun die Null-steuerbare Menge

$$N(t) := \{x_1 \in \mathbb{R}^n \mid x_1 \text{ ist nach } 0 \text{ steuerbar in } [0, t] \text{ bzgl. } \dot{x} = Ax + Bu\}.$$



1) Der Zusammenhang zwischen $N(t)$ und $K(t)$ wird hergestellt über die DGL

$$(4.8) \quad \dot{x} = -Ax - Bu.$$

Sie

$$K_-(t) = \{x_1 \in \mathbb{R}^n \mid 0 \text{ nach } x_1 \text{ steuerbar in } [0, t] \text{ bzgl. } \dot{x} = -Ax - Bu\}$$

die erreichbare Menge bzgl. (4.8).

Sei $x_1 \in K_-(t)$ mit zugehöriger Steuerung $\tilde{u}: [0, t] \rightarrow U$ und Trajektorie $\tilde{x}(\cdot)$. Setze

$$x(s) := \tilde{x}(t-s), \quad u(s) := \tilde{u}(t-s), \quad 0 \leq s \leq t.$$

Dann genügen (x, u) der DGL $\dot{x} = Ax + Bu$ und es gilt

$$x(0) = \tilde{x}(t) = x_1, \quad x(t) = \tilde{x}(0) = 0,$$

d.h. $x_1 \in N(t)$. Damit folgt

$$\boxed{N(t) = K_-(t)}.$$

4.11

4.12
Die KALMANN-Matrix bzgl. (4.8) ist nach Def. (4.4)

$$C_- := [-B, AB, \dots, (-1)^n A^{n-1} B].$$

Offensichtlich gilt

$$\text{Bild}(C_-) = \text{Bild}(C)$$

und daher erhalten wir mit Satz (4.5):

$$(4.9) \quad N(t) = K_-(t) = K(t) \quad \text{für } U = \mathbb{R}^m.$$

Für $U \neq \mathbb{R}^m$ untersuchen wir nun die Mengen

$$K := \bigcup_{t>0} K(t), \quad N := \bigcup_{t>0} N(t).$$

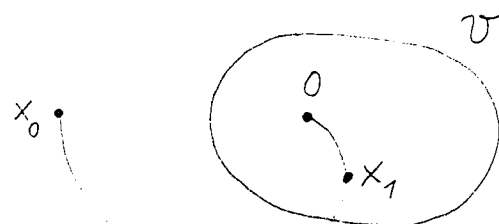
(4.10) Satz: U sei kompakt und es gelte $0 \in \text{int } U$. Dann ist $N = \mathbb{R}^m$ (bzw. $K = \mathbb{R}^n$) äquivalent zu

- (a) $\text{rang } [B, AB, \dots, A^{n-1} B] = n$,
- (b) für die Eigenwerte λ_j von A gilt $\text{Re } \lambda_j \leq 0$ (bzw. $\text{Re } \lambda_j \geq 0$); $j=1, \dots, k$.

Beweis:

- (1) Als Motivation beweisen wir zunächst den Spezialfall: Es gilt $N = \mathbb{R}^n$, falls
 - (i) $\text{rang}(G) = n$,
 - (ii) $\text{Re } \lambda_j < 0$, $j = 1, \dots, k$.

Die Bedingung (a) und Satz (4.6) liefern eine Umgebung V von 0 mit $V \subset N$.



Sei $x_0 \in \mathbb{R}^n$. Setzt man $u(t) \equiv 0$, so gilt

$$x(t) = e^{At} x_0 = \sum_{j=1}^k e^{\lambda_j t} p_j(t),$$

also

$x(t_1) = : x_1 \in V$ für t_1 genügend groß,

da $\text{Re } \lambda_j < 0$. Dann ist x_1 nach 0 steuerbar in $[t_1, t_2]$ mit $t_2 > t_1$, da $V \subset N$.

Daher ist x_0 nach 0 steuerbar in $[0, t_2]$.

- (2) Wir zeigen die allgemeine Beh. für den Fall $K = \mathbb{R}^n$:

In der Beziehung

$$x(t) = \int_0^t e^{A(t-s)} B u(s) ds$$

sei o.E. angenommen, daß A in JORDAN'scher Normalform vorliegt. Nach (3.8) ist

$$e^{At} = \text{diag}(e^{\lambda_1 t}, \dots, e^{\lambda_k t}),$$

$$e^{\delta_j t} = e^{\lambda_j t} \begin{pmatrix} 1 & t & \dots & \frac{t^{k_j-1}}{(k_j-1)!} \\ \vdots & \ddots & \ddots & \vdots \\ 0 & \ddots & \ddots & t \\ & & \ddots & 1 \end{pmatrix}.$$

Für $B = (b_{ij})$ folgt

$$(4.11) \quad x_1(t) = \int_0^t e^{\lambda_1(t-s)} \sum_{i=1}^{k_1} \frac{(t-s)^{i-1}}{(i-1)!} \cdot$$

$$\cdot \sum_{j=1}^m b_{ij} u_j(s) ds.$$

Ähnliche Formeln gelten für $x_k(t)$, $k \geq 2$.

1. Beh.: $K = \mathbb{R}^n \Rightarrow (a), (b)$:

(a) ergibt sich direkt aus Satz (4.6).

Annahme: $\operatorname{Re}(\lambda_1) < 0$.

Aus (4.11) folgt dann die Existenz von $c > 0$ mit

$$|x_1(t)| \leq c < \infty \quad \forall t > 0,$$

da U beschränkt ist. Dies steht im Widerspruch zu $K = \mathbb{R}^n$ und damit ist (b) gezeigt.

2. Beh.: $(a), (b) \Rightarrow K = \mathbb{R}^n$:

Wegen Vor. (a) gilt $b_{ij} \neq 0$ für ein Indexpaar (i, j) mit $1 \leq i \leq k_1$, $1 \leq j \leq m$. Setze

$$u(s) = (0, \dots, 0, u_j, 0, \dots, 0),$$

$$u_j \neq 0, \text{ konstant mit } u_j \in \text{int } U.$$

(4.11) reduziert sich auf
 $x_1(t) = \int_0^t e^{\lambda_1(t-s)} \sum_{i=1}^{k_1} \frac{(t-s)^{i-1}}{(i-1)!} b_{ij} u_j ds$

n.) gen. $\operatorname{Re}(\lambda_1) \geq 0$ folgt damit
 $|x_1(t)| \rightarrow \infty$ für $t \rightarrow \infty$;

entsprechende Aussagen gelten für
 $x_k(t)$, $k \geq 2$. Zu $c > 0$ gibt es
 dann (o.E. sei U konvex)
 $t_0 > 0$ mit

$$\{x \in \mathbb{R}^m \mid \|x\| \leq c\} \subset K(t_0).$$

Hiermit gewinnt man die Beh.

$K = \mathbb{R}^m$, da c beliebig ist.
 Die Aussage $N = \mathbb{R}^n$ für

ergibt sich sofort

aus den Beziehungen

$$N(t) = K_-(t), \quad t \geq 0,$$

$$\lambda_j(-A) = -\lambda_j(A).$$

Der letzte Satz ist das wesentliche
 Hilfsmittel zum Nachweis der
 Existenz zeitoptimaler Steuerungen;
 vgl. § 5.

(4.12) Beispiele:

① vgl. (4.7) ①
 $A = \begin{pmatrix} 0 & 1 \\ 0 & 0 \end{pmatrix}, \quad B = \begin{pmatrix} 0 \\ 1 \end{pmatrix}, \quad \operatorname{rang}(C) = 2,$
 $\det(\lambda E - A) = \lambda^2 \Rightarrow \lambda_1 = \lambda_2 = 0,$
 $\Rightarrow N = K = \mathbb{R}^2.$

② vgl. (4.7) ② (harmonischer Oszillator)
 $\ddot{y} + 2b\dot{y} + k^2 y = u, \quad b \geq 0$
 $|u| \leq c, \quad c > 0$

4.19

$$A = \begin{pmatrix} 0 & 1 \\ -k^2 & -2b \end{pmatrix}, \quad B = \begin{pmatrix} 0 \\ 1 \end{pmatrix},$$

$$\mathcal{Z} = [B, AB] = \begin{pmatrix} 0 & 1 \\ 1 & -2b \end{pmatrix}, \quad \text{rang}(C) = 2,$$

$$\det(\lambda E - A) = \lambda^2 + 2b\lambda + k^2$$

$$\lambda_{1,2} = -b \pm \sqrt{b^2 - k^2},$$

$$\operatorname{Re}(\lambda_{1,2}) \leq 0, \quad \text{da } b \geq 0,$$

$$\Rightarrow N = \mathbb{R}^2 \text{ und}$$

$K = \mathbb{R}^2$, falls $b = 0$
 (un gedämpftes Oszillatör).

③ vgl. (4.7) ③

$$A = \begin{pmatrix} 0 & 1 & 0 & 0 \\ 0 & 0 & 0 & 0 \\ 0 & 0 & 0 & 1 \\ 0 & 0 & -1 & 0 \end{pmatrix}, \quad B = \begin{pmatrix} 0 \\ 1 \\ 0 \\ 1 \end{pmatrix},$$

$$\begin{aligned} \det(\lambda E - A) &= (\lambda^2 + 1)\lambda^2 \\ \Rightarrow \lambda_1 = \lambda_2 &= 0, \quad \lambda_3 = +i, \quad \lambda_4 = -i, \\ \operatorname{Re}(\lambda_j) &= 0 \\ \Rightarrow N = K &= \mathbb{R}^4. \end{aligned}$$

5.1

§ 5 zeitoptimale lineare Steuerprozesse

Wir betrachten den zeitoptimalen linearen Steuerprozess (2.8)

Minimiere die Endzeit T unter

$$(5.1) \quad \begin{aligned} \dot{x} &= A(t)x + B(t)u \\ x(0) &= x_0, \quad x(T) \in M, \\ u(t) &\in \mathcal{U}, \quad 0 \leq t \leq T \end{aligned}$$

Hierbei seien

$$A: [0, \infty) \rightarrow \mathbb{R}^{n \times n}, \quad B: [0, \infty) \rightarrow \mathbb{R}^{n \times m} \text{ stetig,}$$

$M \subset \mathbb{R}^n$ abgeschlossen,

$\mathcal{U} \subset \mathbb{R}^m$ kompaktes, konvexes Polyeder.

5.2

Sei $\phi(t) = \phi(t, 0)$ die Übergangsmatrix von $\dot{x} = A(t)x$. Die von x_0 aus erreichbare Menge (2.9) ist wegen (3.4)

$$(5.2) \quad K(t) = \left\{ \phi(t) \left(x_0 + \int_0^t \underbrace{\phi(s)^{-1} B(s) u(s)}_{\text{beliebt}} ds \right) \mid u: [0, t] \rightarrow \mathcal{U} \text{ stückweise stetig} \right\}.$$

Im folgenden setzen wir die Existenz einer optimalen Lösung $T^*, (x^*, u^*)$ von (5.1) voraus.

Zur Charakterisierung von T^* zeigt man

- (1) $K(t)$ ist konvex und stetig bzgl. t in der HAUSDORFF-Metrik,

- (2) $T^* = \min \{t \geq 0 \mid K(t) \cap M \neq \emptyset\}$
 nach Def. von T^* ,
- (3) $x^*(T^*) \in \partial K(T^*)$.

HAUSDORFF-Metrik: Abstand zweier Mengen

Sei

$$\Pi = \{P \subset \mathbb{R}^n \mid P \text{ abgeschlossen}\}$$

$$d(x, P) = \inf \{ \|x - y\|_2 \mid y \in P\}$$

$$V(P, \varepsilon) = \{x \in \mathbb{R}^n \mid d(x, P) < \varepsilon\}, \varepsilon > 0.$$

Der HAUSDORFF Abstand zweier Mengen $P, Q \in \Pi$ ist dann

$$D(P, Q) = \inf \{ \varepsilon > 0 \mid P \subset V(Q, \varepsilon) \text{ und } Q \subset V(P, \varepsilon) \},$$

$D(\cdot, \cdot)$ ist Metrik für Π .

(5.3) Satz:

- (i) $K(t)$ ist konvex und beschränkt für alle $t \geq 0$.
- (ii) $K(\cdot)$ ist stetig auf $[0, \infty)$ bzgl. der HAUSDORFF-Metrik.

Beweis: Zu (i): Folgt sofort aus (5.2) und der Konvexität und Kompaktheit von \mathcal{U} .

Zu (ii): Übung: " $\varepsilon - \delta$ -Beweis" unter Verwendung der Kompaktheit von \mathcal{U} und der Stetigkeit des Integrals in (5.2) bzgl. t. ■

(5.4) Hilfsatz: Sei $t_0 > 0$ und $x \in \text{int } K(t_0)$. Dann gibt es eine Umgebung V von x und

$\delta > 0$ mit

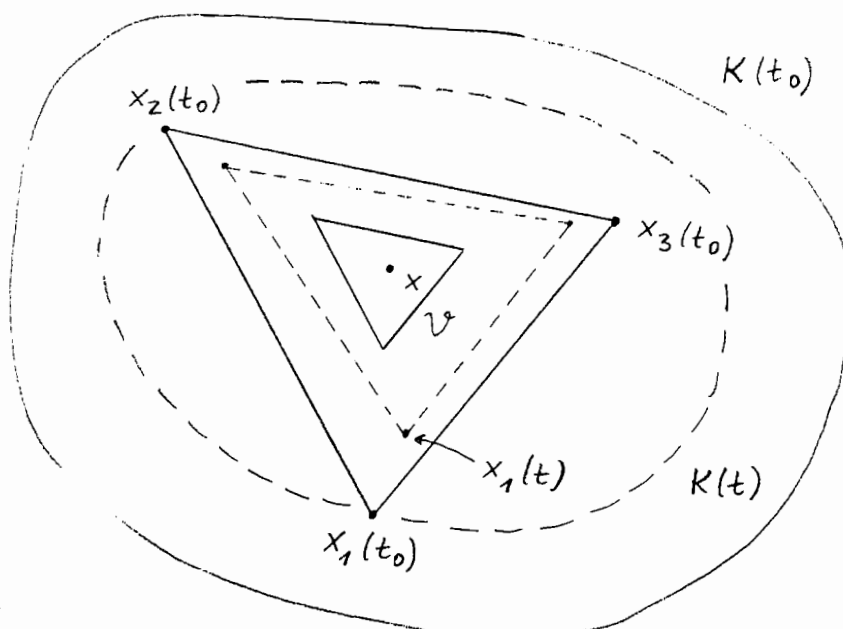
5.5

$V \subset \text{int } K(t)$ für $|t - t_0| < \delta$.

Beweis: Wegen $x \in \text{int } K(t_0)$ enthält $K(t_0)$ ein nichtentartetes Simplex

$$S(t_0) := [x_1(t_0), \dots, x_{n+1}(t_0)]$$

mit Zentrum x .



Figur 5.1

5.6

Sei V das offene Simplex mit der halben Seitenlänge von $S(t_0)$. Das Simplex

$$S(t) := [x_1(t), \dots, x_{n+1}(t)]$$

enthält V für

$|t - t_0| < \delta$ genügend klein.

Mit der Konvexität von $K(t)$ ergibt sich dann

$$V \subset S(t) \subset K(t) \text{ für } |t - t_0| < \delta. \blacksquare$$

(5.5) Satz: Geometrische Form des Minimum-Prinzips

Sei T^* und $(x^*, u^*) : [0, T^*] \rightarrow \mathbb{R}^n \times \mathcal{U}$ eine optimale Lösung von (5.1). Dann gilt

$$x^*(t) \in \partial K(t) \text{ für } 0 \leq t \leq T^*$$

Beweis:

$$(1) \quad x^*(T^*) \in \partial K(T^*):$$

Wäre $x^*(T^*) \in \text{int } K(T^*)$, so gäbe es nach (5.4) eine Umgebung \mathcal{V} von $x^*(T^*)$ und $\delta > 0$ mit

$$x^*(T^*) \in \text{int } K(t), \quad |t - T^*| < \delta$$

$$\Rightarrow x^*(T^*) \in M \cap K(t) \neq \emptyset, \quad |t - T^*| < \delta.$$

Dies ist ein Widerspruch zu

$$T^* = \min \{ t \geq 0 \mid K(t) \cap M \neq \emptyset \}.$$

$$(2) \quad x^*(t) \in \partial K(t), \quad 0 \leq t \leq T^*:$$

Annahme: $x^*(s) \in \text{int } K(s)$

für ein $0 < s < T^*$.

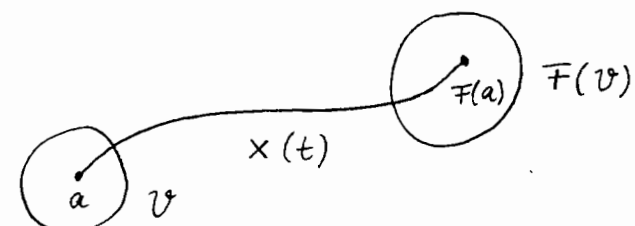
Es gibt eine Umgebung \mathcal{V} von $x^*(s)$ in $K(s)$. Sei $x(t; s, a)$ Lösung der AWA

$$\dot{x} = A(t)x + B(t)u^*(t), \\ x(s) = a \in \mathcal{V}.$$

Aus der Theorie gew. DGL folgt, daß die Abbildung

$$F: a \rightarrow x(T^*; s, a)$$

bei festem T^*, s ein Homöomorphismus ist; vgl. Knobloch/Kappel, Kap. III.

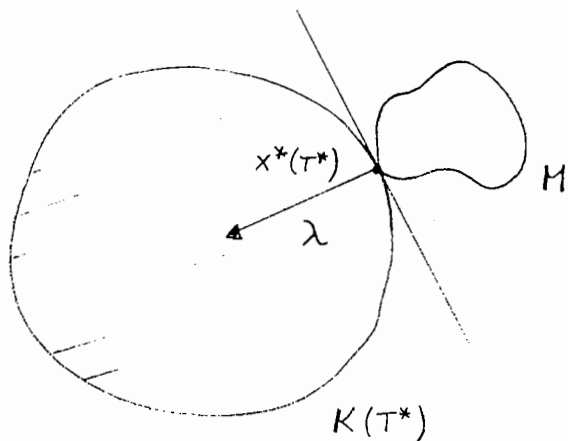


Also ist $F(\mathcal{V}) \subset K(T^*)$ offen, d.h.

$$x^*(T^*) \in \text{int } K(T^*)$$

im Widerspruch zu $x^*(T^*) \in \partial K(T^*)$. ■

Die geometrische Form des Minimumsprinzips kann mit dem Trennungssatz für konvexe Mengen in eine analytische Form übersetzt werden.



Wegen

$$K(T^*) \text{ konvex}, \quad x^*(T^*) \in \partial K(T^*)$$

gibt es eine Stützhyperebene an $K(T^*)$ in $x^*(T^*)$, d.h. es gibt einen Zeilenvektor $\lambda \in \mathbb{R}^n \setminus \{0\}$

mit

$$(5.6) \quad \lambda x^*(T^*) \leq \lambda x \quad \forall x \in K(T^*).$$

Alle Punkte $x \in K(T^*)$ haben die Darstellung

$$x = x(T^*)$$

$$= \phi(T^*) x_0 + \int_0^{T^*} \phi(T^*) \phi(t)^{-1} B(t) u(t) dt,$$

$$u: [0, T^*] \rightarrow \mathcal{U} \text{ stückweise stetig}.$$

Die Ungleichung (5.6) besagt dann

$$(5.7) \quad \begin{aligned} & \int_0^{T^*} \lambda \phi(T^*) \phi(t)^{-1} B(t) u^*(t) dt \\ & \leq \int_0^{T^*} \lambda \phi(T^*) \phi(t)^{-1} B(t) u(t) dt. \end{aligned}$$

Man definiert nun die adjungierte Variable (Zeilenvektor)

$$(5.8) \quad \lambda(t) := \lambda \phi(T^*) \phi(t)^{-1} \in \mathbb{R}^n, \quad 0 \leq t \leq T^*.$$

Dann ist $\lambda(t)$ eine C^1 -Funktion und genügt nach §3 der adjungierten DGL

$$(5.9) \quad \dot{\lambda}(t) = -\lambda(t) A(t), \quad \lambda(T^*) = \lambda.$$

Man beachte, dass

$$\lambda(t) \neq 0 \quad \forall \quad 0 \leq t \leq T^*$$

wegen $\lambda(T^*) = \lambda \neq 0$. Die integrale Beziehung (5.7) geht damit über in

$$(5.10) \quad \begin{aligned} & \int_0^{T^*} \lambda(t) B(t) u^*(t) dt \\ & \leq \int_0^{T^*} \lambda(t) B(t) u(t) dt. \end{aligned}$$

Sei nun $t \in (0, T^*)$ ein Stetigkeitspunkt von $u^*(t)$. Für $\varepsilon > 0$ genügend klein und $u \in U$ setzen wir die Steuerung

$$u_\varepsilon(s) := \begin{cases} u & , s \in [t-\varepsilon, t] \\ u^*(s), & \text{sonst} \end{cases}$$

in (5.10) ein und erhalten

$$\int_{t-\varepsilon}^t \lambda(s) B(s) (u - u^*(s)) ds \geq 0.$$

Daraus folgt

$$\begin{aligned} 0 & \leq \lim_{\varepsilon \rightarrow 0^+} \frac{1}{\varepsilon} \int_{t-\varepsilon}^t \lambda(s) B(s) (u - u^*(s)) ds \\ & = \lambda(t) B(t) (u - u^*(t)). \end{aligned}$$

* (b) für alle $0 < t \leq T^*$ gilt

$$\lambda(t)x^*(t) \leq \lambda(t)x \quad \forall x \in K(t),$$

5.13

* Sei T^* und $(x^*, u^*) : [0, T^*] \rightarrow \mathbb{R}^n \times U$ eine optimale Lösung

5.14

Nach Berechnung gilt für alle $t \in [0, T^*]$, wenn man für $u^*(t)$ rechts- und linksseitige W.L.C einsetzt. Damit haben wir das folgende Minimumprinzip gezeigt:

$$(5.11) \quad \boxed{\lambda(t)B(t)u^*(t) = \min_{u \in U} \lambda(t)B(t)u, \quad \forall t \in [0, T^*]}$$

erner kann man die beiden folgenden geometrisch plausiblen Aussagen zeigen:

(a) $\lambda \dot{x}^*(T^*) \leq 0$, $\lambda = \lambda(T^*)$, ✓
d.h. $K(t)$ "expandiert in $t=T^*$ ",

d.h. $\lambda(t)$ ist innere Normale an $K(t)$ in $x^*(t)$.

Die vorigen Ergebnisse können mittels der Hamilton-Funktion H umformuliert werden:

$$(5.12) \quad \begin{aligned} H(t, x, \lambda, u) &:= \lambda_0 + \lambda \dot{x} \\ &= \lambda_0 + \lambda(A(t)x + B(t)u), \\ \lambda_0 &:= -\lambda(T^*) \dot{x}^*(T^*) \geq 0 \end{aligned}$$

nach (a),

$\lambda \in \mathbb{R}^m$ Zeilenvektor

(5.13) Satz: Analytische Form des Minimumprinzips

5.15

von (5.1). Dann gibt es $\lambda_0 \geq 0$ und eine C^1 -Funktion

$\lambda: [0, T^*] \rightarrow \mathbb{R}^m$ mit $\lambda(t) \neq 0$, sodass für $t \in [0, T^*]$ gilt:

$$\begin{aligned} (i) \quad & \dot{x} = -H_x(t, x^*(t), \lambda(t), u^*(t)) \\ & = -\lambda A(t), \quad \checkmark \end{aligned}$$

$$\begin{aligned} (ii) \quad & H(t, x^*(t), \lambda(t), u^*(t)) \\ & = \min_{u \in U} H(t, x^*(t), \lambda(t), u), \\ & \Leftrightarrow \lambda B(u - u^*) \geq 0 \end{aligned}$$

$$(iii) \quad H(t, x^*(t), \lambda(t), u^*(t)) \Big|_{t=T^*} = 0, \quad \Leftrightarrow \lambda(t^* x^* + B(t^*) u^*) \leq 0$$

$$\begin{aligned} (iv) \quad & H(x^*(t), \lambda(t), u^*(t)) \equiv 0 \text{ in } [0, T^*] \\ & \text{für einen autonomen Prozess} \\ & \dot{x} = Ax + Bu. \end{aligned}$$

Beweis: Die Aussagen (i)-(iii) folgen direkt aus der Def. der Hamilton-

5.16

Die Aussage (iv) wird in LEE / MARKUS, p. 131, bewiesen. ■

Falls $\lambda_0 > 0$ gilt, so kann man $\frac{\lambda_0}{\lambda} = 1$ wählen: bei dem Übergang $\lambda \rightarrow \lambda/\lambda_0$ bleiben nämlich die Aussagen des vorigen Satzes unverändert. Die Hamilton-Funktion ist dann

$$(5.14) \quad \boxed{H(t, x, \lambda, u) = 1 + \lambda(A(t)x + B(t)u)}$$

Wir betrachten ab jetzt den Steuerbereich

$$U = U_c = \{u \in \mathbb{R}^m \mid |u_i| \leq 1, i=1, \dots, m\},$$

Quader.

$\sim n \cdot \dots \cdot n \sim$ Definiere für $\lambda \in \mathbb{R}$

(S.15) \tilde{q}_t

'long-long', down and (S.8)

(t) \star optimal steering u^*

for the normates system set due

residual cost, $r = 1, \dots, m$

continuous function $I \subset [0, \infty)$

then $r_T \phi(t) - g_r(t)$ and

all $v \in \mathbb{R}^n$, $v \neq 0$, the function

is not normal, when for

(ii) DAS system $\dot{x} = A(t)x + B(t)u$

$r = 1, \dots, m$

$[1'0] = \tau$ for $t \in I(t)$

is not long-long, false

(ii) Enz steering $u: [0, T] \rightarrow U^c$

(S.16) Definition:

(t) \star optimal u^*

S.18

Multicell von $\tilde{q}(t)$ folgen
aus schaftfunktionen! die

$\tilde{q}(t) = q(t), r = 1, \dots, m$

die Fundtionen

$r = 1, \dots, m$ $[1'0] = \tau$

$((t) \tilde{g}(t) \gamma)_{\min} = (\tau)_{\star}^r n$ (S.15)

$\min_{u \in U^c} \sum_{r=1}^m \tilde{q}(t) \gamma^r$

(außer mit $B(t) = (g_1(t), \dots, g_m(t))$
die Minima-Bedingung (S.11)

$$\left. \begin{array}{l} Q > 0 \\ Q = 0 \\ Q < 0 \end{array} \right\} \begin{array}{l} k \\ 0 \\ 1 \end{array} = (x)_{\min}$$

tr S

$$u_i^*(t) = -\operatorname{sgn} (v^T \phi(t)^{-1} b_i(t)),$$

$$v^T := \lambda \phi(T^*).$$

(5.17) Satz: Ein autonomes System

$$\dot{x} = Ax + Bu, \quad B = (b_1, \dots, b_m)$$

ist genau dann normal, wenn

$$\operatorname{rang} [b_i, Ab_i, \dots, A^{n-1}b_i] = n,$$

für $i = 1, \dots, m$.

Beweis: Man benutzt analoge Techniken wie beim Beweis der Steuerbarkeitsaussagen in den Sätzen (4.5), (4.6). ■

Bemerkung: Für $m=1$ ist die Normalität äquivalent mit der vollständigen Steuerbarkeit; vgl. Def. (4.4).

(5.18) Beispiel: vgl. §1, Beispiel (1), und (4.7) (1).

Problem: Minimiere die Endzeit T

unter $\begin{aligned}\dot{x}_1 &= x_2, \\ \dot{x}_2 &= u(t), \quad 0 \leq t \leq T\end{aligned}$

$$x(0) = x_0 \in \mathbb{R}^2, \quad x(T) = \begin{pmatrix} 0 \\ 0 \end{pmatrix},$$

$$-1 \leq u(t) \leq 1.$$

Nummerische Lösung: Die Hamilton-Funktion ist

$$H(x, \lambda, u) = 1 + \lambda_1 x_2 + \lambda_2 u.$$

Die adjungierten DGL

$$\dot{\lambda}_1 = -H_{x_1} = 0, \quad \dot{\lambda}_2 = -H_{x_2} = -\lambda_1$$

haben die Lösung

$$\lambda_1(t) \equiv -c, \quad \lambda_2(t) = ct + d, \quad c, d \in \mathbb{R}.$$

Die Schaltfunktion

$$\sigma(t) = \lambda_2(t) = ct + d$$

hat höchstens eine Nullstelle.

Daher ist die optimale Steuerung $u(t)$ bang-bang in $[0, T]$ und hat höchstens einen Schaltpunkt.

Die bang-bang-Eigenschaft folgt auch aus der Normalität des Systems. Nach (5.15) gilt

$$u(t) = -\operatorname{sgn} \sigma(t) = -\operatorname{sgn} \lambda_2(t).$$

Numerische Lösung im Phasenraum:

Rückwärtsintegration vom Endpunkt $(0, 0)$

Die optimale Lösung (Trajektorie) $x(t)$ muß den Endpunkt $x(T^*) = \begin{pmatrix} 0 \\ 0 \end{pmatrix}$ mit der Steuerung

$u(t) = 1$ oder $u(t) = -1$ erreichen.

$$(1) \quad \underline{u(t) \equiv 1}: \quad \dot{x}_1 = x_2, \quad \dot{x}_2 = 1, \quad x(T^*) = \begin{pmatrix} 0 \\ 0 \end{pmatrix}$$

Hieraus folgt $x_2(t) \leq 0$ und

$$\frac{dx_1}{dx_2} = x_2 \Rightarrow x_1 = \frac{1}{2} x_2^2.$$

$$\text{Setze } \Gamma_+ := \left\{ (x_1, x_2) \in \mathbb{R}^2 \mid x_1 = \frac{1}{2} x_2^2, x_2 \leq 0 \right\}.$$

$$(2) \quad \underline{u(t) \equiv -1}: \quad \dot{x}_1 = x_2, \quad \dot{x}_2 = -1, \quad x(T^*) = \begin{pmatrix} 0 \\ 0 \end{pmatrix}.$$

Hieraus folgt $x_2(t) \geq 0$ und

$$\frac{dx_1}{dx_2} = -x_2 \Rightarrow x_1 = -\frac{1}{2} x_2^2.$$

Setze

$$\Gamma_- := \left\{ (x_1, x_2) \in \mathbb{R}^2 \mid x_1 = -\frac{1}{2} x_2^2, x_2 \geq 0 \right\}.$$

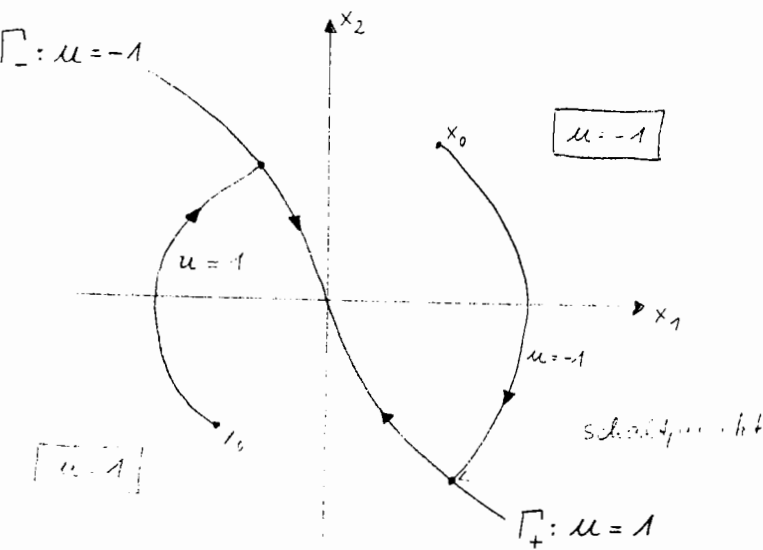


Figure 5.2

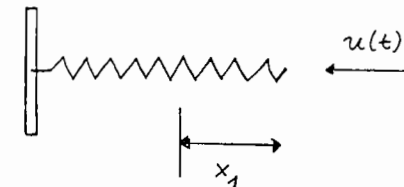
Alle Schaltpunkte liegen auf der Schaltkurve $S = \Gamma_- \cup \Gamma_+$.

Synthese-Steuerung: (feedback-steuerung)

$$u(x_1, x_2) = \begin{cases} -1, & \text{falls } (x_1, x_2) \text{ oberhalb } S \\ & \text{oder auf } \Gamma_-, \\ 1, & \text{falls } (x_1, x_2) \text{ unterhalb } S \\ & \text{oder auf } \Gamma_+, \\ & \dots \end{cases}$$

$\dot{x}_1 = x_2, \quad \dot{x}_2 = u(x_1, x_2), \quad u(t) = u(x_1(t), x_2(t)).$

(5.19) Beispiel: Ungedämpfter harmonischer Oszillator
(vgl. (4.7)(2))



Problem: Minimiere T unter

$$\dot{x}_1 = x_2, \quad 0 \leq t \leq T$$

$$\dot{x}_2 = -x_1 + u(t),$$

$$x(0) = x_0 \in \mathbb{R}^2, \quad x(T) = \begin{pmatrix} 0 \\ 0 \end{pmatrix},$$

$$-1 \leq u(t) \leq 1.$$

Numerische Lösung: Das System ist normal, also ist jede optimale Steuerung bang-bang. Die Hamilton-Funktion lautet

5.25

$$H = 1 + \lambda_1 x_2 + \lambda_2 (-x_1 + u).$$

Die adjungierten DGL

$$\dot{\lambda}_1 = -H_{x_1} = \lambda_2, \quad \dot{\lambda}_2 = -H_{x_2} = -\lambda_1$$

haben die Lösung

$$\begin{aligned}\lambda_1(t) &= R \cos(t+C), \\ \lambda_2(t) &= R \sin(t+C), \quad R \neq 0.\end{aligned}$$

Die Schaltfunktion und die optimale Steuerung sind

$$\begin{aligned}\sigma(t) &= \lambda_2(t) = R \sin(t+C), \\ u(t) &= -\operatorname{sgn}(\sigma(t)).\end{aligned}$$

Die Schaltpunkte haben daher den Abstand π . Die optimale Trajektorie $x(t)$ setzt sich zusammen aus Lösungen von

5.26

$$\underline{u(t)=1}: \quad \dot{x}_1 = x_2, \quad \dot{x}_2 = -x_1 + 1.$$

Dies sind Kreise um $(1, 0)$:

$$(x_1 - 1)^2 + x_2^2 = \text{const.}$$

$$\underline{u(t)=-1}: \quad \dot{x}_1 = x_2, \quad \dot{x}_2 = -x_1 - 1.$$

Dies sind Kreise um $(-1, 0)$:

$$(x_1 + 1)^2 + x_2^2 = \text{const.}$$

Nummerische Lösung im Phasenraum:

Rückwärtsintegration vom Endpunkt: (vgl. Beispiel (5.18))

(1) $u(t)=1$:

$$\Gamma_+ = \{(x_1, x_2) \in \mathbb{R}^2 \mid (x_1 - 1)^2 + x_2^2 = 1, x_2 \leq 0\}$$

(2) $u(t)=-1$:

$$\Gamma_- = \{(x_1, x_2) \in \mathbb{R}^2 \mid (x_1 + 1)^2 + x_2^2 = 1, x_2 \geq 0\}$$

5.27

die Schaltpunkte liegen im Abstand
n auf der Schaltkurve

5.28

$$S = (\cup \text{ Translation von } \Gamma_-) \cup \\ \cup (\cup \text{ Translation von } \Gamma_+)$$

Synthese-Steuering (feedback -
Steuering)

$$u(x_1, x_2) = \begin{cases} -1, & \text{falls } (x_1, x_2) \text{ oberhalb } S \\ & \text{oder auf } \Gamma_- \\ 1, & \text{falls } (x_1, x_2) \text{ unterhalb } S \\ & \text{oder auf } \Gamma_+ \end{cases}$$

Mit $x = x_1$ gilt dann

$$\ddot{x} + x = u(x, \dot{x}),$$

$$u(t) = u(x(t), \dot{x}(t)).$$

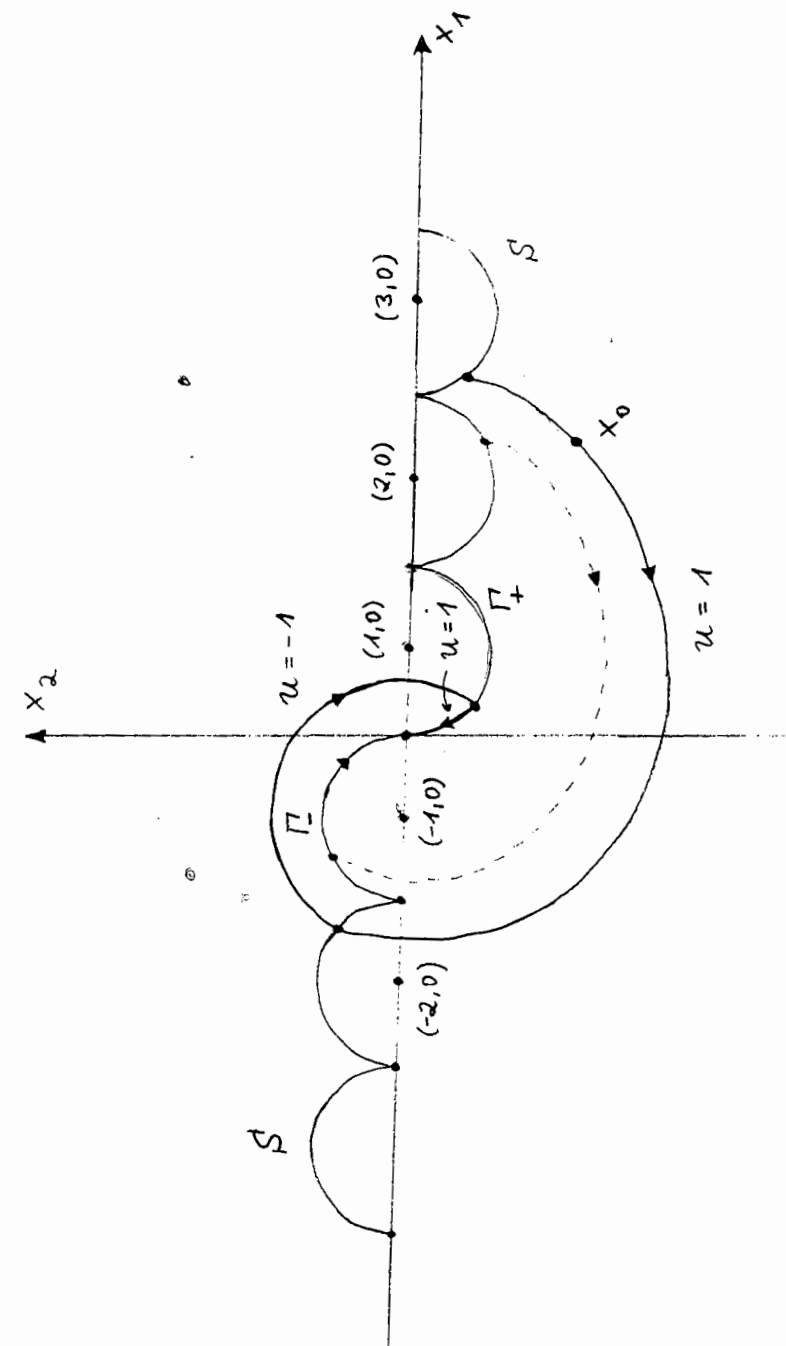


Figure 5.3

5.29

(5.20) Beispiel: vgl. §1, Beispiel (2)
und (4.7) (3): Erzeuger

Problem: Minimiere T unter

$$\dot{x}_1 = x_2,$$

$$\dot{x}_2 = u(t),$$

$$\dot{x}_3 = x_4,$$

$$\dot{x}_4 = -x_3 + u(t),$$

$$x(0) = (0, 0, 0, 0)^T, \quad x(T) = (1, 0, 0, 0)^T,$$

$$-1 \leq u(t) \leq 1.$$

Numerische Lösung: Das System ist normal, also ist jede optimale Steuerung bang-bang.

Die Hamilton-Funktion lautet

$$H = 1 + \lambda_1 x_2 + \lambda_2 u + \lambda_3 x_4 + \lambda_4 (-x_3 + u).$$

5.30

Die adjungierten DGL

$$\dot{\lambda}_1 = 0, \quad \dot{\lambda}_2 = -\lambda_1,$$

$$\dot{\lambda}_3 = \lambda_4, \quad \dot{\lambda}_4 = -\lambda_3$$

haben die Lösung

$$\lambda_1(t) \equiv A, \quad \lambda_2(t) = -At + B,$$

$$\lambda_3(t) = R \sin(t + C),$$

$$\lambda_4(t) = R \cos(t + C),$$

$$A, B, R, C \in \mathbb{R}.$$

Die Schaltfunktion lautet

$$\sigma(t) = \lambda_2(t) + \lambda_4(t)$$

$$= R \cos(t + C) - At + B$$

und die optimale Steuerung ist damit

$$u(t) = -\operatorname{sgn}(\sigma(t)).$$

Zusätzlich gilt nach (5.13) (iii)

$$H|_{t=T} = 1 + G(T) u(T) = 0.$$

Die optimale Steuerung d.h. die Anzahl und Lage der Schaltpunkte, ist nicht analytisch berechenbar und muss daher numerisch berechnet werden.

Numerische Lösung im Zustandsraum: Mit Erfahrung und Intuition macht man den Ansatz

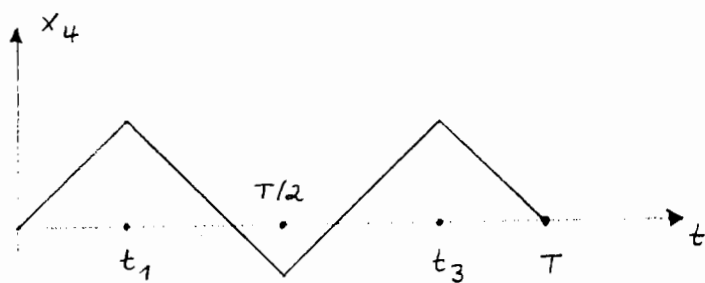
$$u(t) = \begin{cases} 1, & 0 \leq t \leq t_1 \\ -1, & t_1 < t \leq t_2 \\ 1, & t_2 < t \leq t_3 \\ -1, & t_3 < t \leq T \end{cases}$$

Die 4 Parameter t_1, t_2, t_3 (Schaltpunkte) und T sind dann implizit durch die 4 Endbedingungen $x(T) = (1, 0, 0, 0)^T$ bestimmt, indem man die Zustands-DGL mit der vorgegebenen Steuerung integriert. Aus Symmetriegründen gilt hier

$$t_2 = T/2, \quad t_3 = T - t_1,$$

sodass man nur die 2 Parameter t_1, T zu berechnen hat (z.B. mit dem Newton-Verfahren). Man erhält

$$t_1 = 0.8023, \quad T = 4.281.$$



Figur 5.4

Zur Überprüfung der Optimalitätsbedingungen kann man nachträglich die 4 Konstanten A, B, C, R in den adjungierten Variablen berechnen aus

$$\tilde{\sigma}(t_i) = R \cos(t_i + C) - At_i + B = 0, \\ i=1,2,3,$$

$$H|_{t=T} = 1 - \tilde{\sigma}(T) = 0,$$

$$\Rightarrow A = -1.01726, \quad B = -2.17791, \\ C = -0.570160, \quad R = 1.39926.$$

6.2 Zwei PONTRYAGIN'sche
 Zugehörigkeit. Der Zusammenhang $\lambda \in \mathbb{R}$
 bestätigt die Zeile λ_0 und die Spalte λ_0
 ist ein Zeile $\lambda_0 = 0$, sie
 folgt nun von (6.1). Dann gilt
 sei (x^*, u^*) eine optimale
 Minimierungspunktpaar PONTRYAGIN

6.3 Minimierungspunkt der PONTRYAGIN
 Das zugehörige Optimalitätsprinzip lautet
 "Normalfall" gilt $\lambda_0 = 1$.
 0 und 1 annimmt! in
 unterschiedlich, da so nur die Länge
 nicht in Abhängigkeit von H
 bestätigt. Die Zeile λ_0 und
 bestätigt die Spalte λ_0 oder
 dann $g(x(\tau)) + \int_{\tau}^0 f(x(t), u(t)) dt$
 $\geq f(x(\tau), u(\tau))$, $0 \leq \tau \leq T$
 $x(0) = x_0$, $u(\tau) \in U$.
 Minimierungspunkt der PONTRYAGIN (6.2)
 da $dH/dt = 0$ und die
 optimale Steuerung (6.2) wird die
 optimale Zustandsvariable T auf die Art

$$* \lambda(T) = \lambda_0 g_x(x^*(T)) + \varphi \psi_x(x^*(T)).$$

6.5

differenzierbare Funktion

$\lambda: [0, T] \rightarrow \mathbb{R}^n$ und einen
Zeilenvektor $v \in \mathbb{R}^+$ mit
 $(\lambda_0, \lambda(t), v) \neq 0$ für $t \in [0, T]$,

so dass die folgenden Aussagen
gelten:

An allen Stellen $t \in [0, T]$, wo
 $u^*(\cdot)$ stetig ist, gelten die
Minimumbedingung

$$H(t, x^*(t), \lambda(t), u^*(t))$$

$$= \min_{u \in U} H(t, x^*(t), \lambda(t), u)$$

und die adjungierten DGL

$$\dot{\lambda}(t) = -H_x(t, x^*(t), \lambda(t), u^*(t)).$$

Im Endzeitpunkt T gilt die
Transversalitätsbedingung

~~$\rightarrow \lambda(T) = \lambda_0 g_x(x^*(T)) + \varphi \psi_x(x^*(T))$~~

6.4

Im Falle freier Endzeit gilt
für die optimale Endzeit T^*

$$H(T^*, x^*(T^*), \lambda(T^*), u^*(T^*)) = 0.$$

Für autonome Probleme gilt
außerdem

$$H(x^*(t), \lambda(t), u^*(t)) = \text{const.}$$

in $[0, T]$.

Ein Beweis findet sich in KNOBLOCH /
KAPPEL (1974), Kap. VI ; LEE / MARKUS (1967).

Entlang einer optimalen Lösung
 $t, x^*(t), u^*(t), \lambda(t)$ verwenden wir
die Bezeichnungen

$$f(t) = f(t, x^*(t), u^*(t)),$$

$$H(t) = H(t, x^*(t), \lambda(t), u^*(t)), \text{ etc.}$$

6.5

Die adjungierten DGL lauten dann explizit

$$\boxed{\dot{\lambda}(t) = -H_x(t) = -\lambda_0 f_{ox}(t) - \lambda f_x(t)}.$$

Im Falle $\lambda_0 > 0$ kann man $\lambda_0 = 1$ im Minimumprinzip (6.3) setzen, denn die Aussagen in (6.3) bleiben bei einer Skalierung

$$\lambda \rightarrow \lambda/\lambda_0$$

unverändert. Zum Nachweis von $\lambda_0 > 0$ benötigt man zusätzliche Regularitätsannahmen für die optimale Lösung x^*, u^* .

Der "abnormale Fall" $\lambda_0 = 0$ kann bei konkreten Problemen auch dadurch ausgeschlossen werden, daß man den Ansatz $\lambda_0 = 0$

6.6

zum Widerspruch führt. Für eine wichtige Modellklasse kann dies generell durchgeführt werden.

(6.4) Korollar:

Bei freiem Endzustand $x(T)$, d.h. $\psi = 0$, kann $\lambda_0 = 1$ in (6.3) gesetzt werden.

Beweis: Aus dem Ansatz $\lambda_0 = 0$ würde mit $\psi = 0$ in (6.3) folgen

$$\dot{\lambda} = -\lambda f_x(t), \quad \lambda(T) = 0.$$

Diese lineare DGL hat die eindeutig bestimmte Lösung $\lambda(t) = 0$. Damit gilt $(\lambda_0, \lambda(t)) = 0$ im Widerspruch zur Aussage $(\lambda_0, \lambda(t)) \neq 0$ für $t \in [0, T]$ in (6.3). ■

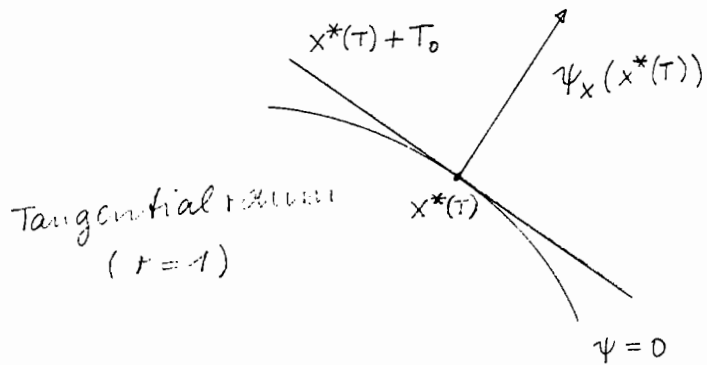
6.7 zur Erläuterung der Transversalitätsbedingungen

$$\lambda(T) = \lambda_0 g_x(x^*(T)) + \nu \psi_x(x^*(T))$$

sei

$$T_0 := \{v \in \mathbb{R}^m \mid \psi_x(x^*(T))v = 0\}$$

der Tangentialraum der Mannigfaltigkeit $\psi(x)=0$ im Punkt $x^*(T)$.



Die Transversalitätsbedingung besagt dann

$$\lambda(T) - \lambda_0 g_x(x^*(T)) \perp T_0.$$

6.8

Bei praktischen Problemen liegt meistens der folgende Spezialfall vor

$$x_i(T) = c_i, \quad i=1, \dots, r, \quad T \leq m$$

$$\Rightarrow \psi(x) = (x_1 - c_1, \dots, x_r - c_r)^T,$$

$$g(x) = g(x_{r+1}, \dots, x_m).$$

Hier erhält man

$$\lambda_i(T) = \nu_i, \quad i=1, \dots, r$$

$$\lambda_i(T) = \lambda_0 g_{x_i}(x^*(T)), \quad i=r+1, \dots, n.$$

Also ist

$$\lambda_i(T) \text{ frei}, \quad i=1, \dots, r.$$

Insgesamt lauten daher die Endbedingungen

$$(6.5) \quad \boxed{\begin{aligned} x_i(T) &= c_i, & i &= 1, \dots, r, \\ \lambda_i(T) &= \lambda_0 g_{x_i}(x^*(T)), & i &= r+1, \dots, n \end{aligned}}$$

Sei nun

$$(6.6) \quad u^*(t, x, \lambda) = \arg \min_{u \in U} H(t, x, \lambda, u)$$

die (nicht notwendig eindeutig bestimmte) Minimalstelle von $H(t, x, \lambda, \cdot)$ bzgl. $u \in U$. Gemäß der Minimumbedingung in (6.3) gilt dann für die optimale Steuerung

$$u^*(t) = u^*(t, x^*(t), \lambda(t)).$$

Die Vorgehensweise zur numerischen Berechnung der optimalen Steuerung besteht nun im folgenden:

man bestimme die Funktion $u^*(t, x, \lambda)$ und löse ein geeignetes Randwertproblem für x, λ

$$\dot{x} = f, \quad \dot{\lambda} = -H_x, \quad x(0) = x_0,$$

Randbedingungen (6.5).

6.9

Diese Vorgehensweise wird in den folgenden Abschnitten an verschiedenen Modellklassen und Beispielen erläutert.

Die notwendigen Optimalitätsbedingungen (6.3) sind unter zusätzlichen Konvexitätsannahmen auch hierreichend. Dazu werde $\lambda_0 = 1$ angenommen. Sei

$$(6.7) \quad H^0(t, x, \lambda) := \min_{u \in U} H(t, x, \lambda, u)$$

die minimierte Hamilton-Funktion.

(6.8) Hierreichende Optimalitätsbedingungen

Sei (x^*, u^*) ein zulässiges Paar für das Problem (6.1).

$\lambda : [0, T] \rightarrow \mathbb{R}^n$ und $\rho \in \mathbb{R}^+$,
 sodaß die Bedingungen von
 (6.2) mit $\lambda_0 = 1$ erfüllt sind.

Zusätzlich sei

- (a) $\psi(x)$ affin-linear,
- (b) $g(x)$ konvex,
- (c) $H^0(t, x, \lambda)$ konvex in x
 für jedes $(t, \lambda(t))$.

Dann ist (x^*, u^*) eine
 optimale Lösung.

Ein Beweis findet sich in
 FEICHTINGER / HARTL (1986), § 2.5,
 § 7.1, Satz 7.1.

* Problem (6.1) mit $f_0 \equiv 0$, d.h.

6.12

$$* \quad \bar{f}(t, \bar{x}, u) = (f_0, \dots, f_n)^T(t, x, u), \\ \bar{x} = (\bar{x}_0), \quad \bar{\varphi}(\bar{x}) = \varphi(x),$$

6.13

6.2 Äquivalente Formulierungen von Steuerprozessen

Zum Verständnis der wesentlichen Beweisideen des Minimumprinzips (6.3) ist es zweckmäßig, den Steuerprozeß (6.1) äquivalent umzuformen. Die dabei erzielten Vereinfachungen sind auch bedeutsam für die numerische Lösung.

Das Problem (6.1) mit $g \equiv 0$, d.h. mit Zielfunktional

$$(6.9) \quad \mathcal{F}(x, u) = \int_0^T f_0(t, x, u) dt,$$

heißt LAGRANGE-Problem; das *

$$(6.10) \quad \mathcal{F}(x, u) = g(x(T)),$$

heißt MAYER-Problem.

(a) Rückführung von (6.1) auf ein MAYER-Problem

Man definiere eine neue Zustandsvariable $x_0(t)$ durch

$$x_0(t) = \int_0^t f_0(s, x(s), u(s)) ds;$$

x_0 genügt der AWA

$$(6.11a) \quad \dot{x}_0 = f_0(t, x, u), \quad x_0(0) = 0.$$

Setzt man

$$\bar{x} = (x_0, x_1, \dots, x_m)^T \in \mathbb{R}^{n+1}, \quad *$$

so ist (6.1) äquivalent zu dem MAYER-Problem

$$\begin{aligned}
 & \text{Minimiere} \\
 & \bar{g}(\bar{x}(T)) = g(x(T)) + x_0(T) \\
 (6.11\text{ b}) \quad & \text{unter } \dot{\bar{x}} = \bar{f}(t, \bar{x}, u) \\
 & \bar{x}(0) = \bar{x}_0, \bar{\psi}(\bar{x}(T)) = 0, \\
 & u(t) \in U
 \end{aligned}$$

(b) Rückführung von (6.1) auf ein LAGRANGE-Problem

Die Endzeit T sei fest, sonst wende man den folgenden Fall (c) an. Definiere eine konstante Funktion $x_0(t)$ durch

$$(6.12\text{ a}) \quad \dot{x}_0 = 0, \quad x_0(T) = g(x(T))/T.$$

Damit wird

$$g(x(T)) + \int_0^T f_0(t, x, u) dt$$

$$= \int_0^T (x_0(t) + f_0(t, x, u)) dt.$$

Mit

$$\bar{x} = (x_0, x_1, \dots, x_n) \in \mathbb{R}^{n+1},$$

$$\bar{f}(t, \bar{x}, u) = (0, f_1, \dots, f_n)^T(t, x, u),$$

$$\bar{f}_0(t, \bar{x}, u) = x_0 + f_0(t, x, u),$$

$$x_0(0) \text{ frei}, \quad x(0) = x_0,$$

$$\bar{\psi}(\bar{x}) = \begin{pmatrix} \psi(x) \\ x_0 - g(x)/T \end{pmatrix}$$

geht (6.1) in ein LAGRANGE-Problem über mit Zielfunktional

$$(6.12\text{ b}) \quad \bar{F}(\bar{x}, u) = \int_0^T \bar{f}_0(t, \bar{x}, u) dt.$$

6.16

(c) Rückführung einer freien Endzeit T auf eine feste Endzeit $\tilde{T}=1$

Man führe eine neue Zeitvariable
 $s \in [0,1]$ ein durch

$$(6.13) \quad t = sT, \quad 0 \leq s \leq 1,$$

und definiere (Verwechslungen bei gleicher Bezeichnung sind nicht zu befürchten)

$$x(s) = x(st), \quad u(s) = u(st), \\ 0 \leq s \leq 1.$$

Bzgl. der Variablen s gilt

$$(6.14) \quad \begin{cases} \frac{dx}{ds} = T \frac{dx}{dt} = T f(sT, x(s), u(s)), \\ g(x(T)) + \int_0^T f_0(t, x(t), u(t)) dt \\ = g(x(1)) + T \int_0^1 f_0(st, x(s), u(s)) ds \end{cases}$$

6.17

Zusätzlich benötigt man die Zustandsvariable $x_{n+1}(s) \equiv T$, für die

$$\frac{dx_{n+1}}{ds} = 0, \quad x_{n+1}(0), x_{n+1}(1) \text{ frei.}$$

Für $\bar{x}(s) = \begin{pmatrix} x(s) \\ x_{n+1}(s) \end{pmatrix} \in \mathbb{R}^{n+1}$ erhält man dann einen Steuerprozeß mit fester Endzeit $\tilde{T}=1$ und Randbedingungen

$$x(0) = x_0, \quad x_{n+1}(0) \text{ frei,} \\ \bar{\psi}(\bar{x}(1)) = \psi(x(T)) = 0.$$

Beispiel: Das zeitoptimale Problem (1.1)

$$\min T$$

$$\begin{aligned} \dot{x}_1 &= x_2, \\ \dot{x}_2 &= u, \quad x(0) = x_0, \quad x(T) = \begin{pmatrix} 0 \\ 0 \end{pmatrix}, \\ -1 < u(t) < 1 & \quad 0 \leq t \leq T \end{aligned}$$

6.18

wird mit $x_3(s) = T$ transformiert
zu

$$\min x_3(1)$$

$$\begin{aligned}\dot{x}_1 &= x_3 \cdot x_2, \quad (x_1(0)) = x_0, \quad (x_1(1)) = 0, \\ \dot{x}_2 &= x_3 \cdot u, \quad (x_2(0)) = 0, \quad (x_2(1)) = 0,\end{aligned}$$

$$-1 \leq u(s) \leq 1, \quad 0 \leq s \leq 1.$$

(d) Rückführung von nichtautonomen auf autonome Systeme

Gemäß (c) kann man sich auf eine feste Endzeit T beschränken.
Man definiert die neue Zustandsvariable $x_{n+1}(t) \equiv t$, also

$$(6.15) \quad \dot{x}_{n+1} = 1, \quad x_{n+1}(0) = 0.$$

Für $\bar{x} = (x_1, \dots, x_n, x_{n+1})^T \in \mathbb{R}^{n+1}$

6.19

gewinnt man so ein autonomes Problem mit

$$\bar{f}_0(\bar{x}, u) = f_0(x_{n+1}, x, u),$$

$$\bar{f}(\bar{x}, u) = \begin{pmatrix} f(x_{n+1}, x, u) \\ 1 \end{pmatrix},$$

$$\bar{x}(0) = \begin{pmatrix} x_0 \\ 0 \end{pmatrix}, \quad \bar{\psi}(\bar{x}) = \psi(x).$$

Aufgrund der Überlegungen in (a)-(d) kann man statt (6.1) das folgende autonome Problem in \mathbb{R}^{n+1} mit fester Endzeit T betrachten

(6.16)

$\text{Minimiere } \bar{F}(x, u) = x_0(T)$ $\text{unter } \dot{x} = \bar{f}(x, u),$ $x(0) = x_0, \quad \psi(x(T)) = 0,$ $u(t) \in U.$
--

* Bei nichtlinearen Prozessen (6.17) ist $K(t)$ i.a. nicht konvex, auch

6.20

* werden mit $\dot{x}(t; s, a)$ berechnet.

Für $q = x^*(s)$ gilt $\dot{x}^*(t) = \dot{x}(t; s, x^*(s))$.

6.21

Zur Vereinfachung ist hierbei allerdings im Gegensatz zu den Fällen (b), (c) auch der Anfangszustand fest gegeben.

6.3 Der Erreichbarkeitskegel

Gegeben sei der autonome Steuerprozess in \mathbb{R}^n

$$(6.17) \quad \dot{x} = f(x, u), \quad x(0) = x_0, \\ u(t) \in U.$$

Die zugehörige erreichbare Menge im Zeitpunkt $t \in [0, T]$ ist

$$K(t) = \{x \in \mathbb{R}^n \mid \text{es gibt } u: [0, t] \rightarrow U \text{ mit } x(t) = x\}.$$

Bei nichtlinearen *

wenn U konvex ist. In einem Punkt $x^* \in K(t)$ sucht man daher eine konvexe Approximation von $K(t)$. Sei dazu $x^*(\cdot), u^*(\cdot)$ eine feste Trajektorie von (6.17). Ziel ist nun die Approximation von $K(t)$ in $x^*(t)$ durch einen konvexen Kegel

$$x^*(t) + K_t,$$

K_t : Erreichbarkeitskegel.

Zur Beschreibung von K_t benötigt man einige Resultate aus der Theorie der Differentialgleichungen.

Die Lösung der AWA

$$\dot{x} = f(x, u^*(t)), \quad x(s) = a$$

* 1., ..., .

6.22

Sei $\phi(t, s)$ die Übergangsmatrix zu dem homogenen System von linearen DGL (Variationsgleichung)

$$\dot{y} = A(t) y,$$

$$A(t) := f_x(x^*(t), u^*(t))$$

stückweise stetig.

ϕ ist stetig und stückweise stetig differenzierbar und erfüllt die AWA

$$\dot{\phi} = A(t) \phi, \quad \phi(s, s) = I.$$

Es besteht dann die Beziehung
(vgl. KNOBLOCH / KAPPEL, Kap. III, §3)

$$(6.18) \quad \frac{\partial x}{\partial a}(t; s, a^*) = \phi(t, s), \quad a^* = x^*(s).$$

Für eine C^1 -Kurve $a(\varepsilon) \in \mathbb{R}^n$, $\varepsilon \in [-\delta, \delta]$,

6.22

6.23

mit

$$\frac{da}{d\varepsilon}(0) = v \in \mathbb{R}^n$$

folgt daraus

$$(6.19) \quad \left. \frac{dx(t; s, a(\varepsilon))}{d\varepsilon} \right|_{\varepsilon=0} = \phi(t, s)v.$$

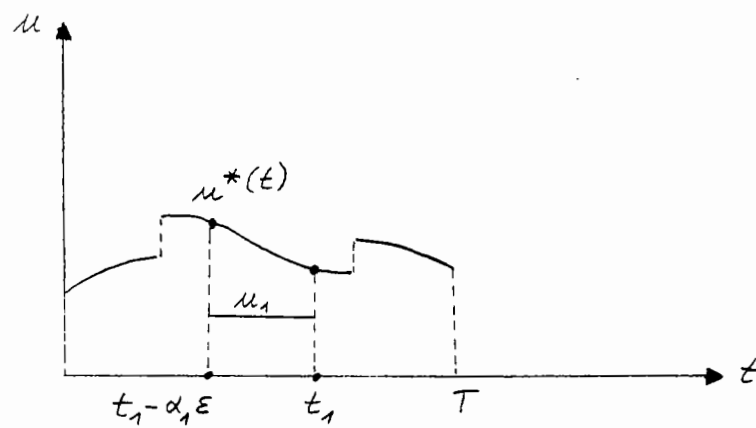
Sei nun $u^*(t)$ stetig in $t_1 \in (0, T)$; ein solcher Punkt t_1 heißt regulär. Zu vorgegebenen Störungsdaten

$$\pi_1 := (t_1, \alpha_1, u_1), \quad \alpha_1 \geq 0, \quad u_1 \in \mathcal{U},$$

betrachten wir die folgende Störung der Funktion $u^*(t)$ zu $\varepsilon > 0$:

$$(6.20) \quad u_{\pi_1}(t, \varepsilon) = \begin{cases} u_1, & t_1 - \alpha_1 \varepsilon \leq t \leq t_1 \\ u^*(t) & \text{sonst} \end{cases}$$

6.24



Die zu $u_{\pi_1}(t, \varepsilon)$ gehörige Trajektorie sei $x_{\pi_1}(t, \varepsilon)$ mit $x_{\pi_1}(0, \varepsilon) = x_0$.

(6.21) Hilfssatz: Für $t \geq t_1$ gilt

$$\boxed{\begin{aligned} & \frac{\partial x_{\pi_1}}{\partial \varepsilon}(t, 0) \\ &= \alpha_1 \phi(t, t_1) \left\{ f(x^*(t_1), u_1) - f(x^*(t_1), u^*(t_1)) \right\}. \end{aligned}}$$

Beweis: Die Stetigkeit von $u^*(t)$ in t_1 bewirkt, daß

6.25

$$\begin{aligned} x_{\pi_1}(t_1, \varepsilon) &= x^*(t_1 - \alpha_1 \varepsilon) \\ &+ \int_{t_1 - \alpha_1 \varepsilon}^{t_1} f(x_{\pi_1}(s, \varepsilon), u_1) ds \\ &= x^*(t_1) - \alpha_1 \varepsilon \dot{x}^*(t_1) \\ &+ \alpha_1 \varepsilon \{ f(x^*(t_1 - \alpha_1 \varepsilon), u_1) - f(x^*(t_1), u^*(t_1)) \} + o(\varepsilon) \\ &= x^*(t_1) + \varepsilon \alpha_1 \left\{ f(x^*(t_1 - \alpha_1 \varepsilon), u_1) - f(x^*(t_1), u^*(t_1)) \right\} + o(\varepsilon), \end{aligned}$$

also

$$\frac{\partial x_{\pi_1}}{\partial \varepsilon}(t_1, 0) = \alpha_1 \left\{ f(x^*(t_1), u_1) - f(x^*(t_1), u^*(t_1)) \right\}.$$

Mit (6.19) folgt dann

$$\frac{\partial x_{\pi_1}}{\partial \varepsilon}(t, 0) = \phi(t, t_1) \frac{\partial x_{\pi_1}}{\partial \varepsilon}(t_1, 0)$$

und damit die Beh.. ■

6.26

zu k regulären Punkten
 $t_1, \dots, t_k \in (0, T)$, $t_i < t_{i+1}$, definiert
 man Störungsdaten

$$\pi = (t_1, \dots, t_k, \alpha_1, \dots, \alpha_k, u_1, \dots, u_k),$$

$$\alpha_i \geq 0, u_i \in U \quad (i=1, \dots, k).$$

Setze dann für $\varepsilon > 0$ hinreichend klein

$$u_\pi(t, \varepsilon) = \begin{cases} u_i, & t_i - \alpha_i \varepsilon \leq t \leq t_i, \\ & (i=1, \dots, k) \\ u^*(t) & \text{sonst.} \end{cases}$$

Für die zugehörige Trajektorie
 $x_\pi(t, \varepsilon)$ zeigt man induktiv
 für $t \geq t_k$:

$$(6.22) \quad \frac{\partial x_\pi}{\partial \varepsilon}(t, 0) = \sum_{i=1}^k \alpha_i \phi(t, t_i) \left\{ f(x^*(t_i), u_i) - f(x^*(t_i), u^*(t_i)) \right\}.$$

6.27

Dies motiviert die folgende

(6.23) Definition: Sei $t \in (0, T)$. Der
 zur Trajektorie $x^*(\cdot), u^*(\cdot)$ ge-
 hörende Erreichbarkeitskegel K_t
 von $K(t)$ im Punkte $x^*(t)$ ist
 die Menge

$$\left\{ \sum_{i=1}^k \alpha_i \phi(t, t_i) \left\{ f(x^*(t_i), u_i) - f(x^*(t_i), u^*(t_i)) \right\} \mid \right.$$

$$\left. \alpha_i \geq 0, u_i \in U, t_i \in (0, t) \text{ regulär,} \right.$$

$$\left. i=1, \dots, k, k \in \mathbb{N} \right\}.$$

K_t ist ein konvexer Kegel, erzeugt
 von den Vektoren $\phi(t, t_i)v$ mit
 $v = f(x^*(t_i), u_i) - f(x^*(t_i), u^*(t_i))$.
 Nach (6.22) gibt es zu $v \in K_t$ eine
 Kurve

$$(6.24) \quad \boxed{x(t, \varepsilon) = x^*(t) + \varepsilon v + \sigma(\varepsilon) \in K(t),}$$

$$0 \leq \varepsilon \leq \varepsilon_0(v).$$

6.4 Beweis des Minimumprinzips in einem Spezialfall

Wir legen den zu (6.1) äquivalenten Steuerprozeß (6.16) in \mathbb{R}^{n+1} zu grunde und nehmen zusätzlich an, daß der Endzustand $x(T)$ fix ist:

$$(6.15) \quad \begin{aligned} & \text{Minimiere } F(x, u) = x_0(T) \\ & \text{unter } \dot{x} = f(x, u), \quad x(0) = x_0 \\ & \quad u(t) \in \mathcal{U}, \quad 0 \leq t \leq T \end{aligned}$$

Sei $x^*(\cdot)$, $u^*(\cdot)$ eine optimale Lösung und sei $K_t \subset \mathbb{R}^{n+1}$ der Erreichbarkeitskegel (6.23) von $K(t)$ in $x^*(t)$, $0 < t \leq T$.

Das Minimumprinzip beruht auf der einfachen Aussage, daß $v_0 = (1, 0, \dots, 0) \notin K_T$

Zum Beweis dieser Aussage beachte man, daß nach (6.24) eine Kurve

$$x(T, \varepsilon) = x^*(T) + \varepsilon v_0 + o(\varepsilon) \in K(T),$$

$$0 \leq \varepsilon \leq \varepsilon_0(v_0)$$

existiert. Nach Definition von v_0 besagt dies

$$x_0(T, \varepsilon) = x_0^*(T) - \varepsilon + o(\varepsilon) < x_0^*(T)$$

für $\varepsilon > 0$ klein

im Widerspruch zur Minimalität von $x_0^*(T)$. Also gilt $v_0 \notin K_T$.

Nach dem Trennungssatz für konvexe Mengen (vgl. etwa KNOBLOCH / KAPPEL, Kap VI, §2) gibt es einen Zeilenvektor $\lambda^* \in \mathbb{R}^{n+1}$, $\lambda^* \neq 0$, mit

$$\lambda^* v \geq 0 \quad \text{für alle } v \in K_T$$

$$\lambda^* v = -\lambda^* \leq 0, \quad \text{d. h. } \lambda_0^* \geq 0.$$

$$*\ H(x^*(t), \lambda(t), u^*(t)) = \min_{u \in U} H(x^*(t), \lambda(t), u)$$

(6.28)

* (6.28) für alle $t \in [0, T]$ gilt; dann führt man einen Grenzübergang $t_k \rightarrow t$ t_k regulär.

6.30

Nach Def. (6.23) heißt dies

$$(6.26) \quad \begin{aligned} & \lambda^* \phi(T, t) \{ f(x^*(t), u) \\ & - f(x^*(t), u^*(t)) \} \geq 0 \end{aligned}$$

für alle $u \in U$, $t \in (0, T)$ regulär.

Wie im Fall linearer Steuerprozesse (vgl. (5.8)) führt man die adjungierte Variable ein durch

$$(6.27) \quad \lambda(t) := \lambda^* \phi(T, t).$$

Für die HAMILTON-Funktion

$$H(x, \lambda, u) = \lambda f(x, u)$$

ergibt sich damit aus (6.26) die Minimumbedingung in Satz (6.3) für t regulär: *

Die adjungierte Variable genügt der DGL

$$(6.29) \quad \begin{aligned} \dot{\lambda} &= -\lambda f_x(x^*(t), u^*(t)) \\ &= -H_x(x^*(t), \lambda, u^*(t)). \end{aligned}$$

Für die Funktion

$$H(t) = H(x^*(t), \lambda(t), u^*(t))$$

zeigen wir nun

- (a) $H(t)$ ist stetig in $[0, T]$,
- (b) $\dot{H}(t) = 0$ für t regulär.

Hieraus folgt dann

$$H(t) = \text{const. in } [0, T].$$

Zunächst überlegt man, daß die Ungleichung (6.26) und damit *

** (178) d.h. $\sim \partial H / \partial u \neq 0$ gilt.

6.32

durch. Für $t, t_0 \in [0, T]$ folgt
dann aus (6.28)

$$\begin{aligned} & H(x^*(t), \lambda(t), u^*(t)) \\ & - H(x^*(t_0), \lambda(t_0), u^*(t_0)) \\ (6.30) \quad & \geq H(t) - H(t_0) \\ & \geq H(x^*(t), \lambda(t), u^*(t)) \\ & - H(x^*(t_0), \lambda(t_0), u^*(t)). \end{aligned}$$

Also ist $H(t)$ stetig in t_0 , da $x^*(t), \lambda(t)$ stetig sind.

Betrachte nun die
Funktion

$$h(t, u) = H(x^*(t), \lambda(t), u), u \in U.$$

Unter Benutzung der adjungierten
DGL (6.29) erhält man

6.33

$$\begin{aligned} \frac{\partial h}{\partial t}(t, u^*(t)) &= H_x(t) \dot{x}^*(t) + H_\lambda(t) \dot{\lambda}(t)^T \\ &= H_x(t) H_\lambda(t)^T + H_\lambda(t) (-H_x(t)^T) \\ &= 0. \end{aligned}$$

Die Abschätzung (6.30) zeigt dann zusammen mit dem Mittelwertsatz die Aussage: zu $t_0 < t$ gibt es t_1, t_2 zwischen t und t_0 mit

$$\begin{aligned} \frac{\partial h}{\partial t}(t_1, u^*(t_0)) &\geq \frac{H(t) - H(t_0)}{t - t_0} \\ &\geq \frac{\partial h}{\partial t}(t_2, u^*(t)). \end{aligned}$$

Für $t \rightarrow t_0$ konvergieren die linke und rechte Seite gegen Null, also gilt $\dot{h}(t_0) = 0$. Damit ist Satz (6.3) für das spezielle Problem (6.25) gezeigt.

Der Beweis von (6.3) im
Fall $\exists \tau \in [0, T] \text{ mit } \lambda(\tau) = 0$

formuliert ähnliche Ideen, ist jedoch technisch wesentlich schwieriger;
 vgl. KNOBLOCH / KAPPEL, S. 289,
 §. 1 & 4.1.

Zur Übertragung der Ergebnisse für das spezielle Problem (6.25) auf das allgemeine Programm (6.1) ist es erforderlich, die äquivalenten Transformationen (a)-(d) in § 6.2 nüchternig zu machen. Beispielsweise wird man für das Zielfunktional

$$F(x, u) = \int_0^T f_0(t, x, u) dt = x_0(T)$$

mit $x(t) \in \mathbb{R}^n$ auf die HAMILTON-Funktion

$$H(t, x, \lambda, u) = \lambda_0 f_0(t, x, u) + \lambda f(t, x, u)$$

geführt mit $\lambda_0 \geq 0$. Im Falle $\lambda_0 > 0$ kann hier $\lambda_0 = 1$ gesetzt werden.

7.1

§7 Probleme mit linear auftretender Steuerung: bang-bang und singuläre Steuerungen

Ausgehend von dem Steuerprozess (6.1) betrachten wir nun eine Modellklasse, bei der die Steuerung u linear in der Dynamik und in Zielfunktional auftaucht:

$$f(t, x, u) = a(t, x) + b(t, x)u,$$

$a(t, x)$ $n \times 1$ Vektor,

$b(t, x)$ $n \times m$ Matrix,

$$f_0(t, x, u) = a_0(t, x) + b_0(t, x)u,$$

$a_0(t, x)$ skalar

$b_0(t, x)$ $1 \times m$ Vektor.

Für den Steuerbereich gelte
 u konvex, kompakt.

7.2

Diese Modellklasse enthält die in §5 behandelten zeitoptimalen linearen Steuerprozesse als Spezialfall.

Im folgenden sei eine optimale Lösung mit $x(\cdot), u(\cdot)$ bezeichnet und es gelte $\lambda_0 = 1$ im Minimumsprinzip (6.2). Die Hamilton-Funktion ist (affin)-linear bzgl. u und hat die Form

$$\begin{aligned} H(t, x, \lambda, u) &= f_0(t, x, u) + \lambda f(t, x, u) \\ &= a_0(t, x) + \lambda a(t, x) \\ &\quad + [b_0(t, x) + \lambda b(t, x)]u. \end{aligned} \tag{7.1}$$

Die Schaltfunktion wird definiert durch

$$\begin{aligned} \mathcal{G}(t, x, \lambda) &:= H_u(t, x, \lambda, u) \\ (7.2) \quad &= b_0(t, x) + \lambda b(t, x), \end{aligned}$$

$$\begin{aligned} \mathcal{G}(t) &:= \mathcal{G}(t, x(t), \lambda(t)) \\ &= (\mathcal{G}_1(t), \dots, \mathcal{G}_m(t)). \end{aligned}$$

Die Minimierung der Hamilton-Funktion

$$\begin{aligned} H(t, x(t), \lambda(t), u(t)) \\ = \min_{u \in \mathcal{U}} H(t, x(t), \lambda(t), u), \quad t \in [0, T], \end{aligned}$$

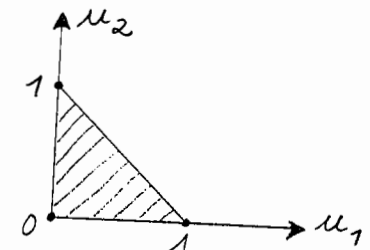
ist dann äquivalent zu dem
linearen Optimierungsproblem

$$(7.3) \quad \boxed{\min_{u \in \mathcal{U}} \mathcal{G}(t) u = \mathcal{G}(t) u(t)}$$

für alle $t \in [0, T]$

Typische Beispiele für einen konvexen, kompakten Steuerbereich $\mathcal{U} \subset \mathbb{R}^m$ sind:

- (1) $m=1$: $\mathcal{U} = [a, b] \subset \mathbb{R}$ Intervall,
- (2) $m \geq 1$: $\mathcal{U} = \{u \in \mathbb{R}^m \mid a_i \leq u_i \leq b_i, a_i, b_i \in \mathbb{R}, i=1, \dots, m\}$ Quader,
- (3) $m=2$: \mathcal{U} Simplex



Zur Vereinfachung beschränken wir uns nun auf den Fall

$$m=1: \mathcal{U} = [a, b] \subset \mathbb{R} \text{ Intervall.}$$

Hier reduziert sich (7.3) auf

* Allen von $\tilde{G}(t)$ liegen Schaltpunkte.

* Sorgfältige Struktur ausgeschlossen werden

7.5

$$\min_{u \in [a,b]} \tilde{G}(t)u = G(t)u(t)$$

und daher ist die optimale Steuerung gegeben durch

$$(7.4) \quad u(t) = \begin{cases} a & \tilde{G}(t) > 0 \\ b & \tilde{G}(t) < 0 \\ \text{unbestimmt} & \tilde{G}(t) = 0 \end{cases}$$

(7.5) Definition: Sei $[t_1, t_2] \subset [0, T]$, $t_1 < t_2$.

(i) $u(t)$ heißt bang-bang in $[t_1, t_2]$, wenn $\tilde{G}(t)$ in $[t_1, t_2]$ nur isolierte Nullstellen hat, d.h. $u(t) \in \{a, b\}$. Die Null-

*

7.6

(ii) $u(t)$ heißt singulär in $[t_1, t_2]$, falls $\tilde{G}(t) \equiv 0$ in $[t_1, t_2]$. Die Zeitpunkte t_1, t_2 heißen Verbindungs-punkte, falls $u(t)$ bang-bang in $[t_1 - \varepsilon, t_2 + \varepsilon]$ für $\varepsilon > 0$ geeignet.

Bei zeitoptimalen linearen Steuerprozessen garantierte die Normalitätsbedingung in (5.16)(ii) bzw. (5.17), daß die optimale Lösung bang-bang (in $[0, T]$) ist und keine singulären Teilstücke enthält. Hingegen gibt es bei der vorliegenden allgemeinen Modellklasse kein Kriterium für bang-bang-Steuerungen; nur in speziellen Fällen können

*

..

7.7

(7.6) Beispiel: Maschinenreparatur-Problem

Es bedeuten

T : Nutzungsdauer einer Maschine oder Anlage,

$x(t)$: Qualität oder Zustand zur Zeit t , $0 \leq x(t) \leq 1$,

$u(t)$: Steuerung, die den Reparaturaufwand oder die Wartungskosten ausdrückt,

$$0 \leq u(t) \leq \bar{u},$$

δ : Verschleiß- oder Abnutzungsrate der Maschine,

g : Reparatureffektivitäts-Koeffizient,

π : Produktionsrate der Maschine.

Damit lautet das Modell

7.8

$$\text{max. } J = \int_0^T (\pi x(t) - u(t)) dt$$

$$\text{unter } \dot{x} = -\delta x + g u,$$

$$x(0) = 1,$$

$$0 \leq u(t) \leq \bar{u}.$$

Setzt man zusätzlich voraus

$$g \bar{u} < \delta,$$

so folgt

$$x(t) \in [0,1] \text{ für } t \in [0,T].$$

Der Endzustand $x(T)$ ist frei, also kann man $\lambda_0 = 1$ in der Hamilton-Funktion setzen:

$$H = -(\pi x - u) + \lambda (-\delta x + g u)$$

$$= -(\pi + \delta \lambda) x + (1 + g \lambda) u.$$

7.9

Die adjungierte DGL

$$\dot{\lambda} = -H_x = \pi + \delta \lambda,$$

$$\lambda(T) = 0$$

hat die Lösung

$$\lambda(t) = \frac{\pi}{\delta} \left(e^{\delta(t-T)} - 1 \right).$$

Die Schaltfunktion

$$\sigma(t) = 1 + g \lambda(t)$$

ist daher streng monoton wachsend in $[0, T]$ und hat höchstens eine Nullstelle $t_1 \in [0, T]$. Wegen $\lambda(T) = 0$, $\sigma(T) = 1$ ist die optimale bang-bang-Steuerung gegeben durch

$$u(t) = \begin{cases} \bar{u}, & 0 \leq t \leq t_1 \\ 0, & t_1 < t \leq T \end{cases}$$

7.10

Die isolierte Nullstelle t_1 von $\sigma(t)$ ergibt sich zu

$$t_1 = T + \frac{1}{\delta} \ln \left(1 - \frac{\delta}{\pi g} \right).$$

Damit t_1 wohldefiniert ist und $t_1 \in (0, T)$ gilt, muß man voraussetzen

$$\delta < \pi g, \quad \frac{1}{\delta} \ln \left(1 - \frac{\delta}{\pi g} \right) < T.$$

Die Steuerung $u(t)$ und die zugehörige Trajektorie

$$x(t) = \begin{cases} \frac{g \bar{u}}{\delta} + \left(1 - \frac{g \bar{u}}{\delta} \right) e^{-\delta t}, & 0 \leq t \leq t_1 \\ x(t_1) e^{-\delta(t-t_1)}, & t_1 < t \leq T \end{cases}$$

sind optimal, da die hinreichenden Optimalitätsbedingungen (6.8) erfüllt sind.

7.11

Singuläre Steuerungen können dann auftreten, wenn die Zustandsvariable x nichtlinear in die Hamilton-Funktion eingeht.

(7.7) Beispiel:

$$\text{Minimiere } \frac{1}{2} \int_0^T x^2 dt$$

$$\text{unter } \dot{x} = u, \quad x(0) = 1, \quad x(T) = 1 \\ -1 \leq u \leq 1.$$

Die Anwendung des Minimumprinzips ergibt

$$H = \frac{1}{2} x^2 + \lambda u,$$

$$\dot{x} = -H_x = -x,$$

$$\delta = \delta(t, x, \lambda) = 2 \quad \text{Schaltfunktion}$$

7.12

$$u(t) = \begin{cases} -1, & \lambda(t) > 0 \\ 1, & \lambda(t) < 0 \\ \text{singulär}, & \lambda(t) \equiv 0 \end{cases}$$

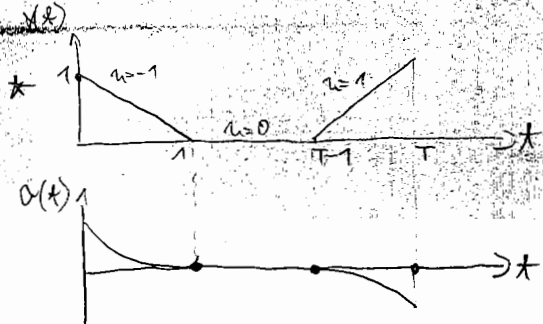
Berechnung der singulären Steuerung:

$$\delta(t) = \lambda(t) \equiv 0$$

$$\Rightarrow \delta^{(1)} := \frac{d \delta}{dt} = \dot{\lambda} = -\dot{x} = 0$$

$$\Rightarrow \delta^{(2)} := \frac{d \delta^{(1)}}{dt} = -\ddot{x} = -\dot{u} = 0.$$

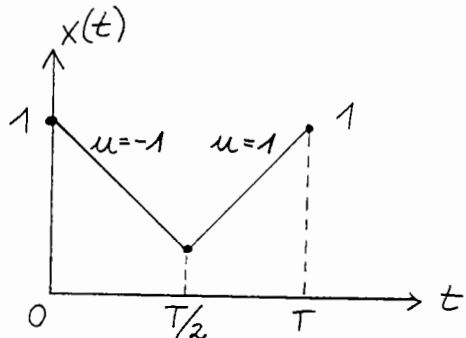
Also ist $u(t) = 0$ die singuläre Steuerung. Jedoch kann a priori nicht entschieden werden, ob eine singuläre Steuerung tatsächlich auftritt; dies hängt entscheidend von der Endzeit T und den Randwerten ab."



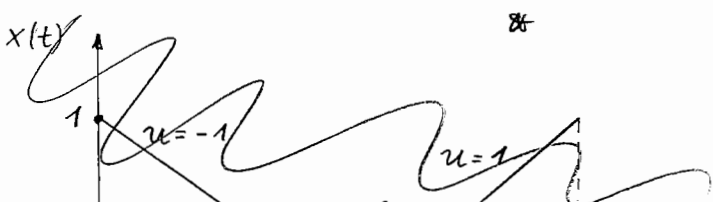
7.13

Im vorliegenden Fall kann man die optimale Lösung sofort erraten:

$T \leq 2$: bang-bang Steuerung



$T > 2$: bang-singular-bang Steuerung



* Die Funktionen f_0, f_1 seien hinreichend oft stetig.
Nach Def. gilt für eine singuläre

7.14

Die Lösung ist analytisch:

$$x(t) = \begin{cases} 1-t, & 0 \leq t \leq 1 \\ 0, & 1 \leq t \leq T-1 \\ t-(T-1), & T-1 \leq t \leq T \end{cases}$$

$$\lambda(t) = \begin{cases} \frac{1}{2}(t-1)^2, & 0 \leq t \leq 1 \\ 0, & 1 \leq t \leq T-1 \\ -\frac{1}{2}(t-T+1)^2, & T-1 \leq t \leq T \end{cases}$$

$$\dot{\xi}(t) = \lambda(t), \quad \dot{\xi}(1) = \dot{\xi}(1) = 0.$$

* Das vorige Beispiel zeigt bereits die prinzipielle Methode zur Bezeichnung singulärer Steuerungen.

7.15

Steuerung

$$\tilde{\sigma}(t) = \tilde{\sigma}(t, x(t), \lambda(t)) = 0$$

in $[t_1, t_2] \subset [0, T]$.

Man definiert Funktionen

$$\tilde{\sigma}^{(k)}, \quad 0 \leq k \leq \bar{k} \leq \infty$$

durch:

$$(a) \quad \tilde{\sigma}^{(0)} := \tilde{\sigma}(t, x, \lambda)$$

- (b) für $k \geq 0$ sei $\tilde{\sigma}^{(k)}$ definiert und
 $\tilde{\sigma}^{(k)} = \tilde{\sigma}^{(k)}(t, x, \lambda)$ sei unabh-
 ängig von u , d.h.

$$\frac{\partial \tilde{\sigma}^{(k)}}{\partial u} \equiv 0.$$

Setze

$$\tilde{\sigma}^{(k+1)} = \frac{d \tilde{\sigma}^{(k)}}{dt} = \tilde{\sigma}_t^{(k)} + \tilde{\sigma}_x^{(k)} \dot{x} + \tilde{\sigma}_\lambda^{(k)} \dot{\lambda}.$$

~~Entweder~~ Entweder gilt dann

$$\star \quad \boxed{\tilde{\sigma}(t) = -\frac{A(t, x(t), \lambda(t))}{B(t, x(t), \lambda(t))}}$$

7.16

$$\tilde{\sigma}_u^{(k)} \equiv 0 \quad \forall k \geq 0$$

oder

$$\tilde{\sigma}_u^{(k)} \equiv 0, \quad k=0, \dots, \bar{k}-1, \quad (\bar{k} \geq 1),$$

$$\tilde{\sigma}_u^{(\bar{k})} \not\equiv 0.$$

Für $\bar{k} < \infty$ gilt

$$\tilde{\sigma}^{(\bar{k})} = A(t, x, \lambda) + B(t, x, \lambda) u,$$

da u linear auftritt. Eine singuläre Steuerung $u(t)$ ist also charakterisiert durch

$$(7.8) \quad \begin{aligned} \tilde{\sigma}^{(k)}(t, x(t), \lambda(t)) &= 0, \quad k=0, \dots, \bar{k}-1, \\ \tilde{\sigma}^{(\bar{k})}(t, x(t), \lambda(t), u(t)) &= 0. \end{aligned}$$

Im Falle $B(t, x(t), \lambda(t)) \neq 0$ folgt

(7.10) Satz:

(i) Ist $\bar{k} < \infty$, so ist $\bar{k} = 2q$ eine gerade Zahl. Die Zahl $q \geq 1$ heißt die Ordnung der singulären Steuerung.

(ii) Für eine optimale Lösung $x(t)$, $u(t)$, $\lambda(t)$ gilt die verallgemeinerte Legendre-Clebsch-Bedingung

$$\begin{aligned} 0 &\leq (-1)^q B(t, x(t), \lambda(t)) \\ &= (-1)^q \frac{\partial}{\partial u} \left[\frac{d^{2q}}{dt^{2q}} H_u(t) \right]. \end{aligned}$$

Für den schwierigen Beweis verweisen wir auf KNOBLOCH (1981).

Die Ordnung q hängt nicht von der Endzeit T und den

Randbedingungen ab. Im Beispiel (7.7) hat man

$$G^{(0)} = G = \lambda,$$

$$G^{(1)} = \dot{\lambda} = -x,$$

$$G^{(2)} = -\ddot{x} = -u, \quad \bar{k} = 2, \quad q = 1,$$

$$A(t, x, \lambda) = 0, \quad B(t, x, \lambda) = -1, \quad u = 0,$$

$$(-1)^q B = 1 > 0.$$

Bei speziellen Problemen ist es möglich, aus den Gleichungen $G^{(k)}(t, x(t), \lambda(t)) = 0$, $k = 0, \dots, 2q-1$

eine Gleichung im Zustandsraum der Form

$$(7.11) \quad S(t, x(t)) = 0$$

mit $S: \mathbb{R}^{n+1} \rightarrow \mathbb{R}$ zu bestimmen.

Im Falle $n=1$ kann man die Gleichung (7.11) auf einfache Weise mit Hilfe des GREEN'schen Integralsatzes berechnen; vgl. FEICHTINGER / HARTL (1986), §3.3.

Die optimale Lösung besteht dann in einer "raschest möglichen Annäherung" der singulären Trajektorie.

(7.12) Beispiel: Optimales Fischen

Mit den in §1, Beispiel (3), gegebenen Bezeichnungen lautet das Modell

$$\max \int_0^T e^{-\delta t} (p - c(x(t))) u(t) dt$$

unter $\dot{x} = w(x) - u(t)$, $0 \leq t \leq T$,

$$x(0) = x_0,$$

$$x(T) \text{ frei oder } x(T) = x_T,$$

$$0 \leq u(t) \leq u_{\max}.$$

Die Hamilton-Funktion ist hier

$$H = -e^{-\delta t} (p - c(x)) u + \lambda (w(x) - u)$$

und die adjungierte DGL ergibt sich zu

$$\dot{\lambda} = -H_x = -e^{-\delta t} c'(x) u - \lambda w'(x).$$

Die Schaltfunktion lautet

$$\sigma(t, x, \lambda) = -e^{-\delta t} (p - c(x)) - \lambda.$$

Singuläre Steuerungen treten auf, wenn

$$\sigma(t) \equiv 0, \quad t_1 \leq t \leq t_2.$$

Durch Differentiation erhält man unter Benutzung von $\dot{\sigma} = 0$:

7.21

$$\begin{aligned}
 \dot{\zeta} &= \delta e^{-\delta t} (p - c(x)) + e^{-\delta t} c'(x) (w(x) - u) \\
 &\quad + e^{-\delta t} c'(x) u + \lambda w'(x) \\
 &= \delta e^{-\delta t} (p - c(x)) + e^{-\delta t} c'(x) w(x) \\
 &\quad + \lambda w'(x) \\
 &= e^{-\delta t} [\delta(p - c(x)) + c'(x) w(x) \\
 (5=0) \quad &\quad - (p - c(x)) w'(x)] \\
 &\equiv 0.
 \end{aligned}$$

Also gilt

$$p - c(x) = \frac{1}{\delta} [(p - c(x)) w(x)]'$$

Diese Gleichung besitze eine (ein-deutige) Gleichgewichtslösung x_δ .
Bzgl. einer marginalen Inter-

7.22

interpretation dieser Gleichung vergleiche man CLARK (1976), p. 42. Die singuläre Steuerung ergibt sich wegen $x(t) \equiv x_\delta$ aus

$$\begin{aligned}
 \dot{x} &= w(x_\delta) - u = 0 \\
 \Rightarrow u(t) &= w(x_\delta).
 \end{aligned}$$

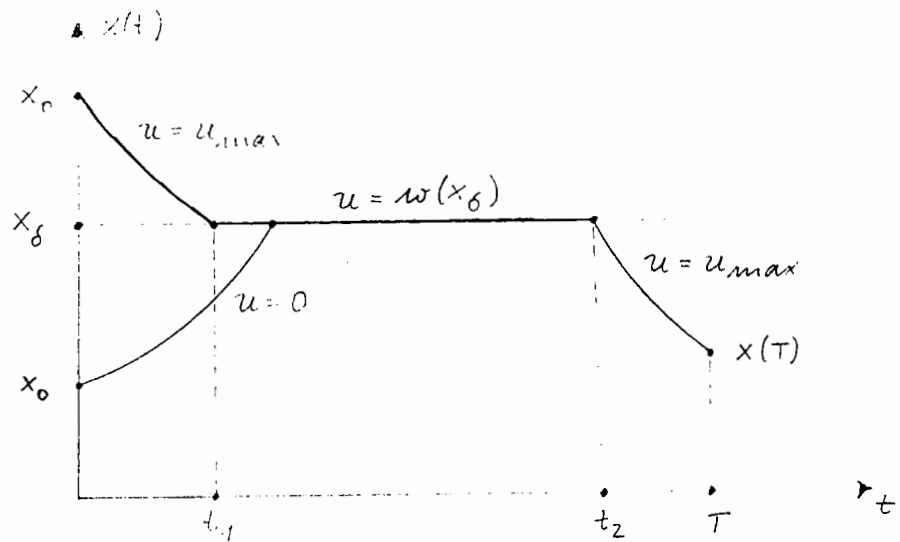
Die optimale Lösung besteht nun darin, die Gleichgewichtslösung $x = x_\delta$, $u = w(x_\delta)$ möglichst schnell zu erreichen.

Fester Endwert $x(T) = x_T$:

Für $x_T < x_\delta$ und T genügend groß erhält man

- * Die optimale Lösung hat die gleiche Struktur wie bei festem

7.23



Die Zeitpunkte t_1, t_2 sind aus $x(t_1) = x(t_2) = x_s$ durch Vorwärts- bzw. Rückwärtsintegration der Dynamik zu berechnen.

Freier Endwert $x(T)$:

7.24
Endwert. Die Transversalitätsbedingung ergibt

$$\lambda(T) = 0$$

und damit

$$\delta(T) = -e^{-\delta T}(\rho - c(x(T))) < 0,$$

d. h.

$$u(t) = u_{\max} \text{ für } t_2 \leq t \leq T.$$

Der Zeitpunkt t_2 kann mit $\sigma(t_2) = 0$ und einem geeigneten Randwertproblem für x, λ in $[t_2, T]$ bestimmt werden.

Zahlenwerte: Mit

$$w(x) = r x (1 - \frac{x}{K}), \quad c(x) = \frac{C}{x} \quad \text{hält man}$$

$$x_\delta = \frac{K}{4} \left\{ \left(\frac{C}{pK} + 1 - \frac{\delta}{\tau} \right) + \sqrt{\left(\frac{C}{pK} + 1 - \frac{\delta}{\tau} \right)^2 + \frac{8C\delta}{pK\tau}} \right\},$$

$$x_\infty := \lim_{\delta \rightarrow \infty} x_\delta = \frac{C}{P}.$$

7.25

Für den Heißluft im Nordpazifik
ermittelte man die Daten

$$K = 80.5 \cdot 10^6 \text{ kg}, \quad \tau = 0.71,$$

$$x_\infty = 17.5 \cdot 10^6 \text{ kg},$$

$$\delta = 0.2, \quad x_\delta = 42.3 \cdot 10^6 \text{ kg}.$$

Für $T = 10$ (Jahre) und

$$x_0 = 0.8 \cdot K, \quad x(T) \text{ frei},$$

$$u_{\max} = 0.5 \cdot K \quad \text{berechnet man } t_1 =$$

$$t_2 = \dots$$

* benutzt werden. Wir zeigen dies an einem Beispiel mit $q=4, m=3$.

7.26

Bei autonomen Problemen
mit freier Endzeit gilt zusätz-
lich

$$H = a_0(x(t)) + \lambda(t)a(x(t)) + \sigma(t)u(t) \\ \equiv 0.$$

Für eine singuläre Steuerung
folgt dann wegen $\sigma(t) = 0$

$$a_0(x(t)) + \lambda(t)a(x(t)) = 0.$$

Zusammen mit

$$\sigma^{(k)}(x(t), \lambda(t)) = 0, \quad k=0, \dots, 2g-1$$

kann dies zur Berechnung einer
singulären Mannigfaltigkeit

$$S(x(t)) = 0$$

$$\star \quad 1 \ 1 \ \dots \ 1 \ 1 \ \dots \ 1 \ 1$$

$$\lambda_h(T) = -1, \lambda_v(T) = 0, \lambda_m(T) \text{ frei.}$$

7.27

(7.13) Beispiel: GODDARD-Problem

Das in §1, Beispiel (4), vorgestellte Problem der Höhenrakete lautete:

$$\max h(T)$$

$$\text{unter } \dot{h} = v,$$

$$\dot{v} = \frac{1}{m} [u(t)c - D(v, h)] - g(h),$$

$$\dot{m} = -u(t),$$

$$h(0) = 0, v(0) = 0, m(0) = m_0,$$

$$m(T) = m_T,$$

$$0 \leq u(t) \leq u_{\max}$$

T frei.

Mit $\lambda = (\lambda_h, \lambda_v, \lambda_m)$, $x = (h, v, m)^T$ ist die Hamilton-Funktion

$$\begin{aligned} H &= \lambda_h v + \lambda_v \left[\frac{1}{m} (u c - D) - g \right] - \lambda_m u \\ &= \lambda_h v - \lambda_v \left[\frac{D}{m} + g \right] \\ &\quad + \left(\lambda_v \frac{c}{m} - \lambda_m \right) u. \end{aligned}$$

7.28

Die adjungierten DGL lauten

$$\dot{\lambda}_h = \lambda_v \left(\frac{1}{m} D_h + g_h \right)$$

$$\dot{\lambda}_v = -\lambda_h + \lambda_v \frac{1}{m} D_v$$

$$\dot{\lambda}_m = \lambda_v \frac{1}{m^2} (u \cdot c - D).$$

Es ist mit den Bezeichnungen von (6.1)

$$g(x(T)) = -h(T), \Psi(x(T)) = m(T) - m_T$$

und daher hat man die Transversalitätsbedingungen *

Die Schaltfunktion und deren erste zeitliche Ableitung sind

$$\sigma = \lambda_v \frac{c}{m} - \lambda_m ,$$

$$\dot{\sigma} = \lambda_v \frac{1}{m^2} (D + c D_v) - \lambda_h \frac{c}{m} .$$

Die singuläre Steuerung u_s in einem Zeitintervall $[t_1, t_2]$ wird aus

$$\sigma^{(2)} = \ddot{\sigma} = 0 , \quad q = 1 ,$$

gemäß (7.9) berechnet zu

$$u_s = \frac{D}{c} + m \left(D_h (c - v) + D_v g + c D_{vv} g - c D_{vh} v + cmg_h \right) / (D + 2c D_v + c^2 D_{vv}) .$$

Die Bestimmung von u_s kann auch auf andere Weise erfolgen:

das Problem ist autonom und die Endzeit T ist frei, also

$$H(t) = 0 \quad \text{für } t \in [0, T] ,$$

$$\sigma(t) = 0 \quad \text{für } t \in [t_1, t_2] .$$

Daraus folgt

$$\lambda_h v - \lambda_v \left(\frac{D}{m} + g \right) = 0 \quad \text{in } [t_1, t_2] .$$

Zusammen mit $\sigma = \dot{\sigma} = 0$ stellen diese drei Gleichungen ein LGS für die nicht verschwindende Variable λ dar. Die Determinante der Koeffizienten von λ muß daher verschwinden:

$$S(x) = D + mg - \frac{v}{c} D - v D_v = 0 .$$

Dies ist eine zweidimensionale

* Schub $u_s(t)$ aus zu haben

7.31

singuläre Fläche in \mathbb{R}^3 . Aus

$$\frac{d S(x(t))}{dt} = 0$$

gewinnt man den obigen Ausdruck u_s für die singuläre Steuerung zurück. Weiterhin gilt

$$0 = H(T) = -v(T) + G(T)u(T).$$

Daraus folgt man sofort die physikalisch plausible Bedingung

$$v(T) = 0.$$

Nun ist wegen $v(0) = v(T) = 0$

$$S(x(0)) = m_0 g_0 > 0,$$

$$S(x(T)) = m_T g(h(T)) > 0.$$

Daher kann ein singularer *

aufreten, d.h. $0 < t_1 < t_2 < T$.

Man kann zeigen, dass die optimale Steuerung die Struktur hat

$$u(t) = \begin{cases} u_{\max}, & 0 \leq t \leq t_1 \\ u_s(t), & t_1 \leq t \leq t_2 \\ 0, & t_2 \leq t \leq T. \end{cases}$$

Die Zeitpunkte t_1, t_2 und die Endzeit T bestimmt man durch Integration der Zustands-DGL numerisch folgendermaßen:

(a) Zeitpunkt t_1 : Integriere mit $u(t) = u_{\max}$ bis $S(x(t_1)) = 0$ erfüllt ist,

7.34

7.33

(b) Zeitpunkt t_2 : Integriere mit singulärem Schub $u_s(t)$ bis $m(t_2) = m_T$ gilt,

(c) Endzeit T : Integriere mit $u(t) = 0$ bis $v(T) = 0$ erreicht ist.

Zahlenwerte: $D(v, h) = \alpha v^2 \exp(-\beta h)$,

$$u_{\max} = 9.52551, \quad C = 2060,$$

$$\alpha = 0.01227, \quad \beta = 0.145 \cdot 10^{-3}$$

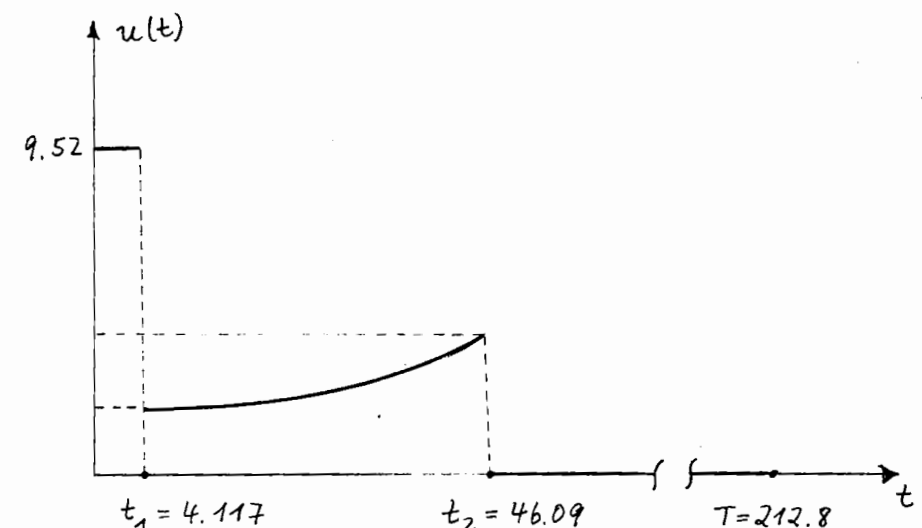
$$g_0 = 9.81, \quad \tau_0 = 6.371 \cdot 10^6,$$

$$g(h) = g_0 \frac{\tau_0^2}{(\tau_0 + h)^2}$$

Man erhält

$$t_1 = 4.11770, \quad t_2 = 46.0942$$

~~$\tau = 212.866$~~ $\tau = 212.866, \quad h(T) = 167.345$



* Ganzes gibt es z. B. die beiden folgenden numerischen Methoden:

(1) Finde Optimierungsmethoden, bei denen die Lage und die Anzahl

7.35

Bemerkungen zu numerischen Methoden für bang-bang und singuläre Steuerungen

Eine numerische Hauptschwierigkeit besteht darin, die Struktur der optimalen Lösung, d. h. die Anzahl und die Reihenfolge der bang-bang und singulären Teilstücke zu bestimmen. Bei einigen Beispielen kann die Struktur der Lösung entweder apriori (vgl. Beispiele (7.12), (7.13)) oder durch Homotopie-Verfahren ermittelt werden. Bei bekannter

der Schaltpunkte als freie Optimierungsvariable auftreten;

(2) Geeignete Randwertprobleme mit unstetigen rechten Seiten der DGL, welche durch Schaltfunktionen gesteuert werden.

7.36

§ 8 Probleme mit regulärer Hamilton-Funktion und nichtlinear auftretender Steuerung

Ausgangspunkt ist der Steuerprozeß (6.1). Alle auftretenden Funktionen seien aus der Klasse C^k mit $k \geq 1$. Für eine optimale Lösung $x(t)$, $u(t)$ sei das Maximumprinzip (6.3) mit $\lambda_0 = 1$ und den adjungierten Variablen $\lambda(t)$ erfüllt. Die Hamilton-Funktion ist demnach

$$H(t, x, \lambda, u) = f_0(t, x, u) + \lambda f(t, x, u).$$

(8.1) Definition: Die Hamilton-Funktion H heißt regulär (bzgl. einer optimalen Lösung $x(t)$), wenn es $\varepsilon > 0$ gibt, sodass für die Menge

$$\mathcal{D}_\varepsilon := \{(t, x, \lambda) \mid t \in [0, T], \|x - x(t)\| < \varepsilon, \|\lambda - \lambda(t)\| < \varepsilon\}$$

gilt: die Funktion $H(t, x, \lambda, \cdot)$ hat eine eindeutig bestimmte Minimalstelle

$$u^*(t, x, \lambda) = \arg \min_{u \in U} H(t, x, \lambda, u)$$

für alle $(t, x, \lambda) \in \mathcal{D}_\varepsilon$.

Im Falle einer regulären Hamilton-Funktion ist dann die optimale Steuerung der eindeutig bestimmte Wert

$$(8.2) \quad u(t) = u^*(t, x(t), \lambda(t)).$$

Bei den in § 7 betrachteten Problemen mit linear auftretender Steuerung ist H i.a. nicht regulär; z.B. ist für $n=1$ gemäß (7.4) die optimale Steuerung $u(t)$ an den Stellen $t \in [0, T]$ mit $\sigma(t) = 0$ nicht eindeutig bestimmt und ist dort unstetig.

Im Gegensatz hierzu wollen wir nun zeigen, daß im Falle einer regulären Hamilton-Funktion die optimale Steuerung stetig ist und sogar eine C^k -Funktion ist für $U = \mathbb{R}^m$.

(8.3) Beispiel:

$$\min \int_0^T \left(\frac{u^2}{2} - x \right) dt$$

$$\dot{x} = u, \quad x(0) = x_0.$$

Die Hamilton-Funktion lautet

$$H = \frac{u^2}{2} - x + \lambda u.$$

Wegen $U = \mathbb{R}$ folgt aus der Minimums-Bedingung

$$H_u = u + \lambda = 0, \quad H_{uu} = 1 > 0.$$

Also ist

$$u^*(u, \lambda) = -\lambda$$

die eindeutig bestimmte Minimalstelle von H ; u^* ist eine C^∞ -Funktion. Die adjungierte DGL

$$\dot{\lambda} = -H_x = 1, \quad \lambda(T) = 0$$

hat die Lösung $\lambda(t) = t - T$. Insgesamt erhalten wir das Randwertproblem für x, λ

$$\dot{x} = u = -\lambda, \quad x(0) = x_0,$$

$$\dot{\lambda} = 1, \quad \lambda(T) = 0,$$

mit der Lösung

$$\begin{aligned} \lambda(t) &= t - T, \quad u(t) = T - t, \\ x(t) &= x_0 + T \cdot t - \frac{t^2}{2}. \end{aligned}$$

Offenbar sind die hinreichenden Optimalitätsbedingungen (6.8) erfüllt.

Wir führen nun im obigen Problem die zusätzliche Steuerschränke:

$$u(t) \in \mathcal{U} = [0, 1]$$

ein. Hier ist

$$u^*(x, \lambda) = \arg \min_{u \in [0, 1]} H(x, \lambda, u)$$

$$= \begin{cases} 0 & ; 0 \leq \lambda \\ -\lambda & ; -1 < \lambda < 0 \\ 1 & ; \lambda \leq -1 \end{cases}$$

Die optimale Lösung lautet für $T > 1$:

$$(x(t), u(t)) = \begin{cases} (x_0 + t, 1) & , 0 \leq t \leq T-1, \\ \left(x_0 - \frac{(T-1)^2}{2} + Tt - \frac{t^2}{2}, T-t \right) & , T-1 \leq t \leq T \end{cases}$$

$u(t)$ ist stetig, aber in $t=T-1$ beim Verlassen der Begrenzung $u=1$ nicht differenzierbar.

Zur genaueren Untersuchung der Differenzierbarkeiteigenschaften der optimalen Steuerung $u(t)$ betrachten wir nun zwei Fälle:

1. Fall: $\mathcal{U} = \mathbb{R}^m$

2. Fall: $\mathcal{U} \subseteq \mathbb{R}^m$, \mathcal{U} kompakt.

1. Fall: $\mathcal{U} = \mathbb{R}^m$

Entlang einer Lösung $x(t), \lambda(t), u(t)$ muß gelten

$$(8.4) \quad H_u(t) = 0,$$

$H_{uu}(t) \geq 0$ positiv semidefinit,
Legendre-Clebsch-Bedingung.

(8.5) Definition

Die Hamilton-Funktion H heißt C^k -regulär, wenn H regulär ist und die Funktion

$$u^*(t, x, \lambda) = \arg \min_{u \in \mathbb{R}^m} H(t, x, \lambda, u)$$

8.7

eine C^k -Funktion ist auf der Menge D_ε (vgl. Def. (8.1)).

Setzt man die strenge Legendre-Clebsch-Bedingung

$$H_{uu}(t) > 0$$

vorraus, so kann $u = u^*(t, x, \lambda)$ berechnet werden aus

$$H_u(t, x, \lambda, u) = 0$$

$$H_{uu}(t, x, \lambda, u) > 0.$$

Die C^k -Regulärität hat dann die numerische Konsequenz, daß die Variable u in den DGL eliminiert werden kann gemäß

$$\dot{x} = f(t, x, u^*(t, x, \lambda)) =: h_1(t, x, \lambda),$$

$$\dot{\lambda} = -H_x(t, x, \lambda, u^*(t, x, \lambda)) =: h_2(t, x, \lambda)^T.$$

8.8

Die Funktion

$$h(t, x, \lambda) := \begin{pmatrix} h_1(t, x, \lambda) \\ h_2(t, x, \lambda) \end{pmatrix}$$

ist eine C^k -Funktion. Falls zusätzlich

$$x_i(T) = c_i, \quad i = 1, \dots, r,$$

so erhalten wir mit (6.5) das folgende Randwert-Problem (RWP)

(8.6)

$$\begin{pmatrix} x \\ \lambda \end{pmatrix}^\bullet = h(t, x, \lambda),$$

$$x(0) = x_0, \quad x_i(T) = c_i, \quad i = 1, \dots, r,$$

$$\lambda_i(T) = g_{x_i}(x(T)), \quad i = r+1, \dots, n.$$

Wenn die Endzeit T frei ist, so gilt außerdem

T Parameter, d.h. $\dot{T} = 0$,

$$\partial x / \partial T \quad H(T) = 0.$$

Zur numerischen Lösung von RWP vergleiche man Stoer, Bulirsch: Einführung in die Numerische Mathematik I, § 7.3. Das Re-entry-Problem in § 7.3.7 stellt ein numerisch anspruchsvolles Anwendungsbeispiel für eine reguläre Hamilton-Funktion dar.

Die Lösung x, λ von (8.6) sind C^k -Funktionen, also erhalten wir

(8.7) Folgerung:

Ist eine Hamilton-Funktion H C^k -regulär, dann hat das RWP eine C^k -Lösung $x(t), \lambda(t)$ und die optimale Steuerung

$u(t) = u^*(t, x(t), \lambda(t))$ ist eine C^k -Funktion.

(8.8) Beispiel:

$$\min J(x, u) = \int_0^1 (x^2 + u^2) dt$$

$$\dot{x} = x^2 - u$$

$$x(0) = 1, \quad x(1) = 1.$$

Die Minimierung der Hamilton-Funktion

$$H(x, \lambda, u) = x^2 + u^2 + \lambda(x^2 - u)$$

ergibt $H_u = 2u - \lambda = 0$, also

$$u^*(x, \lambda) = \lambda/2.$$

Damit ist das folgende RWP zu lösen:

$$\dot{x} = x^2 - \lambda/2,$$

$$\dot{\lambda} = -H_x = -2x(1+\lambda),$$

$$x(0) = x(1) = 1.$$

Mit einem Einfach-Schreßverfahren

* "ausgliedert nahe" an der gewünsch-

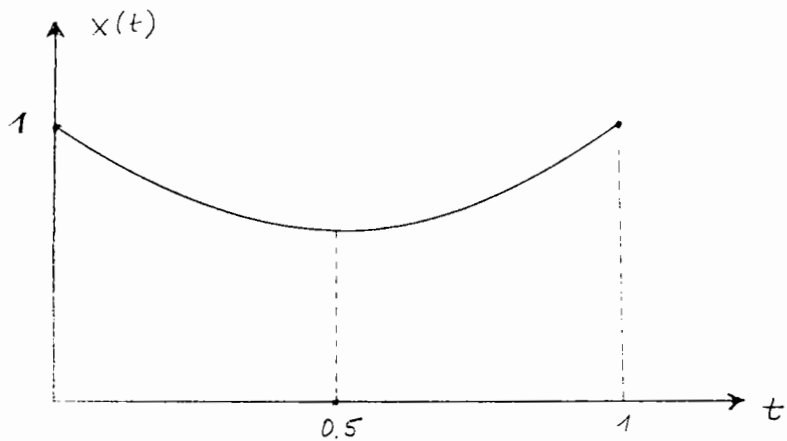
8.11

erhält man

$$\lambda(0) = 4.06096$$

$$J(x, u) = 1.53726$$

$$\min_{t \in [0,1]} x(t) = x(0.5) = 0.768116$$



Mit den obigen Überlegungen können linear-quadratische Modelle geschlossen behandelt werden. Als Regulator-Problem bezeichnet man das Problem

8.12

$$(8.9) \quad \begin{aligned} & \min \frac{1}{2} (x(T) - x_T)^T S_T (x(T) - x_T) \\ & + \frac{1}{2} \int_0^T \left\{ (x(t) - \tilde{x}(t))^T C(t) (x(t) - \tilde{x}(t)) \right. \\ & \quad \left. + (u(t) - \tilde{u}(t))^T D(t) (u(t) - \tilde{u}(t)) \right\} dt \end{aligned}$$

unter

$$\dot{x} = A(t)x + B(t)u + z(t)$$

$$x(0) = x_0$$

$x(T)$ frei, $T > 0$ fest.

Dabei seien die Funktionen $\tilde{x}(t)$, $\tilde{u}(t)$, $z(t)$ und alle auftretenden Matrizen stetig; $C(t) \in \mathbb{R}^{n \times n}$, $S_T \in \mathbb{R}^{n \times n}$ symmetrisch und positiv semi-definit, $D(t) \in \mathbb{R}^{n \times n}$ symmetrisch und positiv definit. Die optimale Lösung $x(t)$, $u(t)$ soll also

* ausgliedert nahe an der gewünsch-

$$*\lambda(T)^T = S_T(x(T) - x_T).$$

Die DGL für x und λ sind linear in x und λ .
Damit kann man

Setzt man den Ausdruck für \dot{x} ein, so erhält man nach Umordnung

8.13

ten Trajektorie $\tilde{x}(t)$, $\tilde{u}(t)$ liegen.

Die zugehörige Hamilton-Funktion ist

$$\begin{aligned} H(t, x, \lambda, u) &= \frac{1}{2} (x - \tilde{x}(t))^T C(t) (x - \tilde{x}(t)) \\ &\quad + \frac{1}{2} (u - \tilde{u}(t))^T D(t) (u - \tilde{u}(t)) \\ &\quad + \lambda (A(t)x + B(t)u + z(t)). \end{aligned}$$

aus

$$H_u = (u - \tilde{u})^T D + \lambda B = 0$$

berechnet man

$$(8.10) \quad u^*(t, x, \lambda) = \tilde{u}(t) - D(t)^{-1} B(t)^T \lambda^T.$$

Die adjungierten DGL lauten

$$(8.11) \quad \dot{\lambda}^T = -C(x - \tilde{x}) - A^T \lambda^T,$$

~~GRATULATIONS~~

8.14

zeigen, daß λ in linearer Weise von x abhängt. Dies motiviert den Ansatz

$$(8.12) \quad \lambda(t)^T = S(t)x(t) - \gamma(t)$$

mit einer stetig differenzierbaren $(n \times n)$ -Matrix $S(t)$ und einer C^1 -Funktion γ . Die DGL für x lautet mit (8.10), (8.12)

$$\begin{aligned} \dot{x} &= Ax + B(\tilde{u} - D^{-1}B^T\lambda^T) + z \\ &= Ax + B\tilde{u} - BD^{-1}B(Sx - \gamma) + z. \end{aligned}$$

Die Differentiation des Ansatzes (8.12) für λ ergibt mit (8.11)

$$\dot{S}x + S\dot{x} - \dot{\gamma} = -C(x - \tilde{x}) - A^T(Sx - \gamma).$$

~~GRATULATIONS~~ \star

$$\begin{aligned} & (\dot{S} - SBD^{-1}B^T S + SA + A^T S + C)x \\ &= -SB\tilde{u} + C\tilde{x} - Sz + j - SBD^{-1}B^T \gamma \\ & \quad + A^T \delta, \end{aligned}$$

Dies soll für alle x gelten, also erhält man die DGL

$$(8.13) \quad \boxed{\begin{aligned} \dot{S} &= SBD^{-1}B^T S - SA - A^T S - C \\ \dot{\gamma} &= (SBD^{-1}B^T - A^T)\gamma + \\ & SB\tilde{u} + Sz - C\tilde{x} \end{aligned}}.$$

Die DGL für S ist eine Matrix-RICCATI-DGL, während sich für γ eine lineare DGL ergibt.
Mit (8.11), (8.12) gewinnt man die Endbedingungen

$$S(T) = S_T, \quad \gamma(T) = S_T x_T.$$

(8.14) Beispiel: Lagerhaltung:

Es bezeichne ; vgl. Beispiel 1.6 :

x : Lagerbestand ,

u : Bestell - (Produktions-)rate ,

d : Nachfrage ,

h, c : positive Konstanten .

Das Problem lautet dann

$$\min \frac{1}{2} \left\{ c(x(T) - x_T)^2 + \int_0^T [h(x - \tilde{x})^2 + (u - \tilde{u})^2] dt \right\}$$

$$\dot{x} = u(t) - d(t), \quad x(0) = x_0.$$

Mit $A=0, B=1, C=h, D=1, z=-d, S_T=c$ erhält man aus (8.13)

$$\dot{S} = S^2 - h, \quad S(T) = c$$

$$\dot{\gamma} = \gamma S + S(\tilde{u} - d) - h\tilde{x}, \quad \gamma(T) = x_T c.$$

Die Lösung der Riccati-DGL für
S ist

$$S(t) = \sqrt{h} \tanh(k - \sqrt{h} t), \\ k := \sqrt{h} T + \arctanh(c/\sqrt{h}).$$

Gemäß (8.10) ist dann die optimale feedback - Steuerung

$$u(t) = \tilde{u}(t) - x(t) \sqrt{c} \tanh(k - \sqrt{h} t) \\ + r(t),$$

wobei $r(t)$ als Lösung der linearen DGL zu berechnen ist.

1. Spezialfall:

$$\tilde{u}(t) = d(t), \quad \tilde{x} = \text{const}, \quad c = 0:$$

$$r(t) = \sqrt{h} \tilde{x} \tanh(\sqrt{h}(T-t)), \\ x(t) = \tilde{x} + (x_0 - \tilde{x}) \frac{\cosh(\sqrt{h}(T-t))}{\cosh(\sqrt{h}T)}.$$

2. Spezialfall:

$$\tilde{x}(t) = \tilde{x} = \text{const}, \quad \tilde{u}(t) = \tilde{u} = \text{const}, \\ d(t) = a + b \sin(\sqrt{h}(T-t)), \quad a, b \in \mathbb{R}, \\ \text{zyklische Nachfragefunktion,}$$

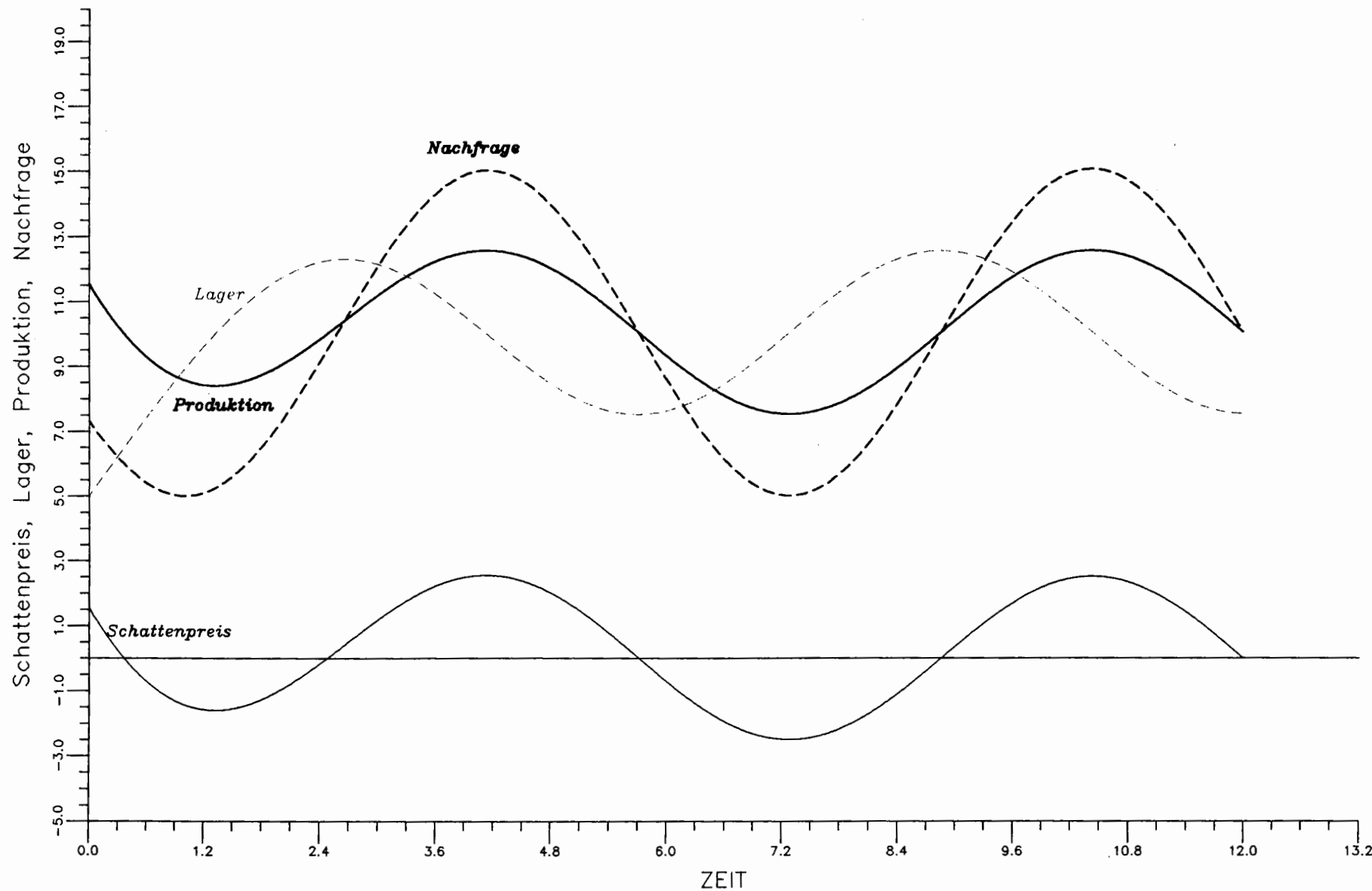
$$c = 0:$$

Die Lösung lautet explizit:

$$S(t) = \sqrt{h} \tanh(\sqrt{h}(T-t)),$$

$$x(t) = (x_0 - \tilde{x}) \frac{\cosh(\sqrt{h}(T-t))}{\cosh(\sqrt{h}T)} + \tilde{x} \\ - \frac{b}{2\sqrt{h}} \cos(\sqrt{h}(T-t)) \\ + \frac{b \cosh(\sqrt{h}(T-t)) \cos(\sqrt{h}T)}{2\sqrt{h} \cosh(\sqrt{h}T)} \\ - \frac{\cosh(\sqrt{h}(T-t)) (\tilde{u} - a)}{\sqrt{h}} \left\{ \tanh(\sqrt{h}(T-t)) - \tanh(\sqrt{h}T) \right\}.$$

Mit den Werten $\tilde{u} = \tilde{x} = a = 10.0$, $b = x_0 = 5.0$, $h = 1$ $T = 120$ berechnet man folgende Kurve:

Graph des unbeschränkten LQ-Problems

2. Fall: $\mathcal{U} \subset \mathbb{R}^m$ kompakt

F.E. sei $m=1, \mathcal{U} = [a, b] \subset \mathbb{R}$.

Die optimale Steuerung $u^*(t)$ setzt sich zusammen aus inneren Teilstücken $[t_1, t_2] \subset [0, T]$ mit

$$a < u^*(t) < b, \quad t_1 \leq t \leq t_2,$$

und Randstücken $[t_1, t_2]$ mit

$$u^*(t) = a \text{ bzw. } u^*(t) = b, \quad t_1 \leq t \leq t_2,$$

vgl. Beispiel (8.3). Ein Zeitpunkt $t_* \in (0, T)$ heißt Eintrittspunkt eines Randstückes $[t_1, t_2]$, wenn es $\varepsilon > 0$ gibt mit

$$u^*(t) > a \text{ bzw. } u^*(t) < b, \quad t_* - \varepsilon \leq t < t_1.$$

Entsprechend wird ein Austrittspunkt $t_2 \in (0, T)$ definiert.

Für diesen Abschnitt machen wir die Überlappung ...

generelle Voraussetzung: Die Hamilton-Funktion H ist C^k -regulär ($k \geq 2$).

Auf inneren Teilstücken kann man dann die C^k -Funktion $u^*(t, x, \lambda)$ aus den Bedingungen

$$H_u(t) = 0, \quad H_{uu}(t) \geq 0$$

berechnen. Auf Randstücken muss wegen

$$u^*(t) = \arg \min_{u \in \mathcal{U}} H(t, x(t), \lambda(t), u)$$

gelten

$$H_u(t) \geq 0, \quad \text{falls } u^*(t) = a$$

$$H_u(t) \leq 0, \quad \text{falls } u^*(t) = b.$$

(8.15) Lemma: Die optimale Steuerung $u^*(t)$ ist stetig in einem Eintritts-

8.22

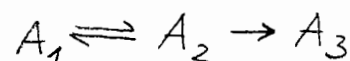
Der Beweis folgt auf einfache Weise aus der Regularität von H ; als Illustration vgl. man mit Beispiel (8.3).

(8.16) Beispiel: Optimale Temperaturverteilung bei einem chemischen Prozeß.

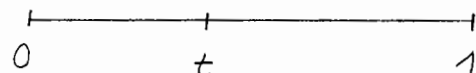
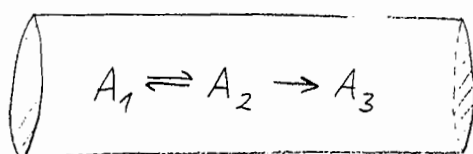
A_i : chem. Substanz, $i=1,2,3$

A_3 : Abfallprodukt

Der Prozeß



findet in einem kreisförmigen Zylinder statt:



8.23

$x_i(t)$: Konzentration von A_i , $i=1,2$,
 $T(t)$: Temperaturverteilung, $0 \leq t \leq 1$,
 $u(t) := \exp\left(-\frac{\alpha}{T(t)}\right)$, $\alpha > 0$,

$$u(t) \in [u_{\min}, u_{\max}] \Leftrightarrow$$

$$T(t) \in [T_{\min}, T_{\max}]$$

$$u_{\min} > 0, \quad T_{\min} > 0.$$

Reaktionsgleichungen:

$$\dot{x}_1 = -x_1 u(t) + x_2 u(t)^2, \quad x_1(0) = 1,$$

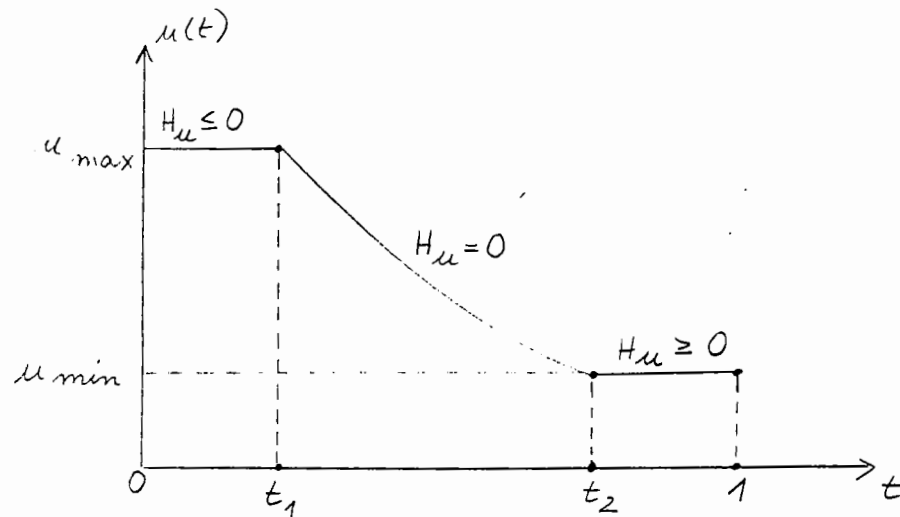
$$\dot{x}_2 = x_1 u(t) - 3x_2 u(t)^2, \quad x_2(0) = 0,$$

$$u_{\min} \leq u(t) \leq u_{\max}, \quad 0 \leq t \leq 1.$$

Problem: Maximiere $g(x(1)) := x_2(1)$.

8.24

Optimale Temperaturprofile



geeignete RWP der Form (8.6). Die Einstells- bzw. Abschaltspunkte t_1, t_2 sind dabei Nullstellen von "Schaltfunktionen".

Für kleine Werte u_{\min} tritt kein Randstück $[t_2, 1]$ auf.

Die numerische Berechnung der in diesem Abschnitt betrachteten optimalen Steuerungen führt auf

Dr. Bernd Lautenbacher

10.1

§10 Optimale Steuerprozesse mit Zustandsbeschränkungen

Wir betrachten ein autonomes Steuerproblem der Form (6.1)

$$(10.1) \quad \begin{aligned} & \min g(x(T)) + \int_0^T f_0(x, u) dt \\ & \dot{x} = f(x, u), \quad 0 \leq t \leq T, \\ & x(0) = x_0, \quad \psi(x(T)) = 0, \\ & u(t) \in U \end{aligned}$$

wobei zusätzlich die Zustandsbeschränkung (ZB)

$$(10.2) \quad S(x) \leq 0$$

erfüllt sei. Die Funktion $S: \mathbb{R}^n \rightarrow \mathbb{R}$ und alle auftretenden Funktionen seien hinreichend oft stetig differenzierbar. Die ZB (10.2) bedeutet explizit

$$S(x(t)) \leq 0 \quad \text{für } 0 \leq t \leq T$$

(ZB) für linear

10.2

Ein Zeitintervall $[t_1, t_2] \subset [0, T]$ heißt inneres Teilstück, wenn

$$S(x(t)) < 0 \quad \text{für } t_1 \leq t \leq t_2.$$

Auf inneren Teilstücken ist also die ZB nicht aktiv und für eine optimale Lösung gelten daher die notwendigen Bedingungen von Satz (6.3).

Die Menge

$$I_0 := \{t \in [0, T] \mid S(x(t)) = 0\}$$

heißt Menge der aktiven Zeitpunkte; I_0 ist abgeschlossen. Zur Untersuchung der Struktur dieser Menge benötigen wir die folgenden Definitionen.

(1) Ein Intervall $[t_1, t_2] \subset [0, T]$, $t_1 < t_2$, mit

$$S(x(t)) = 0 \quad \text{für } t_1 \leq t \leq t_2$$

heißt Randstück. Der Zeitpunkt t_1

heißt Eintrittspunkt, wenn

$S(x(t_1 - \varepsilon)) < 0$ für $\varepsilon > 0$ hinreichend klein.

Der Zeitpunkt t_2 heißt Austrittspunkt, wenn

$S(x(t_2 + \varepsilon)) < 0$ für $\varepsilon > 0$ hinreichend klein.

Ein Eintrittspunkt bzw. Austrittspunkt heißt Verbinduspunkt zwischen einem inneren Teilstück und einem Randstück.

(2) Ein Zeitpunkt $t_1 \in [0, T]$ heißt Kontaktpunkt, wenn

$$S(x(t_1)) = 0$$

$S(x(t_1 \pm \varepsilon)) < 0$ für $\varepsilon > 0$ hinreichend klein.

Im Falle $t_1 = 0$ bzw. $t_1 = T$ gelten die Ungleichungen einseitig

Die zu einem Randstück $[t_1, t_2]$ gehörende Steuerung $u(t)$ heißt Randsteuerung. Zur Berechnung einer Randsteuerung beschränken wir uns auf den skalaren Fall $m=1$. Rekursiv werden die Funktionen definiert:

$$S^0 := S,$$

$$S^{i+1} := S_x^i f, \quad i=0, 1, \dots$$

Die z.B. $S(x) \leq 0$ hat die Ordnung $p \in \mathbb{N}_+$, wenn gilt

$$(S^i)_u = 0, \quad i=0, 1, \dots, p-1,$$

$$(S^p)_u \neq 0.$$

Nach Konstruktion gilt dann entlang einer Trajektorie $x(t), u(t)$ mit

$$\dot{x} = f(x, u) :$$

(10.3)

$$S^i(x(t)) = \frac{d^i}{dt^i} S(x(t)), \quad i=0, \dots, p-1,$$

$$S^p(x(t), u(t)) = \frac{d^p}{dt^p} S(x(t)).$$

Auf einem Randstück $[t_1, t_2]$ gelten daher die Beziehungen

$$\left. \begin{array}{l} S^i(x(t)) = 0, \quad i=0, \dots, p-1, \\ S^p(x(t), u(t)) = 0, \end{array} \right\} t_1 \leq t \leq t_2.$$

Nach dem Eindeutigkeitssatz für DGL ist dies äquivalent mit

(10.4)

$$S^i(x(t_1)) = 0, \quad i=0, \dots, p-1,$$

$$S^p(x(t), u(t)) = 0, \quad t_1 \leq t \leq t_2$$

Im folgenden benötigen wir

(10.5) Voraussetzung:

(a) Die Gleichung $S^p(x, u) = 0$ ist eindeutig auflösbar nach $u = u(x)$ mit einer C^{p+1} -Funktion $u(x)$.

(b) Auf jedem Randstück gilt für die Randsteuerung $u(t)$:

$$(S^p)_u(x(t), u(t)) \neq 0, \quad t \in [t_1, t_2].$$

Aufgrund von Teil (b) folgt die Beziehung

$$u(t) = u(x(t)).$$

Daher genügt $x(t)$ auf $[t_1, t_2]$ der DGL

$$\dot{x} = f(x, u(x)).$$

10.7

Mit $u(x)$ ist dann auch $x(t)$ eine C^{p+1} -Funktion; damit ist die Randsteuerung $u(t) = u(x(t))$ eine C^{p+1} -Funktion.

(10.6) Beispiel:Seien r, k Indices mit $0 \leq r < k$.

Die Dynamik sei

$$y^{(k)} = u.$$

Die r -te Ableitung $y^{(r)}$ unterliege der Beschränkung

$$y^{(r)} \leq \alpha, \quad \alpha \in \mathbb{R}.$$

Setzt man

$$x_i := y^{(i-1)}, \quad i=1, \dots, k, \quad x = (x_1, \dots, x_k)^T,$$

$$S(x) := x_{r+1} - \alpha,$$

so ergibt sich

10.8

$$\begin{aligned}\dot{x}_i &= x_{i+1}, \quad i=1, \dots, k+1, \\ \dot{x}_{k+1} &= u, \\ S(x) &= x_{r+1} - \alpha \leq 0.\end{aligned}$$

Also folgt mit $p := k - r$

$$S^i = \frac{d^i}{dt^i} S = x_{r+1+i}, \quad i=1, \dots, p-1,$$

$$S^p = u, \quad (S^p)_u = 1.$$

Die Vor. (10.5) ist dann erfüllt mit $u(x) = 0$. Betrachtet man als Anwendung das Spline-Problem im Beispiel (6), § 1

$$\min \int_0^T u(t)^2 dt, \quad \dot{x}_1 = x_2, \quad \dot{x}_2 = u$$

mit der z.B. $x_1 \leq \alpha$, so hat man die

10.9

Ordnung $p=2$.

Zur Formulierung notwendiger Optimalitätsbedingungen für das Problem (10.1), (10.2) bilden wir die erweiterte Hamilton-Funktion

$$\begin{aligned}\tilde{H}(x, \lambda, \mu, u) &:= \lambda_0 f_0(x, u) + \lambda f(x, u) + \mu S(x) \\ &= H(x, \lambda, u) + \mu S(x), \\ \lambda_0 &\geq 0, \quad \lambda \in \mathbb{R}^n, \quad \mu \in \mathbb{R}.\end{aligned}$$

In Erweiterung des Minimum-Prinzips (6.3) gilt

(10.7) Minimum-Prinzip:

Sei $x(t)$, $u(t)$ eine optimale Lösung von (10.1), (10.2). Die Vor. (10.5) sei erfüllt und für jedes Randstück $[t_1, t_2]$ gelte $u(t) \in \text{int } U$ für $t_1 < t < t_2$

10.10

Dann gibt es

- (a) eine Konstante $\lambda_0 \geq 0$ und $\sigma \in \mathbb{R}^+$,
- (b) eine stückweise stetige und stückweise stetig differenzierbare adjizierte Funktion $\lambda: [0, T] \rightarrow \mathbb{R}^n$,
- (c) eine stückweise stetige Multiplikator-Funktion $\mu: [0, T] \rightarrow \mathbb{R}$,
- (d) Multiplikatoren $\varphi(t_i) \in \mathbb{R}$ in jedem Verbindungs- oder Kontaktpunkt t_i ,

sodass die folgenden Aussagen gelten:

$$(1) \quad u(t) = \arg \min_{u \in U} \tilde{H}(x(t), \lambda(t), \mu(t), u)$$

für alle Stetigkeitsstellen $t \in [0, T]$ von $u(t)$;

$$(2) \quad \dot{\lambda} = -\tilde{H}_x(t) = -\lambda_0 f_x^0(t) - \lambda f_x(t) - \mu S_x(t),$$

$$\lambda(T) = \lambda_0 g_x(x(T)) + \sigma \psi_x(x(T));$$

$$(3) \quad \mu(t) \geq 0 \quad \text{und} \quad \mu(t) S(x(t)) = 0 \quad \text{für alle } t \in [0, T];$$

* Sei (x, u) ein zulässiges Paar für das Steuerproblem (10.1), (10.2),

10.11

* Zum Beweis vgl. FEICHTINGER / HARTL,
S. 180, Satz 4.7

10.12

- (4) in jedem Verbindungs- oder Kontaktpunkt t_i gilt die Sprungbedingung

$$\lambda(t_i^+) = \lambda(t_i^-) - \nu(t_i) S_x(x(t_i)), \\ \nu(t_i) \geq 0 ;$$

- (5) für eine freie Endzeit T gilt

$$H(T) = 0 .$$

Zum Beweis vergleiche man JACOBSON / LELE / SPEYER (1971), MAURER (1976), HARTL (1986).

- Mit zusätzlichen Konvexitätsannahmen gewinnt man aus (10.7) (10.8) hinreichende Optimalitätsbedingungen

sodass die Vor. (10.5) erfüllt ist.
Es gebe Funktionen $\lambda: [0, T] \rightarrow \mathbb{R}^n$, $\mu: [0, T] \rightarrow \mathbb{R}$ und Multiplikatoren $\nu(t_i)$, $\sigma \in \mathbb{R}^+$, sodass die notwendigen Bedingungen von Satz (10.7) mit $\lambda_0 = 1$ erfüllt sind. Ferner sei

- (a) $g(x)$ konvex,
- (b) $\psi(x)$ affin-linear,
- (c) $S(x)$ konvex,
- (d) $H^0(x, \lambda) := \min_{u \in U} H(x, \lambda, u)$

konvex in x für jedes $\lambda(t)$, $t \in [0, T]$.

Dann ist (x, u) eine optimale Lösung.

zur numerischen Auswertung der notwendigen bzw. hinreichenden Bedingungen muss man die in §7, §8 getroffene Fallunterscheidung berücksichtigen, d.h. man unterscheide zwischen Problemen mit linear auftretender Steuerung und Problemen mit regulärer Hamiltonfunktion.

In der Praxis ist noch folgendes zu beachten:

- (1) Es treten überwiegend die Ordnungen $p=1$ oder $p=2$ auf.
- (2) Sei $x_0(t)$, $u_0(t)$ die Lösung des unbeschränkten Problems (10.1) und sei

$$\alpha_0 := \max_{0 \leq t \leq T} S(x_0(t)).$$

Lösungen zur ZB $S(x) \leq 0$ berechnet man dann mit einer

Homotopie der Form

$$\text{ZB: } S(x) \leq \alpha_i, \quad i = 0, \dots, k,$$

$$0 = \alpha_k < \alpha_{k-1} < \dots < \alpha_1 < \alpha_0.$$

Probleme mit linear auftretender Steuerung

Das Problem habe die in §7 behandelte Form mit einer affin-linear auftretenden Steuerung u :

$$f_0(x, u) = a_0(x) + b_0(x)u,$$

$$f(x, u) = a(x) + b(x)u.$$

Es sei $m=1$ und $U = [a, b] \subset \mathbb{R}$ kompakt. Die Schaltfunktion

$$\sigma(t) = b_0(x(t)) + \lambda(t)b(x(t))$$

bestimmt die Steuerung auf inneren Teilstücken gemäß

$$u(t) = \begin{cases} a, & \sigma(t) > 0 \\ b, & \sigma(t) < 0 \\ \text{singulär}, & \sigma(t) = 0, t_1 \leq t \leq t_2 \end{cases}$$

Die Funktion $S^P(x, u)$ in (10.3) ist linear in u , d.h.

$$S^P(x, u) = \alpha(x) + \beta(x) u.$$

Nach Vor. (10.5) muß gelten

$$(S^P)_u(t) = \beta(x(t)) \neq 0$$

auf Randstücken $[t_1, t_2]$. Die Randsteuerung mit $S^P(x, u) = 0$ ist dann

$$u(x) = -\alpha(x)/\beta(x).$$

Im Minimumprinzip (10.7) wurde vorausgesetzt

$$a < u(x(t)) < b, \quad t_1 < t < t_2.$$

d.h. aufgrund der Minimumbedingung

10.15

* und es gilt $\sigma(t_1) = 0$.

10.16

impliziert dies

$$H_u(t) = \sigma(t) = 0, \quad t_1 < t < t_2.$$

Die Randsteuerung verhält sich also formal wie eine singuläre Steuerung auf inneren Teilstrichen.

Die Sprungbedingung (10.7) (4) lautete:

$$\lambda(t_1+) = \lambda(t_1-) - v(t_1) S_x(x(t_1)), \quad v(t_1) \geq 0,$$

in einem Verbindungspunkt t_1 .

Für die numerische Behandlung wichtig ist das folgende Resultat für $p=1$; vgl. MAURER (1975).

(10.9) Satz: Sei $p=1$ und sei $u(t)$ unstetig in einem Verbindungs- punkt t_1 . Dann gilt $v(t_1)=0$, also ist $\lambda(t)$ stetig in t_1 .

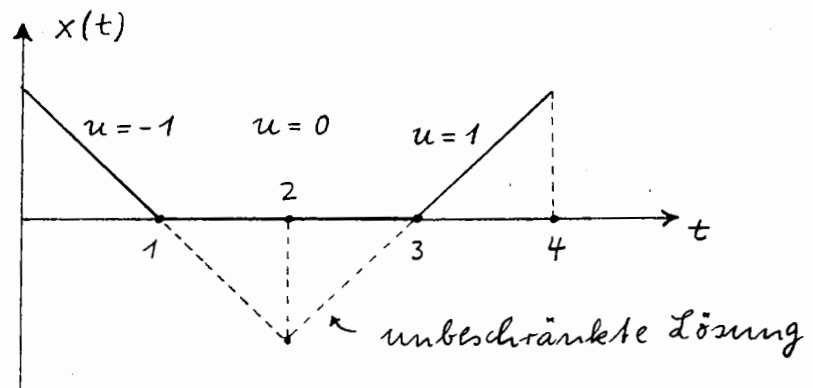
*

(10.10) Beispiel:

$$\min \int_0^4 x(t) dt$$

$$\dot{x} = u, \quad x(0) = 1, \quad x(4) = 1, \\ -1 \leq u \leq 1, \quad x \geq 0.$$

Die optimale Lösung kann sofort angegeben werden



Figur 10.1

Es ist

$$S(x) = -x, \quad S^1(x, u) = -\dot{x} = -u,$$

also liegt eine z.B. der Ordnung $p=1$

vor. Mit der erweiterten Hamilton-Funktion

$$\tilde{H} = x + \lambda u + \mu(-x)$$

gilt nach (10.7)

$$\dot{\lambda} = -\tilde{H}_x = -1 + \mu,$$

$$u^* = \arg \min_{u \in [-1, 1]} \tilde{H}.$$

Auf dem Randstück $[1, 3]$ muss gelten

$$S(x(t)) = -x(t) \equiv 0,$$

$$S^1(x(t), u(t)) = -u(t) \equiv 0,$$

$$\tilde{H}_u(t) = \lambda(t) \equiv 0.$$

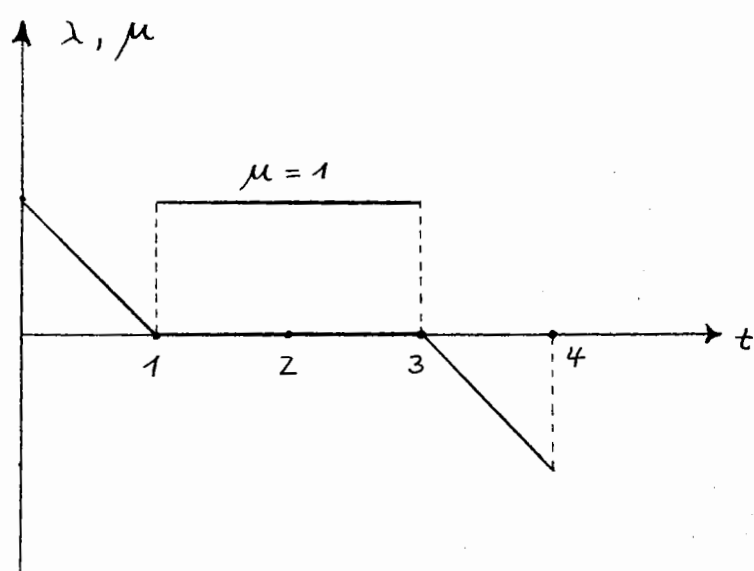
Insbesondere folgt $0 = \dot{\lambda} = -1 + \mu$, also $\mu = 1$. Nach Satz (10.9) ist überdies λ stetig in $t=1$ und $t=3$.

Auf den inneren Teilstücken $[0, 1]$, $[3, 4]$ berechnet man mit $\dot{\lambda} = -1$:

10.19

$$\lambda(t) = \begin{cases} 1-t, & 0 \leq t \leq 1 \\ 3-t, & 3 \leq t \leq 4 \end{cases}$$

Die optimale Steuerung ist damit $u(t) = -\operatorname{sgn}(\lambda(t))$. Die hinreichenden Bedingungen (10.8) prüft man sofort nach.



Figur 10.2

10.20

(10.11) Beispiel:

(zeitoptimale Steuerung eines Erzentladers; vgl. Beispiel (5.20)).

Minimiere T unter

$$\dot{x}_1 = x_2$$

$$\dot{x}_2 = u(t)$$

$$\dot{x}_3 = x_4$$

$$\dot{x}_4 = -x_3 + u(t)$$

$$x(0) = (0, 0, 0, 0)^T, x(T) = (1, 0, 0, 0)^T,$$

$$-1 \leq u(t) \leq 1,$$

$$x_2(t) \leq \alpha.$$

Die ZB

$$S(x) = x_2 - \alpha \leq 0$$

bedeutet also eine Beschränkung der Geschwindigkeit der Laufkatze. Die Ordnung der ZB ist $p=1$ wegen $S'(x, u) = \dot{x}_2 = u$

* $0 = \dot{H}u = \lambda_2(t) + \lambda_4(t) - \alpha(t)$
 $0 = \dot{\alpha}(t) = -\lambda_1(t) - \mu(t) - \lambda_3(t)$.
 Damit wird
 $\mu(t) = -(\lambda_1(t) + \lambda_3(t))$

10.21

* mit der optimalen (symmetr.) Steuerung

10.22

Die Randsteuerung ist damit $u=0$.
 Die Hamilton-Funktion

$$\tilde{H} = 1 + \lambda_1 x_2 + \lambda_2 u + \lambda_3 x_4 + \lambda_4 (-x_3 + u) + \mu(x_2 - \alpha)$$

bestimmt die adjungierten DGL

$$\dot{\lambda}_1 = 0, \quad \dot{\lambda}_2 = -\lambda_1 - \mu,$$

$$\dot{\lambda}_3 = \lambda_4, \quad \dot{\lambda}_4 = -\lambda_3.$$

Auf inneren Teilstücken erhält man wie in (5.5)

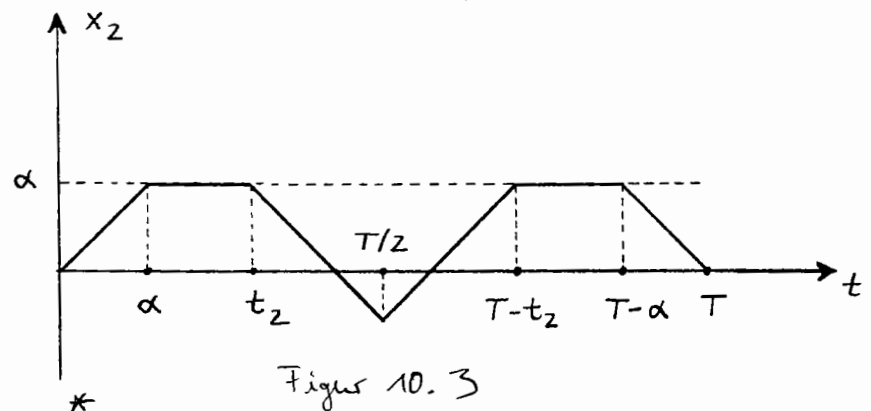
$$\lambda_1(t) = A, \quad \lambda_2(t) = -At + B, \\ \lambda_3(t) = R \sin(t+C), \quad \lambda_4(t) = R \cos(t+C).$$

Auf einem Randstück $[t_1, t_2]$ gilt *

Für die unbeschränkte Lösung $x^0(t)$ in (5.20) berechnet man

$$\alpha_0 := \max_{0 \leq t \leq T} x_2^0(t) = t_1 = 0.802357.$$

Für die Parameter $\frac{1}{2}\pi \leq \alpha < \alpha_0$ motiviert Fig. 5.4 die folgende geometrische Lösung:



10.23

$$u(t) = \begin{cases} 1 & ; 0 \leq t \leq \alpha \\ 0 & ; \alpha \leq t \leq t_2 \\ -1 & ; t_2 \leq t \leq T/2 \\ 1 & ; T/2 \leq t \leq T-t_2 \\ 0 & ; T-t_2 \leq t \leq T-\alpha \\ -1 & ; T-\alpha \leq t \leq T \end{cases}$$

und den beiden Randstücken
 $[\alpha, t_2]$ und $[T-t_2, T-\alpha]$.

Die beiden unbekannten Parameter
 t_2 und T lassen sich z.B. mit
dem NEWTON-Verfahren so bestimmen:
nach Integration der Zustands-DGL
mit der angegebenen Steuerung
müssen die beiden Endbedingungen

$$x_1(T) = 1, \quad x_3(T) = 0$$

erfüllt sein. Aus Symmetriegründen
gilt dann

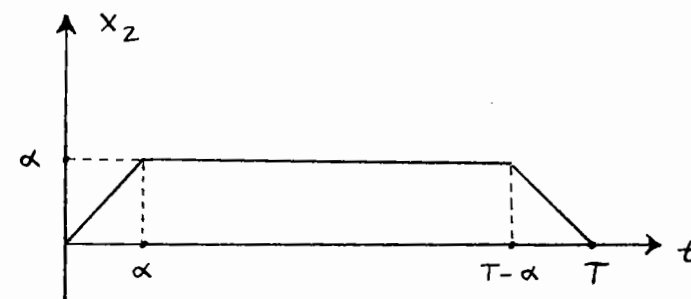
$$x_2(T) = 0, \quad x_4(T) = 0, \\ x_1(T/2) = 0.5, \quad x_3(T/2) = 0$$

10.24

Einige Zahlenwerte:

α	T	t_2
0.6	4.35410	1.05791
0.4	4.67760	1.49556
0.2	5.8391	2.56199
0.16	6.42658	3.16177
$1/2\pi$	6.44234	$T/2$
0.159155		

Für $\alpha = 1/2\pi$ ist die optimale Lösung:



Figur 10.4

Die Schaltpunkte $t_2 = T/2 = T-t_2$
fallen hier zusammen. Die zugehörigen
adjungierten Variablen sind mehr-
deutig.

Wegen Satz (10.9) ist $\lambda(t)$ stetig in $[0, T]$. Die vier Konstanten kann man dann aus den drei Schaltbedingungen

$$\sigma(\alpha) = \sigma(t_2) = \sigma(T/2) = 0$$

und der Endbedingung

$$H(T) = 1 - \sigma(T) = 0$$

berechnen. z.B. erhält man für $\alpha = 0.4$

$$A = -1.55921, \quad B = -2.26636$$

$$C = -0.768004, \quad R = 1.76055.$$

Probleme mit regulärer Hamilton-Funktion

Wir greifen auf die in §8 dargestellte Situation zurück. Zur Vereinfachung sei $m=1$ und $U=\mathbb{R}$. Die Hamilton-Funktion H (und damit auch \tilde{H}) sei C^p -regulär, d.h. die durch

$$u^*(x, \lambda) = \arg \min_{u \in \mathbb{R}} H(x, \lambda, u)$$

definierte Funktion ist eindeutig bestimmt und eine C^p -Funktion. In diesem Fall erhält man zusätzliche Glättigkeitseigenschaften für die optimale Steuerung $u(t)$.

(10.12) Satz: Sei H C^p -regulär und sei t_1 ein Verbindungs- oder Kontaktpunkt.

(i) Für $p=1$ ist $u(t)$ stetig in t_1 , und es gilt $v(t_1)=0$, d.h. $\lambda(t)$ ist stetig in t_1 .

(ii) Für $p \geq 2$ sind die Ableitungen $u^{(i)}(t)$, $i=0, \dots, p-2$, stetig in t_1 .

(iii) Ist p ungerade, $p \geq 3$, und ist $u^{(p-1)}(t)$ unstetig in t_1 , so ist t_1 ein Kontaktpunkt.

Zum Beweis vergleiche man

JACOBSON / LELE / SPEYER (1971),
MAURER (1976).

(10.13) Beispiel: Ordnung $p=1$:

Wir betrachten nochmals Beispiel (8.8)

$$\min \int_0^1 (x^2 + u^2) dt,$$

$$\dot{x} = x^2 - u \quad x(0) = 1, \quad x(1) = 1$$

unter der ZB

$$x \geq \alpha, \quad \alpha < 1,$$

d.h.

$$S(x) = \alpha - x \leq 0.$$

Für die unbeschränkte Lösung $x_0(t)$ gilt

$$\alpha_0 = \min_{0 \leq t \leq 1} x_0(t) = x_0(0.5) = 0.768115.$$

Also ist die Wahl von $\alpha_0 < \alpha < 1$ zu treffen. Die Ordnung ist $p=1$ wegen

$$S^1(x, u) = \dot{x} = x^2 - u.$$

Dies führt auf die Randsteuerung

$$u = x^2 = \alpha^2.$$

Die Hamilton-Funktion

$$\tilde{H} = x^2 + u^2 + \lambda(x^2 - u) + \mu(\alpha - x)$$

ist C^∞ -regulär. Weiterhin gilt

10.29

$$\dot{\lambda} = -H_x = -2x(1+\lambda) + \mu,$$

$$H_u = 2u - \lambda = 0, \quad u = \lambda/2.$$

Auf einem Randstück folgt daher

$$\lambda/2 = u = \alpha^2,$$

also

$$\begin{aligned} 0 &= \dot{\lambda} = -2x(1+\lambda) + \mu \\ &= -2\alpha(1+2\alpha^2) + \mu, \end{aligned}$$

$$\mu = 2\alpha(1+2\alpha^2) > 0.$$

Nach Satz (10.12) sind $u(t)$ und $\lambda(t)$ stetig in $[0,1]$. Die Form der unbeschränkten Lösung $x_0(t)$ lässt vermuten, dass die beschränkte Lösung ein Randstück $[t_1, t_2] \subset (0,1)$ enthält. Man hat dann das folgende RWP in $[0, t_1]$ mit variablem Endpunkt t_1 zu lösen:

10.30

$$\dot{x} = x^2 - \lambda/2, \quad 0 \leq t \leq t_1,$$

$$\dot{\lambda} = -2x(1+\lambda),$$

$$x(0) = 1,$$

$$x(t_1) = \alpha, \quad \lambda(t_1) = 2\alpha^2.$$

Die Lösung in $[0,1]$ ist dann symmetrisch mit $t_2 = 1 - t_1$.

Für $\alpha = 0.9$ erhält man

$$\lambda(0) = 3.46139, \quad \mu = 4.716,$$

$$t_1 = 0.285321, \quad t_2 = 1 - t_1,$$

Zulfunktion: 1.65620.

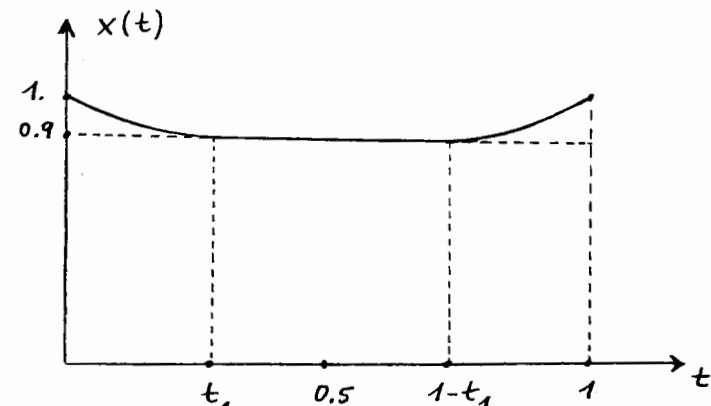


Figure 10.5

* Die EB $S_0 = \dot{x}_1 - u \leq 0$, für die Lösung
 $p=2$, da $S^1(x) = \dot{x}_1 = x_2$, $S^2(x, u) = \dot{x}_2 = u$.

Die zugehörige Lösung x und für

10.31

Die hinreichenden Optimalitätsbedingungen (10.8) sind erfüllt,
da

$$H^0(x, \lambda) := \min_{u \in \mathbb{R}} H(x, \lambda, u)$$

$$= x^2 + \lambda x^2 - \lambda^2/4$$

konvex in x ist für jedes $\lambda > 0$.

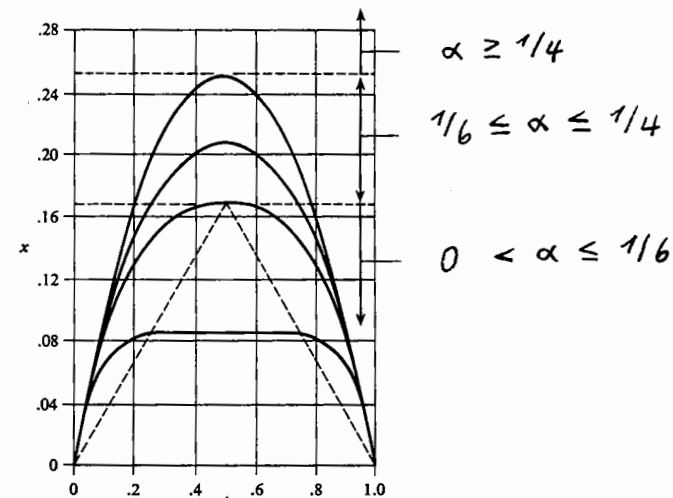
(10.14) Beispiel: Ordnung $p=2$
(vgl. Beispiel (10.6))

$$\min \frac{1}{2} \int_0^1 u^2 dt$$

$$\begin{aligned} \dot{x} &= x_2, \\ \dot{x}_2 &= u, \quad x(0) = \begin{pmatrix} 0 \\ 1 \end{pmatrix}, \quad x(1) = \begin{pmatrix} 0 \\ -1 \end{pmatrix}, \\ x_1 &\leq \alpha. \end{aligned}$$

10.32

$0 < \alpha \leq 1/4$ in der folgenden Figur
wiedergegeben.



Figur 10.6 : Optimale Lösung $x_1(t)$

* $\lambda_1(t) \equiv 0$, $\lambda_2(t) \equiv 2$, $u(t) \equiv -2$,
 $x_2(t) = 1-2t$, $x_1(t) = t(1-t)$,
 $\lambda_2 := \max_{0 \leq t \leq 1} x_1(t) - x_2(t) = \frac{1}{4}$

10.33

* Auf der mit S markierten Kontaktstrecke $[t_1, t_2]$ folgt
 $S = y_1 - \alpha = 0$, $S' = y_2 = 0$, $S'' = u = 0$

10.34

Unbeschränkte Lösung:

Die Hamilton-Funktion

$$H(x, \lambda, u) = \frac{1}{2} u^2 + \lambda_1 x_2 + \lambda_2 u$$

ist C^∞ -regulär. Aus

$$H_u = u + \lambda_2 = 0$$

folgt

$$u(t) = -\lambda_2(t).$$

Das resultierende RWP für
 $(x_1, x_2, \lambda_1, \lambda_2)$

$$\begin{aligned} \dot{x}_1 &= x_2, \\ \dot{x}_2 &= u = -\lambda_2, \\ \dot{\lambda}_1 &= 0, \\ \dot{\lambda}_2 &= -\lambda_1 \end{aligned} \quad x(0) = \begin{pmatrix} 0 \\ 1 \end{pmatrix}, \quad x(1) = \begin{pmatrix} 0 \\ -1 \end{pmatrix}$$

hat die Lösung (vgl. Fig. 10.6)

$$\star x_1(t) \equiv 0 \quad \star \lambda_2(t) \equiv 2, \quad u(t) \equiv -2 \quad \star$$

Also ist die ZB $x_1 \leq \alpha$ erst für
 $\alpha \leq \frac{1}{4}$ wirksam.

Beschränkte Lösung für $0 < \alpha \leq \frac{1}{4}$:

Beim Auffinden der Lösung läßt man sich von der Vorstellung leiten, daß die Lösung stetig von α abhängt. Aus Symmetriegründen kann die Lösung nur einen Kontaktpunkt $t_1 = \frac{1}{2}$ bzw. ein Randstück $[t_1, t_2]$ enthalten. Nach (10.7)(4) gilt die Sprungbedingung

$$\lambda(t_1+) = \lambda(t_1-) - v S'_x(x(t_1)), \quad v \geq 0,$$

also wegen $S(x) = x_1 - \alpha$

$$(10.15) \quad \begin{aligned} \lambda_1(t_1+) &= \lambda_1(t_1-) - v, \quad v \geq 0, \\ \lambda_2(t_1+) &= \lambda_2(t_1-). \end{aligned}$$

*

Mit der erweiterten Hamilton-Funktion

$$\tilde{H}(x, \lambda, \mu, u) = \frac{1}{2}u^2 + \lambda_1 x_2 + \lambda_2 u + \mu(x_1 - \alpha)$$

erhält man

$$\dot{\lambda}_1 = -\mu, \quad \dot{\lambda}_2 = -\lambda_1,$$

$$\tilde{H}_u = u + \lambda_2 = 0.$$

Mit der Randsteuerung $u(t) = 0$

ergibt sich hieraus

$$\lambda_2 = 0, \quad \lambda_1 = 0, \quad u = 0 \quad \text{in } [t_1, t_2].$$

Die Sprungbedingungen in t_1, t_2 sind gerade (10.15). Überdies ist die optimale Steuerung $u(t)$ stetig in t_1 und t_2 nach Satz (10.12).

Daher gelten die Sprungbedingungen

$$(10.16) \quad \begin{aligned} \lambda_1(t_i+) &= \lambda_1(t_i-) - v_i, \quad v_i \geq 0, \\ \lambda_2(t_i+) &= \lambda_2(t_i-) = 0 \end{aligned} \quad (i=1,2)$$

Fall: $\frac{1}{6} \leq \alpha \leq \frac{1}{4}$

Die optimale Lösung hat den einen Kontaktpunkt $t = \frac{1}{2}$, in dem $x_1(t)$ maximal wird, also $x_1(\frac{1}{2}) = 0$. Man hat dann das folgende RWP im Intervall $[0, \frac{1}{2}]$ zu lösen:

$$\begin{aligned} \dot{x}_1 &= x_2, \quad \dot{x}_2 = -\lambda_2, \quad \dot{\lambda}_1 = 0, \quad \dot{\lambda}_2 = -\lambda_1, \\ x_1(0) &= 0, \quad x_2(0) = 1, \\ x_1(\frac{1}{2}) &= \alpha, \quad x_2(\frac{1}{2}) = 0. \end{aligned}$$

Die Lösung im Intervall $[\frac{1}{2}, 1]$ ergibt sich daraus durch symmetrische Fortsetzung. Auf diese Weise erhält man

$$\lambda_1(t) = \begin{cases} 24(1-4\alpha), & 0 \leq t \leq \frac{1}{2} \\ -24(1-4\alpha), & \frac{1}{2} \leq t \leq 1 \end{cases}$$

$$\begin{aligned} v &= \lambda_1(\frac{1}{2}-) - \lambda_1(\frac{1}{2}+) = 2\lambda_1(\frac{1}{2}-) \\ &= 48(1-4\alpha) \geq 0, \end{aligned}$$

$$\lambda_2(t) = \begin{cases} 8(1-3\alpha) - 24(1-4\alpha)t, & 0 \leq t \leq \frac{1}{2} \\ 8(1-3\alpha) - 24(1-4\alpha)(1-t), & \frac{1}{2} \leq t \leq 1 \end{cases}$$

$$u(t) = -\lambda_2(t).$$

Fall: $0 < \alpha \leq \frac{1}{6}$

Die optimale Lösung hat ein Randstück in $[t_1, t_2]$. Hier löst man das folgende RWP in $[0, t_1]$ mit freiem Rand t_1 :

4DGL:

$$\dot{x}_1 = x_2, \quad \dot{x}_2 = -\lambda_2, \quad \dot{\lambda}_1 = 0, \quad \dot{\lambda}_2 = -\lambda_1,$$

5 Randwerte:

$$x_1(0) = 0, \quad x_2(0) = 1,$$

$$x_1(t_1) = \alpha, \quad x_2(t_1) = 0,$$

$$\lambda_2(t_1) = 0.$$

Man erhält $t_1 = 3\alpha$, $t_2 = 1 - t_1 = 1 - 3\alpha$, und die gesamte Lösung durch symmetrische Fortsetzung:

$$\lambda_1(t) = \begin{cases} \frac{2}{9\alpha^2}, & 0 \leq t \leq 3\alpha \\ 0, & 3\alpha \leq t \leq 1-3\alpha \\ -\frac{2}{9\alpha^2}, & 1-3\alpha \leq t \leq 1 \end{cases}$$

$$v_1 = v_2 = \frac{2}{9\alpha^2} > 0 \quad \text{in (10.16)},$$

$$\lambda_2(t) = \begin{cases} \frac{2}{3\alpha} \left(1 - \frac{t}{3\alpha}\right), & 0 \leq t \leq 3\alpha \\ 0, & 3\alpha \leq t \leq 1-3\alpha \\ \frac{2}{3\alpha} \left(1 - \frac{1-t}{3\alpha}\right), & 1-3\alpha \leq t \leq 1 \end{cases}$$

$$u(t) = -\lambda_2(t).$$

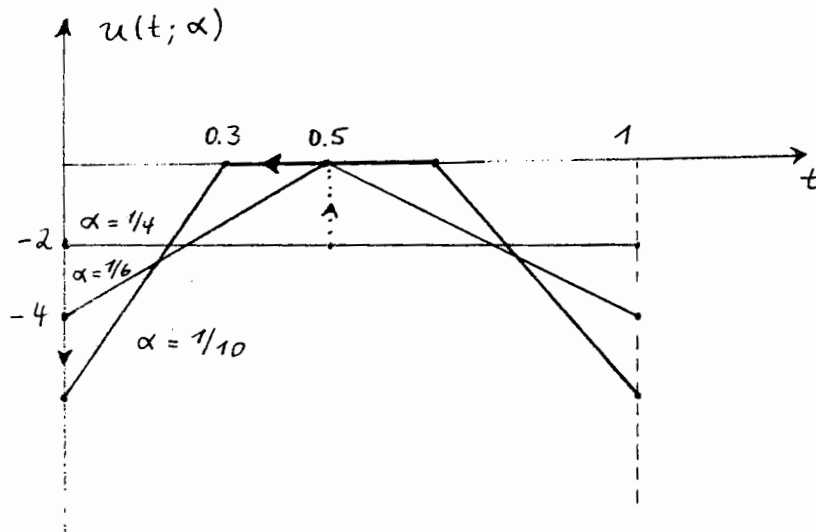
Stetige Abhängigkeit von α :

Die Abhängigkeit aller Funktionen werde durch einen Index α gekennzeichnet; z.B. bezeichne $u(t; \alpha)$ die optimale Steuerung. Dann sind die Abbildungen

$$\alpha \rightarrow u(\cdot; \alpha) \in C[0, 1], \quad \alpha > 0,$$

10.39

sowie alle übrigen Funktionen stetig bzgl. α . Die Struktur der Lösung bzgl. α ändert sich dabei in $\alpha = \frac{1}{4}$ und $\alpha = \frac{1}{6}$.



Figur 10.7

In besondere gilt

$$\lim_{\alpha \uparrow \frac{1}{6}} v(\alpha) = 0 \quad \lim_{\alpha \downarrow \frac{1}{6}} v(\alpha) = \lim_{\alpha \downarrow \frac{1}{6}} v_1(\alpha) + v_2(\alpha) = -16,$$

10.40

$$\lim_{\alpha \downarrow \frac{1}{6}} u\left(\frac{1}{2}; \alpha\right) = 0.$$

Die letzte Beziehung zeigt, daß erst für $\alpha = \frac{1}{6}$ die Auftreffungs-Bedingung (10.4) eines Randstückes

$x_1(t_1) = \alpha, \quad x_2(t_1) = 0, \quad u(t_1) = 0$, erfüllt ist mit $t_1 = \frac{1}{2}$. Dies erklärt die Tatsache, daß für die Parameter $\frac{1}{6} \leq \alpha \leq \frac{1}{4}$ nur ein Kontaktpunkt auftritt.

Ein solches Verhalten der Lösung bzgl. α ist typisch für alle Probleme der Ordnung $p=2$ mit regulärer Hamilton-Funktion.